



La prosòdia del friülà en el marc de l'Atles Multimèdia de Prosòdia de l'Espai Romànic

Paolo Roseano

ADVERTIMENT. La consulta d'aquesta tesi queda condicionada a l'acceptació de les següents condicions d'ús: La difusió d'aquesta tesi per mitjà del servei TDX (www.tdx.cat) ha estat autoritzada pels titulars dels drets de propietat intel·lectual únicament per a usos privats emmarcats en activitats d'investigació i docència. No s'autoritza la seva reproducció amb finalitats de lucre ni la seva difusió i posada a disposició des d'un lloc aliè al servei TDX. No s'autoritza la presentació del seu contingut en una finestra o marc aliè a TDX (framing). Aquesta reserva de drets afecta tant al resum de presentació de la tesi com als seus continguts. En la utilització o cita de parts de la tesi és obligat indicar el nom de la persona autora.

ADVERTENCIA. La consulta de esta tesis queda condicionada a la aceptación de las siguientes condiciones de uso: La difusión de esta tesis por medio del servicio TDR (www.tdx.cat) ha sido autorizada por los titulares de los derechos de propiedad intelectual únicamente para usos privados enmarcados en actividades de investigación y docencia. No se autoriza su reproducción con finalidades de lucro ni su difusión y puesta a disposición desde un sitio ajeno al servicio TDR. No se autoriza la presentación de su contenido en una ventana o marco ajeno a TDR (framing). Esta reserva de derechos afecta tanto al resumen de presentación de la tesis como a sus contenidos. En la utilización o cita de partes de la tesis es obligado indicar el nombre de la persona autora.

WARNING. On having consulted this thesis you're accepting the following use conditions: Spreading this thesis by the TDX (www.tdx.cat) service has been authorized by the titular of the intellectual property rights only for private uses placed in investigation and teaching activities. Reproduction with lucrative aims is not authorized neither its spreading and availability from a site foreign to the TDX service. Introducing its content in a window or frame foreign to the TDX service is not authorized (framing). This rights affect to the presentation summary of the thesis as well as to its contents. In the using or citation of parts of the thesis it's obliged to indicate the name of the author.

La prosòdia del friülà
en el marc de l'Atles Multimèdia
de Prosòdia de l'Espai Romànic

Paolo Roseano

Tesi presentada per optar
al grau de **Doctor en Lingüística** amb menció europea
en el programa de doctorat de *Lingüística i Comunicació*,
Bienni 2006-2008
Departament de Lingüística General,
Universitat de Barcelona,

sota la supervisió de

Dra. Ana Ma. Fernández Planas
Universitat de Barcelona



Setembre de 2012

4. PRESENTACIÓ I AVALUACIÓ DELS RESULTATS

En aquest capítol la interpretació dels resultats de l'anàlisi estadística es presenta en seccions definides a partir dels tres paràmetres analitzats. La secció 4.1 conté la descripció dels resultats de l'anàlisi de la intensitat, la secció 4.2 tracta de la durada vocàlica i a la secció 4.3, la més llarga, es descriuen els resultats de l'anàlisi d'F0. Per a cada paràmetre acústic investigat, en primer lloc es presenten els valors mitjans calculats per a cada punt d'enquesta, cada modalitat oracional i cada posició vocàlica (pretònica, tònica, posttònica); en segon lloc, es descriuen els resultats de l'aplicació de les fórmules exposades al Capítol 3. Els resultats de l'anàlisi de la veu masculina i femenina de cada punt d'enquesta es presenten conjuntament, tret en els casos on la diferència de gènere té conseqüències prosòdiques, com és el cas dels valors absoluts d'F0 expressats en Hz.

4.1. Anàlisi de la intensitat

4.1.1. Valors mitjans de la intensitat

Els valors mitjans de la intensitat en el punt central de cada vocal es presenten força homogenis, tan a les oracions declaratives (Taula 4.1) com a les oracions interrogatives (Taula 4.2). A les frases enunciatives, de fet, el valor mitjà absolut de la intensitat oscil·la dins una gamma reduïda, que va des dels 86 dB als 101 dB. De manera gairebé idèntica, els valors mitjans de la intensitat a les preguntes absolutes estan compresos entre el mínim de 86 dB i el màxim de 102 dB. Una altra mesura de la homogeneïtat de la distribució dels valors de la intensitat és donada per una desviació estàndard molt limitada, ja que arriba a un màxim de 6 dB en el cas de les declaratives i de 5 dB en els cas de les interrogatives.

No es nota cap diferència digna de ser destacada ni entre modalitats oracionals ni entre punts d'enquesta. Tot i això, sembla haver-hi una tendència regular que consisteix en el fet que als sintagmes S1, EXP1 i S2 el valor d'intensitat de la vocal tònica és lleugerament superior al que s'enregistra a les vocals adjacents. Al sintagmes S3 i EXP3, per contra, es nota una lleugera baixada progressiva de la intensitat, que arriba als seus valors mínims al final de l'enunciat, tal com ja ha estat observat en el cas de diferents llengües (Lindblom, 1968).

4.1.2. Taxonomia de les estructures superficials d'intensitat

A partir dels valors absoluts de la intensitat de cada vocal, les fórmules descrites al Capítol 3 calculen en primer lloc les estructures superficials d'intensitat. Els resultats de l'aplicació dels algorismes en qüestió estan recollits a les Taules de 4.3 a 4.10. En concret, les Taules 4.3 i 4.4 presenten les estructures superficials d'intensitat a les frases declaratives i interrogatives de la varietat d'Agrons, respectivament; les Taules 4.5 i 4.6 contenen els mateixos resultats per a la varietat de Beivars; les Taules 4.7 i 4.8 es refereixen al dialecte parlat a Gradisca d'Isonzo i, finalment, les Taules 4.9 i 4.10 presenten les estructures superficials d'intensitat per al friülà de Tesis.

En la gran majoria dels casos, l'estructura superficial més freqüent es la que s'ha etiquetat amb <-> que indica que la vocal tònica no té una intensitat significativament diferent des del punt de vista psicoacústic d'ambdues vocals adjacent. L'única excepció es troba a l'S2 de les frases interrogatives de la varietat de Tesis, on en el 60% dels casos la vocal tònica és significativament més intensa que l'anterior. Tot i aquesta excepció, en general es pot dir que a totes les varietats de friülà la intensitat no està relacionada de manera inequívoca amb la vocal tònica, de manera que queda descartada la hipòtesi segons la qual la vocal tònica seria la més intensa.

Finalment, cal destacar que no es dóna cap cas d'estructura en què la vocal tònica sigui significativament més o menys intensa que ambdues vocal adjacents. Ho és, com a molt, només de la pretònica o només de la posttònica, però mai d'ambdues simultàniament.

4.1.3. Taxonomia de les estructures profundes d'intensitat

A partir de les estructures superficials d'intensitat, les fórmules descrites al Capítol 3 calculen també les estructures profundes per al mateix paràmetre. Tal com era d'esperar, a partir de les dades il·lustrades a la secció anterior, es confirma que en friülà la intensitat no té cap paper a l'hora de realitzar prosòdicament l'accent lèxic. De fet, tal com es pot veure a les Taules de 4.11 a 4.18, l'estructura profunda que apareix amb més freqüència és <->. Si es miren les dades dels tots els accents lèxics de tots els punts

d'enquesta, es nota que l'estructura <-> apareix en el 96,1% dels casos i l'estructura D* només en el 0,2% dels casos. El 3,5% de casos d'estructura F* es deu al fet que es confirma que en el 60% dels casos a l'S2 de les frases interrogatives de la varietat de Tesis la vocal tònica és significativament més intensa. Per tant, cal concloure que en friülà, en general, la intensitat no és un correlat acústic de l'accent lèxic.

S1				EXPI				S2				S3				EXP3							
Punt d'enquesta	Pretònica	Tònica	Posttònica	Punt d'enquesta	Pretònica	Tònica	Posttònica	Punt d'enquesta	Pretònica	Tònica	Posttònica	Punt d'enquesta	Pretònica	Tònica	Posttònica	Punt d'enquesta	Pretònica	Tònica	Posttònica				
Agroms	99 (2)	100 (2)	96 (3)					Agroms	94 (4)	95 (3)	95 (4)	Agroms	95 (3)	91 (2)	87 (4)	Agroms	99 (4)	96 (4)	93 (4)	Agroms	93 (4)	92 (4)	88 (4)
Beivars	98 (2)	101 (1)	98 (2)					Beivars	94 (3)	99 (2)	99 (2)	Beivars	101 (2)	92 (3)	90 (3)	Beivars	101 (2)	100 (2)	97 (2)	Beivars	98 (2)	91 (2)	91 (3)
Gradisca	98 (3)	100 (2)	96 (3)					Gradisca	95 (3)	93 (3)	96 (2)	Gradisca	97 (2)	89 (5)	87 (6)	Gradisca	99 (2)	95 (2)	94 (3)	Gradisca	94 (3)	89 (5)	87 (4)
Tesis	97 (3)	100 (1)	94 (4)					Tesis	93 (4)	96 (2)	97 (2)	Tesis	95 (2)	92 (4)	86 (5)	Tesis	97 (2)	97 (2)	94 (3)	Tesis	94 (2)	92 (3)	89 (4)
Agroms	97 (2)	100 (1)	98 (2)	Agroms	98 (2)	98 (3)	94 (4)																
Beivars	98 (2)	100 (2)	99 (2)	Beivars	99 (2)	100 (1)	98 (2)																
Gradisca	97 (2)	100 (2)	98 (2)	Gradisca	99 (2)	98 (2)	96 (2)																
Tesis	96 (3)	100 (1)	98 (2)	Tesis	98 (2)	98 (1)	95 (4)																

Taula 4.1 - Valors mitjans de la intensitat (en dB) amb desviació estàndard (entre parèntesis) per punt d'enquesta, posició sintagmàtica i posició vocàlica (pretònica, tònica, posttònica) a la modalitat declarativa.

S1				EXPI				S2				S3				EXP3							
Punt d'enquesta	Pretònica	Tònica	Posttònica	Punt d'enquesta	Pretònica	Tònica	Posttònica	Punt d'enquesta	Pretònica	Tònica	Posttònica	Punt d'enquesta	Pretònica	Tònica	Posttònica	Punt d'enquesta	Pretònica	Tònica	Posttònica				
Agroms	101 (2)	102 (1)	97 (2)					Agroms	98 (2)	100 (1)	100 (1)	Agroms	98 (1)	98 (2)	95 (4)	Agroms	100 (2)	98 (1)	96 (2)	Agroms	96 (2)	99 (1)	96 (3)
Beivars	99 (2)	100 (1)	94 (3)					Beivars	90 (3)	100 (1)	101 (1)	Beivars	98 (3)	93 (2)	92 (2)	Beivars	99 (3)	97 (3)	94 (3)	Beivars	94 (3)	91 (2)	91 (3)
Gradisca	99 (2)	100 (2)	94 (3)					Gradisca	88 (4)	95 (2)	99 (2)	Gradisca	96 (3)	94 (3)	93 (3)	Gradisca	98 (3)	97 (2)	92 (4)	Gradisca	91 (5)	93 (5)	95 (4)
Tesis	96 (3)	99 (1)	91 (3)					Tesis	86 (4)	101 (1)	100 (2)	Tesis	94 (1)	94 (1)	91 (2)	Tesis	97 (1)	97 (2)	92 (3)	Tesis	93 (2)	93 (2)	92 (3)
Agroms	100 (2)	102 (1)	101 (1)	Agroms	101 (1)	100 (1)	95 (2)																
Beivars	98 (2)	102 (1)	100 (1)	Beivars	101 (2)	99 (2)	92 (3)																
Gradisca	96 (3)	102 (1)	100 (2)	Gradisca	99 (2)	98 (3)	91 (4)																
Tesis	95 (3)	99 (1)	97 (2)	Tesis	97 (1)	97 (1)	91 (3)																

Taula 4.2 - Valors mitjans de la intensitat (en dB) amb desviació estàndard (entre parèntesis) per punt d'enquesta, posició sintagmàtica i posició vocàlica (pretònica, tònica, posttònica) a la modalitat interrogativa.

S1				EXP1				S2				S3				EXP3								
Tipus de mot	Estr. intens.	N	%	Tipus de mot	Estr. intens.	N	%	Tipus de mot	Estr. intens.	N	%	Tipus de mot	Estr. intens.	N	%	Tipus de mot	Estr. intens.	N	%					
esd.	D*+F							esd.	D*+F			esd.	D*+F			esd.	D*+F			esd.				
	D+F*+F								D+F*+F					D+F*+F					D+F*+F					
	F+P*+F	24	100						F+P*+F	24	100				F+P*+F		24	100			F+P*+F	24	100	
	D+P*								D+P*						D+P*						D+P*			
	D+P*+D								D+P*+D						D+P*+D						D+P*+D			
pla.	F*+D							pla.	F*+D			pla.	F*+D	4	16	pla.	F*+D			pla.	F*+D			
	F+D**+D								F+D**+D					F+D**+D					F+D**+D					
	F+D*	24	100						F+D*	20	84				F+D*						F+D*			
	D*+F								D*+F						D*+F						D*+F			
	D+P*+F								D+P*+F						D+P*+F						D+P*+F			
agu.	F+P*+F							agu.	F+P*+F			agu.	F+P*+F			agu.	F+P*+F			agu.	F+P*+F			
	D*+F								D*+F						D*+F						D*+F			
	D+P*+F	24	100						D+P*+F	24	100				D+P*+F		24	100			D+P*+F	24	100	
	D+P*								D+P*						D+P*						D+P*			
	D+P*+D								D+P*+D						D+P*+D						D+P*+D			
esd.	F*+D							esd.	F*+D			esd.	F*+D			esd.	F*+D			esd.	F*+D			
	F+D**+D								F+D**+D						F+D**+D						F+D**+D			
	F+D*	18	100						F+D*	18	100				F+D*		18	100			F+D*	18	100	
	D*+F								D*+F						D*+F						D*+F			
	D+P*+F								D+P*+F						D+P*+F						D+P*+F			
pla.	F+P*+F							pla.	F+P*+F			pla.	F+P*+F			pla.	F+P*+F			pla.	F+P*+F			
	D*+F								D*+F						D*+F						D*+F			
	D+P*+F	18	100						D+P*+F	18	100				D+P*+F		18	100			D+P*+F	18	100	
	D+P*								D+P*						D+P*						D+P*			
	D+P*+D								D+P*+D						D+P*+D						D+P*+D			
agu.	F*+D							agu.	F*+D			agu.	F*+D			agu.	F*+D			agu.	F*+D			
	F+D**+D								F+D**+D						F+D**+D						F+D**+D			
	F+D*	18	100						F+D*	18	100				F+D*		18	100			F+D*	18	100	
	D*+F								D*+F						D*+F						D*+F			
	D+P*+F								D+P*+F						D+P*+F						D+P*+F			

Taula 4.3 - Sinopsi de la freqüència d'aparició (en termes absoluts i percentuals) de les estructures d'intensitat superficials a les frases declaratives a la varietat d'Agrons per posició accentual i posició sintagmàtica.

S1				EXPI				S2				S3				EXP3												
Tipus de mot	Estr. intenc.	N	%	Tipus de mot	Estr. intenc.	N	%	Tipus de mot	Estr. intenc.	N	%	Tipus de mot	Estr. intenc.	N	%	Tipus de mot	Estr. intenc.	N	%									
esd.	D*+f							esd.	D*+f			esd.	D*+f			esd.	D*+f			esd.	D*+f							
	D+P*+f								D+P*+f					D+P*+f					D+P*+f					D+P*+f				
	F*+f	24	100						F*+f	123	98				F*+f		18	100			F*+f	18	100		F*+f	18	100	
	-								-						-						-				-			
	D+P*									D+P*	3		2				D+P*					D+P*				D+P*		
pla.	D+P*+D							pla.	D+P*+D			pla.	D+P*+D			pla.	D+P*+D			pla.	D+P*+D			pla.	D+P*+D			
	F*+D								F*+D						F*+D						F*+D					F*+D		
	F+D*+D								F+D*+D						F+D*+D						F+D*+D					F+D*+D		
	F+D*	24	100						F+D*						F+D*						F+D*					F+D*		
	-								-						-						-					-		
agu.	D*+f							agu.	D*+f			agu.	D*+f			agu.	D*+f			agu.	D*+f			agu.	D*+f			
	D+P*+f								D+P*+f						D+P*+f						D+P*+f					D+P*+f		
	F*+f	23	96						F*+f						F*+f						F*+f					F*+f		
	-								-						-						-					-		
	D+P*									D+P*							D+P*					D+P*					D+P*	
esd.	D+P*+D	1	4					esd.	D+P*+D			esd.	D+P*+D			esd.	D+P*+D			esd.	D+P*+D			esd.	D+P*+D			
	F*+D								F*+D						F*+D						F*+D					F*+D		
	F+D*+D								F+D*+D						F+D*+D						F+D*+D					F+D*+D		
	F+D*								F+D*						F+D*						F+D*					F+D*		
	-								-						-						-					-		
pla.	D*+f							pla.	D*+f			pla.	D*+f			pla.	D*+f			pla.	D*+f			pla.	D*+f			
	D+P*+f								D+P*+f						D+P*+f						D+P*+f					D+P*+f		
	F*+f	18	100						F*+f	18	100				F*+f		18	100			F*+f	18	100			F*+f	18	100
	-								-						-						-					-		
	D+P*									D+P*							D+P*					D+P*					D+P*	
agu.	D*+f							agu.	D*+f			agu.	D*+f			agu.	D*+f			agu.	D*+f			agu.	D*+f			
	D+P*+f								D+P*+f						D+P*+f						D+P*+f					D+P*+f		
	F*+f	18	100						F*+f	18	100				F*+f		18	100			F*+f	18	100			F*+f	18	100
	-								-						-						-					-		
	D+P*									D+P*							D+P*					D+P*					D+P*	

Taula 4.4 - Sinopsi de la freqüència d'aparició (en termes absoluts i percentuals) de les estructures d'intensitat superficials a les frases interrogatives a la varietat d'Agrons per posició accentual i posició sintagmàtica.

S1				EXPI				S2				S3				EXP3						
Tipus de mot	Estr. intens.	N	%	Tipus de mot	Estr. intens.	N	%	Tipus de mot	Estr. intens.	N	%	Tipus de mot	Estr. intens.	N	%	Tipus de mot	Estr. intens.	N	%			
esd.	D*+f							esd.	D*+f							esd.	D*+f					
	D+F**f								D+F**f									D+F**f				
	F*P**f	24	100						F*P**f	124	98							F*P**f	18	100		
	-								-										-			
	D+f*								D+f*	2	2								D+f*			
pla.	D*+f							pla.	D*+f							pla.	D*+f					
	D+F**f								D+F**f									D+F**f				
	F*P**f	24	100						F*P**f									F*P**f	18	100		
	-								-										-			
	D+f*								D+f*										D+f*			
agu.	D*+f							agu.	D*+f							agu.	D*+f					
	D+F**f								D+F**f									D+F**f				
	F*P**f	24	100						F*P**f									F*P**f	18	100		
	-								-										-			
	D+f*								D+f*										D+f*			
esd.	D*+f							esd.	D*+f							esd.	D*+f					
	D+F**f								D+F**f									D+F**f				
	F*P**f	18	100						F*P**f									F*P**f	18	100		
	-								-										-			
	D+f*								D+f*										D+f*			
pla.	D*+f							pla.	D*+f							pla.	D*+f					
	D+F**f								D+F**f									D+F**f				
	F*P**f	18	100						F*P**f									F*P**f	18	100		
	-								-										-			
	D+f*								D+f*										D+f*			
agu.	D*+f							agu.	D*+f							agu.	D*+f					
	D+F**f								D+F**f									D+F**f				
	F*P**f	18	100						F*P**f									F*P**f	18	100		
	-								-										-			
	D+f*								D+f*										D+f*			

Taula 4.5 - Sinopsi de la freqüència d'aparició (en termes absoluts i percentuals) de les estructures d'intensitat superficials a les frases declaratives a la varietat de Beivers per posició accentual i posició sintagmàtica.

S1				EXPI			
Tipus de mot	Estr. intenc.	N	%	Tipus de mot	Estr. intenc.	N	%

S2			
Tipus de mot	Estr. intenc.	N	%

S3				EXP3			
Tipus de mot	Estr. intenc.	N	%	Tipus de mot	Estr. intenc.	N	%

esd.	D*+f		
	DfF*+f		
	F*P*+f	24	100
	-		
	D+I*		
pla.	D*+f		
	DfF*+f		
	F*P*+f	24	100
	-		
	D+I*		
agu.	D*+f		
	DfF*+f		
	F*P*+f	24	100
	-		
	D+I*		

esd.	D*+f		
	DfF*+f		
	F*P*+f	24	100
	-		
	D+I*		
pla.	D*+f		
	DfF*+f		
	F*P*+f	22	92
	-		
	D+I*		
agu.	D*+f		
	DfF*+f		
	F*P*+f	2	8
	-		
	D+I*		

pla.	D*+f		
	DfF*+f		
	F*P*+f	126	100
	-		
	D+I*		

esd.	D*+f		
	DfF*+f		
	F*P*+f	18	100
	-		
	D+I*		
pla.	D*+f		
	DfF*+f		
	F*P*+f	18	100
	-		
	D+I*		
agu.	D*+f		
	DfF*+f		
	F*P*+f	18	100
	-		
	D+I*		

esd.	D*+f		
	DfF*+f		
	F*P*+f	18	100
	-		
	D+I*		
pla.	D*+f		
	DfF*+f		
	F*P*+f	18	100
	-		
	D+I*		
agu.	D*+f		
	DfF*+f		
	F*P*+f	18	100
	-		
	D+I*		

esd.	D*+f		
	DfF*+f		
	F*P*+f	18	100
	-		
	D+I*		
pla.	D*+f		
	DfF*+f		
	F*P*+f	18	100
	-		
	D+I*		
agu.	D*+f		
	DfF*+f		
	F*P*+f	18	100
	-		
	D+I*		

esd.	D*+f		
	DfF*+f		
	F*P*+f	18	100
	-		
	D+I*		
pla.	D*+f		
	DfF*+f		
	F*P*+f	18	100
	-		
	D+I*		
agu.	D*+f		
	DfF*+f		
	F*P*+f	17	94
	-		
	D+I*		

Taula 4.7 - Sinopsi de la freqüència d'aparició (en termes absoluts i percentuals) de les estructures d'intensitat superficials a les frases declaratives a la varietat de Gradisca d'Isonzo per posició accentual i posició sintagmàtica.

S1				EXPI				S2				S3				EXP3							
Tipus de mot	Estr. intenc.	N	%	Tipus de mot	Estr. intenc.	N	%	Tipus de mot	Estr. intenc.	N	%	Tipus de mot	Estr. intenc.	N	%	Tipus de mot	Estr. intenc.	N	%				
esd.	D*+f							esd.	D*+f				esd.	D*+f			esd.	D*+f					
	DfF*+f								DfF*+f										DfF*+f				
	F*P*+f	24	100						F*P*+f										F*P*+f	24	100		
	-								-											-			
	DfF*									DfF*										DfF*			
pla.	DfF*+D							pla.	DfF*+D				pla.	DfF*+D			pla.	DfF*+D					
	F*+D								F*+D										F*+D				
	F*+D*	24	100						F*+D*										F*+D*	24	100		
	-								-											-			
	DfF*									DfF*										DfF*			
agu.	D*+f							agu.	D*+f				agu.	D*+f			agu.	D*+f					
	DfF*+f								DfF*+f										DfF*+f				
	F*P*+f	24	100						F*P*+f										F*P*+f	24	100		
	-								-											-			
	DfF*									DfF*										DfF*			
esd.	D*+f							esd.	D*+f				esd.	D*+f			esd.	D*+f					
	DfF*+f								DfF*+f										DfF*+f				
	F*P*+f	18	100						F*P*+f										F*P*+f	18	100		
	-								-											-			
	DfF*									DfF*										DfF*			
pla.	DfF*+D							pla.	DfF*+D				pla.	DfF*+D			pla.	DfF*+D					
	F*+D								F*+D										F*+D				
	F*+D*	17	95						F*+D*										F*+D*	14	78		
	-	1	5						-										-	4	22		
	DfF*									DfF*										DfF*			
agu.	D*+f							agu.	D*+f				agu.	D*+f			agu.	D*+f					
	DfF*+f								DfF*+f										DfF*+f				
	F*P*+f	18	100						F*P*+f										F*P*+f	16	89		
	-								-										-	2	11		
	DfF*									DfF*										DfF*			
esd.	D*+f							esd.	D*+f				esd.	D*+f			esd.	D*+f					
	DfF*+f								DfF*+f										DfF*+f				
	F*P*+f	9	93						F*P*+f										F*P*+f	7	74		
	-								-											-			
	DfF*									DfF*										DfF*			
pla.	DfF*+D							pla.	DfF*+D				pla.	DfF*+D			pla.	DfF*+D					
	F*+D								F*+D										F*+D				
	F*+D*	9	93						F*+D*										F*+D*	7	74		
	-								-											-			
	DfF*									DfF*										DfF*			

Taula 4.8 - Sinopsi de la freqüència d'aparició (en termes absoluts i percentuals) de les estructures d'intensitat superfcials a les frases interrogatives a la varietat de Gradisca d'Isonzo per posició accentual i posició sintagmàtica.

S1				EXPI			
Tipus de mot	Estr. intenc.	N	%	Tipus de mot	Estr. intenc.	N	%

S2			
Tipus de mot	Estr. intenc.	N	%

S3				EXP3			
Tipus de mot	Estr. intenc.	N	%	Tipus de mot	Estr. intenc.	N	%

esd.	D*+f		
	D+F*+f		
	F+P*+f	23	96
	-	1	4
	D+F*+D		
pla.	F*+D		
	F+D*+D		
	F+D*		
	D*+f		
	D+F*+f	24	100
agu.	F*+D		
	F+D*+D		
	F+D*		
	D*+f		
	D+F*+f	21	88

pla.	D*+f		
	D+F*+f		
	F+P*+f	114	90
	-	12	10
	D+F*+D		

esd.	D*+f		
	D+F*+f		
	F+P*+f	21	88
	-		
	D*+f		
pla.	D+F*+f		
	F*+D	3	12
	F+D*+D		
	F+D*		
	D*+f		
agu.	D+F*+f		
	F*+D	3	12
	F+D*+D		
	F+D*		
	D*+f		

esd.	D*+f		
	D+F*+f		
	F+P*+f	18	100
	-		
	D*+f		
pla.	D+F*+f		
	F*+D		
	F+D*+D		
	F+D*		
	D*+f		
agu.	D+F*+f		
	F*+D	2	11
	F+D*+D		
	F+D*		
	D*+f		

esd.	D*+f		
	D+F*+f		
	F+P*+f	18	100
	-		
	D*+f		
pla.	D+F*+f		
	F*+D		
	F+D*+D		
	F+D*		
	D*+f		
agu.	D+F*+f		
	F*+D		
	F+D*+D		
	F+D*		
	D*+f		

esd.	D*+f		
	D+F*+f		
	F+P*+f	18	100
	-		
	D*+f		
pla.	D+F*+f		
	F*+D	1	6
	F+D*+D		
	F+D*		
	D*+f		
agu.	D+F*+f		
	F*+D	1	6
	F+D*+D		
	F+D*		
	D*+f		

esd.	D*+f		
	D+F*+f		
	F+P*+f	18	100
	-		
	D*+f		
pla.	D+F*+f		
	F*+D	18	100
	F+D*+D		
	F+D*		
	D*+f		
agu.	D+F*+f		
	F*+D	18	100
	F+D*+D		
	F+D*		
	D*+f		

Taula 4.9 - Sinopsi de la freqüència d'aparició (en termes absoluts i percentuals) de les estructures d'intensitat superficials a les frases declaratives a la varietat de Tesis per posició accentual i posició sintagmàtica.

S1					EXPI				
Tipus de mot	Estr. intens.	N	%	Tipus de mot	Estr. intens.	N	%		
esd.	D*+f								
	D+F**+f								
	F+P**+f								
	-	24	100						
	D+F**								
	D+F**+D								
pla.	F*+D								
	F+D**+D								
	F+D*								
	-	24	100						
	D+F**								
	D+F**+D								
agu.	F**+D								
	F+D**+D								
	F+D*								
	-	24	100						
	D+F**								
	D+F**+D								
S2					EXPI				
Tipus de mot	Estr. intens.	N	%	Tipus de mot	Estr. intens.	N	%		
pla.	D*+f								
	D+F**+f								
	-	50	40						
	D+F**	76	60						
	D+F**+D								
	F**+D								
	F+D*								

S3					EXP3				
Tipus de mot	Estr. intens.	N	%	Tipus de mot	Estr. intens.	N	%		
esd.	D*+f								
	D+F**+f								
	F+P**+f								
	-	24	100						
	D+F**								
	D+F**+D								
pla.	F*+D								
	F+D**+D								
	F+D*								
	-	24	100						
	D+F**								
	D+F**+D								
agu.	F**+D								
	F+D**+D								
	F+D*								
	-	24	100						
	D+F**								
	D+F**+D								
S4					EXPI				
Tipus de mot	Estr. intens.	N	%	Tipus de mot	Estr. intens.	N	%		
esd.	D*+f								
	D+F**+f								
	F+P**+f								
	-	18	100						
	D+F**								
	D+F**+D								
pla.	F*+D								
	F+D**+D								
	F+D*								
	-	18	100						
	D+F**								
	D+F**+D								
agu.	F**+D								
	F+D**+D								
	F+D*								
	-	18	100						
	D+F**								
	D+F**+D								

Taula 4.10 - Sinopsi de la freqüència d'aparició (en termes absoluts i percentuals) de les estructures d'intensitat superficials a les frases interrogatives a la varietat de Tesis per posició accentual i posició sintagmàtica.

S1				EXPI				S2				S3				EXP3						
Tipus de mot	Estr. intenc.	N	%	Tipus de mot	Estr. intenc.	N	%	Tipus de mot	Estr. intenc.	N	%	Tipus de mot	Estr. intenc.	N	%	Tipus de mot	Estr. intenc.	N	%			
esd.	-	24	100	esd.	-	18	100	pla.	-	126	100	esd.	-	24	100	esd.	-	18	100			
	D*				D*				D*				D*				D*			D*		
	F*				F*				F*				F*				F*			F*		
pla.	-	24	100	pla.	-	18	100	esd.	-	20	83	pla.	-	4	17	pla.	-	17	94			
	D*				D*				D*				D*				D*			D*		
	F*				F*				F*				F*				F*			F*		
agu.	-	24	100	agu.	-	18	100	agu.	-	24	100	agu.	-	18	100	agu.	-	1	6			
	D*				D*				D*				D*				D*			D*		
	F*				F*				F*				F*				F*			F*		

Taula 4.11 - Sinopsi de la freqüència d'aparició (en termes absoluts i percentuals) de les estructures d'intensitat profundes a les frases declaratives a la varietat d'Agrons per posició accentual i posició sintagmàtica.

S1				EXPI				S2				S3				EXP3						
Tipus de mot	Estr. intenc.	N	%	Tipus de mot	Estr. intenc.	N	%	Tipus de mot	Estr. intenc.	N	%	Tipus de mot	Estr. intenc.	N	%	Tipus de mot	Estr. intenc.	N	%			
esd.	-	24	100	esd.	-	18	100	pla.	-	123	98	esd.	-	24	100	esd.	-	18	100			
	D*				D*				D*				D*				D*			D*		
	F*				F*				F*				F*				F*			F*		
pla.	-	24	100	pla.	-	18	100	esd.	-	24	100	pla.	-	24	100	pla.	-	18	100			
	D*				D*				D*				D*				D*			D*		
	F*				F*				F*				F*				F*			F*		
agu.	-	23	96	agu.	-	18	100	agu.	-	24	100	agu.	-	18	100	agu.	-	18	100			
	D*				D*				D*				D*				D*			D*		
	F*	1	4		F*				F*				F*				F*			F*		

Taula 4.12 - Sinopsi de la freqüència d'aparició (en termes absoluts i percentuals) de les estructures d'intensitat profundes a les frases interrogatives a la varietat d'Agrons per posició accentual i posició sintagmàtica.

S1				EXPI				S2				S3				EXP3						
Tipus de mot	Estr. intenc.	N	%	Tipus de mot	Estr. intenc.	N	%	Tipus de mot	Estr. intenc.	N	%	Tipus de mot	Estr. intenc.	N	%	Tipus de mot	Estr. intenc.	N	%			
esd.	-	24	100	esd.	-	18	100	pla.	-	124	98	esd.	-	18	100	esd.	-	18	100			
	D*				D*				D*				D*				D*			D*		
	F*				F*				F*	2	2		F*				F*			F*		
pla.	-	24	100	pla.	-	18	100	esd.	-			pla.	-	18	100	pla.	-	18	100			
	D*				D*				D*				D*				D*			D*		
	F*				F*				F*				F*				F*			F*		
agu.	-	24	100	agu.	-	18	100	agu.	-			agu.	-	18	100	agu.	-	18	100			
	D*				D*				D*				D*				D*			D*		
	F*				F*				F*				F*				F*			F*		

Taula 4.13 - Sinopsi de la freqüència d'aparició (en termes absoluts i percentuals) de les estructures d'intensitat profundes a les frases declaratives a la varietat de Beivars per posició accentual i posició sintagmàtica.

S1				EXPI				S2				S3				EXP3						
Tipus de mot	Estr. intenc.	N	%	Tipus de mot	Estr. intenc.	N	%	Tipus de mot	Estr. intenc.	N	%	Tipus de mot	Estr. intenc.	N	%	Tipus de mot	Estr. intenc.	N	%			
esd.	-	24	100	esd.	-	18	100	pla.	-	114	90	esd.	-	24	100	esd.	-	18	100			
	D*				D*				D*				D*				D*			D*		
	F*				F*				F*	12	10		F*				F*			F*		
pla.	-	24	100	pla.	-	18	100	esd.	-			pla.	-	18	100	pla.	-	18	100			
	D*				D*				D*				D*				D*			D*		
	F*				F*				F*				F*				F*			F*		
agu.	-	24	100	agu.	-	18	100	agu.	-			agu.	-	18	100	agu.	-	17	94			
	D*				D*				D*				D*				D*			D*		
	F*				F*				F*				F*				F*			F*		

Taula 4.14 - Sinopsi de la freqüència d'aparició (en termes absoluts i percentuals) de les estructures d'intensitat profundes a les frases interrogatives a la varietat de Beivars per posició accentual i posició sintagmàtica.

S1				EXPI				S2				S3				EXP3						
Tipus de mot	Estr. intenc.	N	%	Tipus de mot	Estr. intenc.	N	%	Tipus de mot	Estr. intenc.	N	%	Tipus de mot	Estr. intenc.	N	%	Tipus de mot	Estr. intenc.	N	%			
esd.	-	24	100	esd.	-	18	100	esd.	-	24	100	esd.	-	18	100	esd.	-	18	100			
	D*				D*				D*				D*				D*			D*		
	F*				F*				F*				F*				F*			F*		
pla.	-	24	100	pla.	-	18	100	pla.	-	22	92	pla.	-	18	100	pla.	-	18	100			
	D*				D*				D*				D*				D*			D*		
	F*				F*				F*				F*				F*			F*		
agu.	-	24	100	agu.	-	18	100	agu.	-	20	83	agu.	-	18	100	agu.	-	17	94			
	D*				D*				D*				D*				D*			D*		
	F*				F*				F*				F*				F*			F*		
								pla.														

Taula 4.15 - Sinopsi de la freqüència d'aparició (en termes absoluts i percentuals) de les estructures d'intensitat profundes a les frases declaratives a la varietat de Gradisca d'Isonzo per posició accentual i posició sintagmàtica.

S1				EXPI				S2				S3				EXP3						
Tipus de mot	Estr. intenc.	N	%	Tipus de mot	Estr. intenc.	N	%	Tipus de mot	Estr. intenc.	N	%	Tipus de mot	Estr. intenc.	N	%	Tipus de mot	Estr. intenc.	N	%			
esd.	-	24	100	esd.	-	18	100	esd.	-	24	100	esd.	-	18	100	esd.	-	18	100			
	D*				D*				D*				D*				D*			D*		
	F*				F*				F*				F*				F*			F*		
pla.	-	24	100	pla.	-	17	95	pla.	-	24	100	pla.	-	18	100	pla.	-	17	94			
	D*				D*				D*				D*				D*			D*		
	F*				F*				F*				F*				F*			F*		
agu.	-	24	100	agu.	-	18	100	agu.	-	24	100	agu.	-	18	100	agu.	-	16	89			
	D*				D*				D*				D*				D*			D*		
	F*				F*				F*				F*				F*			F*		
								pla.														

Taula 4.16 - Sinopsi de la freqüència d'aparició (en termes absoluts i percentuals) de les estructures d'intensitat profundes a les frases interrogatives a la varietat de Gradisca d'Isonzo per posició accentual i posició sintagmàtica.

S1				EXPI				S2				S3				EXP3			
Tipus de mot	Estr. intenc.	N	%	Tipus de mot	Estr. intenc.	N	%	Tipus de mot	Estr. intenc.	N	%	Tipus de mot	Estr. intenc.	N	%	Tipus de mot	Estr. intenc.	N	%
esd.	-	23	96	esd.	-	18	100	pla.	-	114	90	esd.	D*	21	88	esd.	-	18	100
	D*	1	4		D*	18	100		D*	3	12		D*	17	94		D*	18	100
pla.	-	24	100	pla.	-	18	100	esd.	D*	12	10	pla.	F*	3	12	pla.	-	17	94
	D*				D*	18	100		D*	1	6		D*	1	6		D*	18	100
agu.	-	21	88	agu.	-	18	100	agu.	F*	12	10	agu.	F*	3	12	agu.	-	18	100
	D*				D*	18	100		D*	18	100		D*	18	100		D*	18	100
	F*	3	12		F*	2	11						F*				F*		

Taula 4.17 - Sinopsi de la freqüència d'aparició (en termes absoluts i percentuals) de les estructures d'intensitat profundes a les frases declaratives a la varietat de Tesis per posició accentual i posició sintagmàtica.

S1				EXPI				S2				S3				EXP3			
Tipus de mot	Estr. intenc.	N	%	Tipus de mot	Estr. intenc.	N	%	Tipus de mot	Estr. intenc.	N	%	Tipus de mot	Estr. intenc.	N	%	Tipus de mot	Estr. intenc.	N	%
esd.	-	24	100	esd.	-	18	100	pla.	-	50	40	esd.	-	24	100	esd.	-	18	100
	D*				D*	18	100		D*	18	100		D*	24	100		D*	18	100
pla.	-	24	100	pla.	-	18	100	esd.	D*	76	60	pla.	F*			pla.	-	18	100
	D*				D*	18	100		D*	1	5		D*				D*	18	100
agu.	-	24	100	agu.	-	17	95	agu.	F*	1	5	agu.	F*			agu.	-	18	100
	D*				D*	17	95		D*	18	100		D*	18	100		D*	18	100
	F*				F*	1	5						F*				F*		

Taula 4.18 - Sinopsi de la freqüència d'aparició (en termes absoluts i percentuals) de les estructures d'intensitat profundes a les frases declaratives a la varietat de Tesis per posició accentual i posició sintagmàtica.

4.2. Anàlisi de la durada

4.2.1. Valors mitjans de la durada

Els valors mitjans de la durada de cada vocal presenten una regularitat interessant, tan a les oracions declaratives (Taula 4.19) com a les oracions interrogatives (Taula 4.20). A ambdues modalitats oracionals, de fet, la durada de les vocals tòniques del pretonema és aproximadament $9/5$ de la durada de les vocals àtones adjacents. Al tonema, es nota també un allargament generalitzat de la vocal posttònica, tot i que no arriba a ser més llarga que la tònica (de fet, té una durada que correspon aproximadament a $4/5$ de la durada de la tònica). La vocal posttònica és també la que presenta la desviació estàndard més important, ja que arriba a uns $2/5$ de la durada mitjana de la vocal en qüestió, mentre en els altres casos difícilment arriba a $1/5$.

No es nota cap diferència digna de ser destacada ni entre modalitats oracionals ni entre punts d'enquesta. Tot i això, sembla haver-hi una tendència regular per part dels parlants del dialecte de Tesis a produir vocals tòniques lleugerament més llargues que les de les altres varietats.

4.2.2. Taxonomia de les estructures duratives superficials

A partir dels valors absoluts de la durada de cada vocal, les fórmules descrites al Capítol 3 calculen en primer lloc les estructures duratives superficials. Els resultats de l'aplicació dels algorismes en qüestió estan recollits a les Taules de 4.21 a 4.28. En concret, les Taules 4.21 i 4.22 presenten les estructures duratives superficials a les frases declaratives i interrogatives de la varietat d'Agrons, respectivament; les Taules 4.23 i 4.24 contenen els mateixos resultats per a la varietat de Beivars; les Taules 4.25 i 4.26 es refereixen al dialecte parlat a Gradisca d'Isonzo i, finalment, les Taules 4.27 i 4.28 presenten les estructures duratives superficials d'intensitat per al friülà de Tesis.

En el pretonema prevalen clarament dues situacions duratives que, juntes, corresponen al 87,9% dels casos, mentre que el romanent 12,1% està repartit entre set estructures diferents, cap de les quals arriba a representar un percentatge digne de nota. En la més freqüent de les estructures (60,1% dels casos), la vocal tònica és significativament més llarga d'ambdues les vocals adjacent. En la segona (27,8% dels casos), la vocal tònica

és significativament més llarga de la vocal pretònica només. No hi ha cap diferència significativa entre modalitats oracionals o punts d'enquesta.

Tampoc en el tonema es nota cap diferència entre modalitats oracionals o punts d'enquesta. Les diferències que cal indicar estan relacionades amb la posició de l'accent. De fet, la vocal tònica de les paraules esdrúixoles és significativament més llarga que ambdues vocals adjacents en el 82,7% dels casos, de manera semblant al que passa al pretonema. Per contra, en el cas de les paraules planes la situació més freqüent (75,6% dels casos) és que la vocal tònica sigui només significativament més llarga que la vocal anterior. Això es deu, evidentment, al fet que la vocal posttònica és, en aquest cas, també l'última absoluta de la frase i per tant, com s'ha vist en el paràgraf anterior, tendeix a ser allargada, tot i no superar la durada de la tònica. Finalment, la vocal tònica dels mots aguts és pràcticament sempre (99,7% dels casos) només més llarga que l'anterior, ja que no existeix vocal posttònica.

4.2.3. Taxonomia de les estructures duratives profundes

A partir de les estructures duratives superficials, les fórmules descrites al Capítol 3 calculen també les estructures profundes per al mateix paràmetre. Tal com era d'esperar a partir de les dades il·lustrades en la secció anterior, es confirma que en friülà la durada vocàlica és un correlat acústic molt important de l'accent lèxic. De fet, tal com es pot veure a les Taules de 4.29 a 4.36, l'estructura profunda que apareix amb més freqüència (en el 90,3% dels casos) és G*, que indica que la vocal tònica té una durada significativament més llarga que la vocal anterior o que ambdues vocals adjacents. La conclusió és que en totes les varietats de friülà l'accent lèxic es realitza sens dubte com a accent de durada, de manera totalment independent de la modalitat oracional i de la posició de l'accent en l'interior del mot.

S1				EXP1				S2				S3				EXP3																																																																																			
Punt d'enquesta	Pretònica	Tònica	Posttònica	Punt d'enquesta	Pretònica	Tònica	Posttònica	Punt d'enquesta	Pretònica	Tònica	Posttònica	Punt d'enquesta	Pretònica	Tònica	Posttònica	Punt d'enquesta	Pretònica	Tònica	Posttònica																																																																																
<table border="1"> <tr><td>Agrons</td><td>46 (7)</td><td>88 (13)</td><td>48 (23)</td></tr> <tr><td>Beivars</td><td>44 (7)</td><td>76 (14)</td><td>46 (18)</td></tr> <tr><td>Gradisca</td><td>46 (8)</td><td>87 (18)</td><td>51 (18)</td></tr> <tr><td>Tesis</td><td>51 (10)</td><td>106 (22)</td><td>57 (25)</td></tr> </table>				Agrons	46 (7)	88 (13)	48 (23)	Beivars	44 (7)	76 (14)	46 (18)	Gradisca	46 (8)	87 (18)	51 (18)	Tesis	51 (10)	106 (22)	57 (25)	<table border="1"> <tr><td>Agrons</td><td>56 (14)</td><td>101 (18)</td><td>50 (19)</td></tr> <tr><td>Beivars</td><td>54 (13)</td><td>90 (15)</td><td>44 (13)</td></tr> <tr><td>Gradisca</td><td>60 (21)</td><td>99 (20)</td><td>56 (18)</td></tr> <tr><td>Tesis</td><td>68 (23)</td><td>131 (25)</td><td>61 (29)</td></tr> </table>				Agrons	56 (14)	101 (18)	50 (19)	Beivars	54 (13)	90 (15)	44 (13)	Gradisca	60 (21)	99 (20)	56 (18)	Tesis	68 (23)	131 (25)	61 (29)	<table border="1"> <tr><td>Agrons</td><td>42 (9)</td><td>68 (18)</td><td>47 (9)</td></tr> <tr><td>Beivars</td><td>37 (5)</td><td>61 (15)</td><td>39 (6)</td></tr> <tr><td>Gradisca</td><td>42 (5)</td><td>65 (14)</td><td>47 (8)</td></tr> <tr><td>Tesis</td><td>41 (8)</td><td>101 (18)</td><td>51 (8)</td></tr> </table>				Agrons	42 (9)	68 (18)	47 (9)	Beivars	37 (5)	61 (15)	39 (6)	Gradisca	42 (5)	65 (14)	47 (8)	Tesis	41 (8)	101 (18)	51 (8)	<table border="1"> <tr><td>Agrons</td><td>57 (10)</td><td>101 (15)</td><td>87 (34)</td></tr> <tr><td>Beivars</td><td>50 (12)</td><td>103 (15)</td><td>87 (35)</td></tr> <tr><td>Gradisca</td><td>53 (8)</td><td>95 (18)</td><td>86 (31)</td></tr> <tr><td>Tesis</td><td>60 (7)</td><td>106 (15)</td><td>88 (31)</td></tr> </table>				Agrons	57 (10)	101 (15)	87 (34)	Beivars	50 (12)	103 (15)	87 (35)	Gradisca	53 (8)	95 (18)	86 (31)	Tesis	60 (7)	106 (15)	88 (31)	<table border="1"> <tr><td>Agrons</td><td>58 (18)</td><td>126 (23)</td><td>97 (42)</td></tr> <tr><td>Beivars</td><td>53 (19)</td><td>127 (26)</td><td>92 (42)</td></tr> <tr><td>Gradisca</td><td>53 (17)</td><td>110 (20)</td><td>92 (36)</td></tr> <tr><td>Tesis</td><td>58 (20)</td><td>125 (24)</td><td>94 (38)</td></tr> </table>				Agrons	58 (18)	126 (23)	97 (42)	Beivars	53 (19)	127 (26)	92 (42)	Gradisca	53 (17)	110 (20)	92 (36)	Tesis	58 (20)	125 (24)	94 (38)
Agrons	46 (7)	88 (13)	48 (23)																																																																																																
Beivars	44 (7)	76 (14)	46 (18)																																																																																																
Gradisca	46 (8)	87 (18)	51 (18)																																																																																																
Tesis	51 (10)	106 (22)	57 (25)																																																																																																
Agrons	56 (14)	101 (18)	50 (19)																																																																																																
Beivars	54 (13)	90 (15)	44 (13)																																																																																																
Gradisca	60 (21)	99 (20)	56 (18)																																																																																																
Tesis	68 (23)	131 (25)	61 (29)																																																																																																
Agrons	42 (9)	68 (18)	47 (9)																																																																																																
Beivars	37 (5)	61 (15)	39 (6)																																																																																																
Gradisca	42 (5)	65 (14)	47 (8)																																																																																																
Tesis	41 (8)	101 (18)	51 (8)																																																																																																
Agrons	57 (10)	101 (15)	87 (34)																																																																																																
Beivars	50 (12)	103 (15)	87 (35)																																																																																																
Gradisca	53 (8)	95 (18)	86 (31)																																																																																																
Tesis	60 (7)	106 (15)	88 (31)																																																																																																
Agrons	58 (18)	126 (23)	97 (42)																																																																																																
Beivars	53 (19)	127 (26)	92 (42)																																																																																																
Gradisca	53 (17)	110 (20)	92 (36)																																																																																																
Tesis	58 (20)	125 (24)	94 (38)																																																																																																
<table border="1"> <tr><td>Agrons</td><td>50 (8)</td><td>103 (11)</td><td>45 (14)</td></tr> <tr><td>Beivars</td><td>44 (6)</td><td>83 (8)</td><td>37 (7)</td></tr> <tr><td>Gradisca</td><td>46 (8)</td><td>89 (13)</td><td>48 (9)</td></tr> <tr><td>Tesis</td><td>54 (10)</td><td>120 (23)</td><td>42 (15)</td></tr> </table>				Agrons	50 (8)	103 (11)	45 (14)	Beivars	44 (6)	83 (8)	37 (7)	Gradisca	46 (8)	89 (13)	48 (9)	Tesis	54 (10)	120 (23)	42 (15)	<table border="1"> <tr><td>Agrons</td><td>56 (14)</td><td>101 (18)</td><td>50 (19)</td></tr> <tr><td>Beivars</td><td>54 (13)</td><td>90 (15)</td><td>44 (13)</td></tr> <tr><td>Gradisca</td><td>60 (21)</td><td>99 (20)</td><td>56 (18)</td></tr> <tr><td>Tesis</td><td>68 (23)</td><td>131 (25)</td><td>61 (29)</td></tr> </table>				Agrons	56 (14)	101 (18)	50 (19)	Beivars	54 (13)	90 (15)	44 (13)	Gradisca	60 (21)	99 (20)	56 (18)	Tesis	68 (23)	131 (25)	61 (29)	<table border="1"> <tr><td>Agrons</td><td>42 (9)</td><td>68 (18)</td><td>47 (9)</td></tr> <tr><td>Beivars</td><td>37 (5)</td><td>61 (15)</td><td>39 (6)</td></tr> <tr><td>Gradisca</td><td>42 (5)</td><td>65 (14)</td><td>47 (8)</td></tr> <tr><td>Tesis</td><td>41 (8)</td><td>101 (18)</td><td>51 (8)</td></tr> </table>				Agrons	42 (9)	68 (18)	47 (9)	Beivars	37 (5)	61 (15)	39 (6)	Gradisca	42 (5)	65 (14)	47 (8)	Tesis	41 (8)	101 (18)	51 (8)	<table border="1"> <tr><td>Agrons</td><td>57 (10)</td><td>101 (15)</td><td>87 (34)</td></tr> <tr><td>Beivars</td><td>50 (12)</td><td>103 (15)</td><td>87 (35)</td></tr> <tr><td>Gradisca</td><td>53 (8)</td><td>95 (18)</td><td>86 (31)</td></tr> <tr><td>Tesis</td><td>60 (7)</td><td>106 (15)</td><td>88 (31)</td></tr> </table>				Agrons	57 (10)	101 (15)	87 (34)	Beivars	50 (12)	103 (15)	87 (35)	Gradisca	53 (8)	95 (18)	86 (31)	Tesis	60 (7)	106 (15)	88 (31)	<table border="1"> <tr><td>Agrons</td><td>58 (18)</td><td>126 (23)</td><td>97 (42)</td></tr> <tr><td>Beivars</td><td>53 (19)</td><td>127 (26)</td><td>92 (42)</td></tr> <tr><td>Gradisca</td><td>53 (17)</td><td>110 (20)</td><td>92 (36)</td></tr> <tr><td>Tesis</td><td>58 (20)</td><td>125 (24)</td><td>94 (38)</td></tr> </table>				Agrons	58 (18)	126 (23)	97 (42)	Beivars	53 (19)	127 (26)	92 (42)	Gradisca	53 (17)	110 (20)	92 (36)	Tesis	58 (20)	125 (24)	94 (38)
Agrons	50 (8)	103 (11)	45 (14)																																																																																																
Beivars	44 (6)	83 (8)	37 (7)																																																																																																
Gradisca	46 (8)	89 (13)	48 (9)																																																																																																
Tesis	54 (10)	120 (23)	42 (15)																																																																																																
Agrons	56 (14)	101 (18)	50 (19)																																																																																																
Beivars	54 (13)	90 (15)	44 (13)																																																																																																
Gradisca	60 (21)	99 (20)	56 (18)																																																																																																
Tesis	68 (23)	131 (25)	61 (29)																																																																																																
Agrons	42 (9)	68 (18)	47 (9)																																																																																																
Beivars	37 (5)	61 (15)	39 (6)																																																																																																
Gradisca	42 (5)	65 (14)	47 (8)																																																																																																
Tesis	41 (8)	101 (18)	51 (8)																																																																																																
Agrons	57 (10)	101 (15)	87 (34)																																																																																																
Beivars	50 (12)	103 (15)	87 (35)																																																																																																
Gradisca	53 (8)	95 (18)	86 (31)																																																																																																
Tesis	60 (7)	106 (15)	88 (31)																																																																																																
Agrons	58 (18)	126 (23)	97 (42)																																																																																																
Beivars	53 (19)	127 (26)	92 (42)																																																																																																
Gradisca	53 (17)	110 (20)	92 (36)																																																																																																
Tesis	58 (20)	125 (24)	94 (38)																																																																																																

Taula 4.19 - Valors mitjans de la durada (en ms) amb desviació estàndard (entre parèntesis) per punt d'enquesta, posició sintagmàtica i posició vocàlica (pretònica, tònica, posttònica) a la modalitat declarativa.

S1				EXP1				S2				S3				EXP3																																																																																																							
Punt d'enquesta	Pretònica	Tònica	Posttònica	Punt d'enquesta	Pretònica	Tònica	Posttònica	Punt d'enquesta	Pretònica	Tònica	Posttònica	Punt d'enquesta	Pretònica	Tònica	Posttònica	Punt d'enquesta	Pretònica	Tònica	Posttònica																																																																																																				
<table border="1"> <tr><td>Agrons</td><td>47 (9)</td><td>80 (17)</td><td>51 (22)</td></tr> <tr><td>Beivars</td><td>44 (7)</td><td>72 (14)</td><td>44 (16)</td></tr> <tr><td>Gradisca</td><td>44 (9)</td><td>73 (17)</td><td>48 (18)</td></tr> <tr><td>Tesis</td><td>49 (8)</td><td>99 (16)</td><td>55 (23)</td></tr> </table>				Agrons	47 (9)	80 (17)	51 (22)	Beivars	44 (7)	72 (14)	44 (16)	Gradisca	44 (9)	73 (17)	48 (18)	Tesis	49 (8)	99 (16)	55 (23)	<table border="1"> <tr><td>Agrons</td><td>57 (14)</td><td>97 (17)</td><td>59 (20)</td></tr> <tr><td>Beivars</td><td>52 (13)</td><td>86 (11)</td><td>43 (14)</td></tr> <tr><td>Gradisca</td><td>52 (13)</td><td>94 (16)</td><td>50 (13)</td></tr> <tr><td>Tesis</td><td>62 (20)</td><td>116 (22)</td><td>57 (20)</td></tr> </table>				Agrons	57 (14)	97 (17)	59 (20)	Beivars	52 (13)	86 (11)	43 (14)	Gradisca	52 (13)	94 (16)	50 (13)	Tesis	62 (20)	116 (22)	57 (20)	<table border="1"> <tr><td>Agrons</td><td>40 (9)</td><td>67 (14)</td><td>66 (13)</td></tr> <tr><td>Beivars</td><td>37 (5)</td><td>70 (15)</td><td>50 (7)</td></tr> <tr><td>Gradisca</td><td>40 (5)</td><td>69 (9)</td><td>45 (8)</td></tr> <tr><td>Tesis</td><td>41 (7)</td><td>109 (15)</td><td>54 (8)</td></tr> </table>				Agrons	40 (9)	67 (14)	66 (13)	Beivars	37 (5)	70 (15)	50 (7)	Gradisca	40 (5)	69 (9)	45 (8)	Tesis	41 (7)	109 (15)	54 (8)	<table border="1"> <tr><td>Agrons</td><td>53 (7)</td><td>98 (16)</td><td>95 (41)</td></tr> <tr><td>Beivars</td><td>52 (10)</td><td>101 (17)</td><td>89 (37)</td></tr> <tr><td>Gradisca</td><td>51 (8)</td><td>98 (20)</td><td>97 (38)</td></tr> <tr><td>Tesis</td><td>60 (9)</td><td>102 (14)</td><td>92 (36)</td></tr> </table>				Agrons	53 (7)	98 (16)	95 (41)	Beivars	52 (10)	101 (17)	89 (37)	Gradisca	51 (8)	98 (20)	97 (38)	Tesis	60 (9)	102 (14)	92 (36)	<table border="1"> <tr><td>Agrons</td><td>49 (14)</td><td>109 (20)</td><td>100 (30)</td></tr> <tr><td>Beivars</td><td>52 (18)</td><td>125 (26)</td><td>91 (41)</td></tr> <tr><td>Gradisca</td><td>50 (21)</td><td>106 (23)</td><td>102 (40)</td></tr> <tr><td>Tesis</td><td>64 (21)</td><td>145 (23)</td><td>111 (48)</td></tr> </table>				Agrons	49 (14)	109 (20)	100 (30)	Beivars	52 (18)	125 (26)	91 (41)	Gradisca	50 (21)	106 (23)	102 (40)	Tesis	64 (21)	145 (23)	111 (48)																				
Agrons	47 (9)	80 (17)	51 (22)																																																																																																																				
Beivars	44 (7)	72 (14)	44 (16)																																																																																																																				
Gradisca	44 (9)	73 (17)	48 (18)																																																																																																																				
Tesis	49 (8)	99 (16)	55 (23)																																																																																																																				
Agrons	57 (14)	97 (17)	59 (20)																																																																																																																				
Beivars	52 (13)	86 (11)	43 (14)																																																																																																																				
Gradisca	52 (13)	94 (16)	50 (13)																																																																																																																				
Tesis	62 (20)	116 (22)	57 (20)																																																																																																																				
Agrons	40 (9)	67 (14)	66 (13)																																																																																																																				
Beivars	37 (5)	70 (15)	50 (7)																																																																																																																				
Gradisca	40 (5)	69 (9)	45 (8)																																																																																																																				
Tesis	41 (7)	109 (15)	54 (8)																																																																																																																				
Agrons	53 (7)	98 (16)	95 (41)																																																																																																																				
Beivars	52 (10)	101 (17)	89 (37)																																																																																																																				
Gradisca	51 (8)	98 (20)	97 (38)																																																																																																																				
Tesis	60 (9)	102 (14)	92 (36)																																																																																																																				
Agrons	49 (14)	109 (20)	100 (30)																																																																																																																				
Beivars	52 (18)	125 (26)	91 (41)																																																																																																																				
Gradisca	50 (21)	106 (23)	102 (40)																																																																																																																				
Tesis	64 (21)	145 (23)	111 (48)																																																																																																																				
<table border="1"> <tr><td>Agrons</td><td>51 (9)</td><td>96 (11)</td><td>43 (11)</td></tr> <tr><td>Beivars</td><td>43 (8)</td><td>85 (10)</td><td>37 (7)</td></tr> <tr><td>Gradisca</td><td>44 (6)</td><td>81 (13)</td><td>46 (8)</td></tr> <tr><td>Tesis</td><td>51 (9)</td><td>117 (16)</td><td>47 (10)</td></tr> </table>				Agrons	51 (9)	96 (11)	43 (11)	Beivars	43 (8)	85 (10)	37 (7)	Gradisca	44 (6)	81 (13)	46 (8)	Tesis	51 (9)	117 (16)	47 (10)	<table border="1"> <tr><td>Agrons</td><td>57 (14)</td><td>97 (17)</td><td>59 (20)</td></tr> <tr><td>Beivars</td><td>52 (13)</td><td>86 (11)</td><td>43 (14)</td></tr> <tr><td>Gradisca</td><td>52 (13)</td><td>94 (16)</td><td>50 (13)</td></tr> <tr><td>Tesis</td><td>62 (20)</td><td>116 (22)</td><td>57 (20)</td></tr> </table>				Agrons	57 (14)	97 (17)	59 (20)	Beivars	52 (13)	86 (11)	43 (14)	Gradisca	52 (13)	94 (16)	50 (13)	Tesis	62 (20)	116 (22)	57 (20)	<table border="1"> <tr><td>Agrons</td><td>40 (9)</td><td>67 (14)</td><td>66 (13)</td></tr> <tr><td>Beivars</td><td>37 (5)</td><td>70 (15)</td><td>50 (7)</td></tr> <tr><td>Gradisca</td><td>40 (5)</td><td>69 (9)</td><td>45 (8)</td></tr> <tr><td>Tesis</td><td>41 (7)</td><td>109 (15)</td><td>54 (8)</td></tr> </table>				Agrons	40 (9)	67 (14)	66 (13)	Beivars	37 (5)	70 (15)	50 (7)	Gradisca	40 (5)	69 (9)	45 (8)	Tesis	41 (7)	109 (15)	54 (8)	<table border="1"> <tr><td>Agrons</td><td>53 (7)</td><td>98 (16)</td><td>95 (41)</td></tr> <tr><td>Beivars</td><td>52 (10)</td><td>101 (17)</td><td>89 (37)</td></tr> <tr><td>Gradisca</td><td>51 (8)</td><td>98 (20)</td><td>97 (38)</td></tr> <tr><td>Tesis</td><td>60 (9)</td><td>102 (14)</td><td>92 (36)</td></tr> </table>				Agrons	53 (7)	98 (16)	95 (41)	Beivars	52 (10)	101 (17)	89 (37)	Gradisca	51 (8)	98 (20)	97 (38)	Tesis	60 (9)	102 (14)	92 (36)	<table border="1"> <tr><td>Agrons</td><td>48 (7)</td><td>68 (12)</td><td>45 (23)</td></tr> <tr><td>Beivars</td><td>44 (7)</td><td>64 (15)</td><td>46 (30)</td></tr> <tr><td>Gradisca</td><td>46 (8)</td><td>72 (17)</td><td>46 (17)</td></tr> <tr><td>Tesis</td><td>57 (8)</td><td>93 (19)</td><td>58 (29)</td></tr> </table>				Agrons	48 (7)	68 (12)	45 (23)	Beivars	44 (7)	64 (15)	46 (30)	Gradisca	46 (8)	72 (17)	46 (17)	Tesis	57 (8)	93 (19)	58 (29)	<table border="1"> <tr><td>Agrons</td><td>49 (14)</td><td>109 (20)</td><td>100 (30)</td></tr> <tr><td>Beivars</td><td>52 (18)</td><td>125 (26)</td><td>91 (41)</td></tr> <tr><td>Gradisca</td><td>50 (21)</td><td>106 (23)</td><td>102 (40)</td></tr> <tr><td>Tesis</td><td>64 (21)</td><td>145 (23)</td><td>111 (48)</td></tr> </table>				Agrons	49 (14)	109 (20)	100 (30)	Beivars	52 (18)	125 (26)	91 (41)	Gradisca	50 (21)	106 (23)	102 (40)	Tesis	64 (21)	145 (23)	111 (48)
Agrons	51 (9)	96 (11)	43 (11)																																																																																																																				
Beivars	43 (8)	85 (10)	37 (7)																																																																																																																				
Gradisca	44 (6)	81 (13)	46 (8)																																																																																																																				
Tesis	51 (9)	117 (16)	47 (10)																																																																																																																				
Agrons	57 (14)	97 (17)	59 (20)																																																																																																																				
Beivars	52 (13)	86 (11)	43 (14)																																																																																																																				
Gradisca	52 (13)	94 (16)	50 (13)																																																																																																																				
Tesis	62 (20)	116 (22)	57 (20)																																																																																																																				
Agrons	40 (9)	67 (14)	66 (13)																																																																																																																				
Beivars	37 (5)	70 (15)	50 (7)																																																																																																																				
Gradisca	40 (5)	69 (9)	45 (8)																																																																																																																				
Tesis	41 (7)	109 (15)	54 (8)																																																																																																																				
Agrons	53 (7)	98 (16)	95 (41)																																																																																																																				
Beivars	52 (10)	101 (17)	89 (37)																																																																																																																				
Gradisca	51 (8)	98 (20)	97 (38)																																																																																																																				
Tesis	60 (9)	102 (14)	92 (36)																																																																																																																				
Agrons	48 (7)	68 (12)	45 (23)																																																																																																																				
Beivars	44 (7)	64 (15)	46 (30)																																																																																																																				
Gradisca	46 (8)	72 (17)	46 (17)																																																																																																																				
Tesis	57 (8)	93 (19)	58 (29)																																																																																																																				
Agrons	49 (14)	109 (20)	100 (30)																																																																																																																				
Beivars	52 (18)	125 (26)	91 (41)																																																																																																																				
Gradisca	50 (21)	106 (23)	102 (40)																																																																																																																				
Tesis	64 (21)	145 (23)	111 (48)																																																																																																																				

Taula 4.20 - Valors mitjans de la durada (en ms) amb desviació estàndard (entre parèntesis) per punt d'enquesta, posició sintagmàtica i posició vocàlica (pretònica, tònica, posttònica) a la modalitat interrogativa.

		S1				EXP1						S2						S3				EXP3							
Tipus de mot		Estr. dur.	N	%	Tipus de mot	Estr. dur.	N	%	Tipus de mot		Estr. dur.	N	%	Tipus de mot	Estr. dur.	N	%	Tipus de mot	Estr. dur.	N	%	Tipus de mot	Estr. dur.	N	%				
esd.	P ⁺ G				esd.	P ⁺ G			esd.	P ⁺ G				esd.	P ⁺ G			esd.	P ⁺ G			esd.	P ⁺ G						
	P ⁺ G ⁺ G					P ⁺ G ⁺ G					P ⁺ G ⁺ G					P ⁺ G ⁺ G					P ⁺ G ⁺ G					P ⁺ G ⁺ G			
	G ⁺ P ⁺ G					G ⁺ P ⁺ G					G ⁺ P ⁺ G					G ⁺ P ⁺ G					G ⁺ P ⁺ G					G ⁺ P ⁺ G			
	P ⁺ G ⁺	1	4			P ⁺ G ⁺	1	6			P ⁺ G ⁺					P ⁺ G ⁺	1		6		P ⁺ G ⁺		1	6		P ⁺ G ⁺	1	6	
	P ⁺ G ⁺ +P	23	96			P ⁺ G ⁺ +P	12	66			P ⁺ G ⁺ +P	13	72			P ⁺ G ⁺ +P	13		72		P ⁺ G ⁺ +P		13	72		P ⁺ G ⁺ +P	13	72	
pla.	G ⁺ +P				pla.	G ⁺ +P			pla.	G ⁺ +P				pla.	G ⁺ +P			pla.	G ⁺ +P			pla.	G ⁺ +P						
	G ⁺ P ⁺ +P					G ⁺ P ⁺ +P	4	22			G ⁺ P ⁺ +P	5	28			G ⁺ P ⁺ +P	4		22		G ⁺ P ⁺ +P		4	22		G ⁺ P ⁺ +P	4	22	
	G ⁺ P ⁺					G ⁺ P ⁺					G ⁺ P ⁺					G ⁺ P ⁺					G ⁺ P ⁺					G ⁺ P ⁺			
	P ⁺ G ⁺	2	8			P ⁺ G ⁺	2	11			P ⁺ G ⁺	3	17			P ⁺ G ⁺	2		11		P ⁺ G ⁺		3	17		P ⁺ G ⁺	2	11	
	P ⁺ G ⁺ +P	22	92			P ⁺ G ⁺ +P	14	78			P ⁺ G ⁺ +P	14	78			P ⁺ G ⁺ +P	14		78		P ⁺ G ⁺ +P		14	78		P ⁺ G ⁺ +P	14	78	
agu.	G ⁺ P ⁺				agu.	G ⁺ P ⁺			agu.	G ⁺ P ⁺				agu.	G ⁺ P ⁺			agu.	G ⁺ P ⁺			agu.	G ⁺ P ⁺						
	P ⁺ G ⁺	1	4			P ⁺ G ⁺	1	1			P ⁺ G ⁺	1	1			P ⁺ G ⁺	1		1		P ⁺ G ⁺		1	1		P ⁺ G ⁺	1	1	
	P ⁺ G ⁺ +P	23	96			P ⁺ G ⁺ +P	60	48			P ⁺ G ⁺ +P	27	21			P ⁺ G ⁺ +P	60		48		P ⁺ G ⁺ +P		27	21		P ⁺ G ⁺ +P	24	100	
	G ⁺ P ⁺					G ⁺ P ⁺					G ⁺ P ⁺					G ⁺ P ⁺					G ⁺ P ⁺					G ⁺ P ⁺			
	G ⁺ P ⁺ +P					G ⁺ P ⁺ +P					G ⁺ P ⁺ +P					G ⁺ P ⁺ +P					G ⁺ P ⁺ +P					G ⁺ P ⁺ +P			

Taula 4.21 - Sinopsi de la freqüència d'aparició (en termes absoluts i percentuals) de les estructures duratives superficials a les frases declaratives a la varietat d'Agrons per posició accentual i posició sintagmàtica.

S1				EXPI				S2				S3				EXP3						
Tipus de mot		Estad. dur.	N	%	Tipus de mot		Estad. dur.	N	%	Tipus de mot		Estad. dur.	N	%	Tipus de mot		Estad. dur.	N	%			
esd.	P+G				esd.	P+G				esd.	P+G				esd.	P+G						
	P+G+G					P+G+G					P+G+G					P+G+G			P+G+G			
	G+P+G					G+P+G					G+P+G					G+P+G			G+P+G			
	-					-					-					-			-			
	P+G*					P+G*					P+G*					P+G*			P+G*			
	P+G+P	23		96		P+G+P					P+G+P					P+G+P			P+G+P			
pla.	G+P	1		4	pla.	G+P				pla.	G+P				pla.	G+P						
	G+P+P					G+P+P					G+P+P					G+P+P			G+P+P			
	G+P*					G+P*					G+P*					G+P*			G+P*			
	-					-					-					-			-			
	P+G*	2		8		P+G*					P+G*					P+G*			P+G*			
	P+G+P	22		92		P+G+P					P+G+P					P+G+P			P+G+P			
agu.	G+P*				agu.	G+P*				agu.	G+P*				agu.	G+P*						
	G+P+P					G+P+P					G+P+P					G+P+P			G+P+P			
	G+P*					G+P*					G+P*					G+P*			G+P*			
	-					-					-					-			-			
	P+G*	22		92		P+G*					P+G*					P+G*			P+G*			
	G+P*	2		8		G+P*					G+P*					G+P*			G+P*			
esd.	P+G				esd.	P+G				esd.	P+G				esd.	P+G						
	P+G+G					P+G+G					P+G+G					P+G+G			P+G+G			
	G+P+G	1		6		G+P+G	2		11		G+P+G	3		17		G+P+G	5		28	G+P+G	5	28
	-					-					-					-			-			
	P+G*	17		94		P+G*	3		17		P+G*	12		66		P+G*	2		11	P+G*	11	61
	G+P					G+P	5		28		G+P	3		17		G+P	5		28	G+P	5	28
pla.	G+P+P				pla.	G+P+P				pla.	G+P+P				pla.	G+P+P						
	G+P*					G+P*					G+P*					G+P*			G+P*			
	-	5		28		-	2		11		-	9		50		-	1		6	-	13	72
	P+G*	9		50		P+G*	2		11		P+G*	1		6		P+G*	1		6	P+G*	13	72
	P+G+P	2		11		P+G+P	14		78		P+G+P	2		11		P+G+P	2		11	P+G+P	11	61
	G+P	2		11		G+P	8		44		G+P	6		33		G+P	6		33	G+P	5	28
agu.	G+P+P				agu.	G+P+P				agu.	G+P+P				agu.	G+P+P						
	G+P*					G+P*					G+P*					G+P*			G+P*			
	-					-	2		11		-	1		6		-			-			
	P+G*	3		17		P+G*	2		11		P+G*	1		6		P+G*	1		6	P+G*	18	100
	P+G+P	4		22		P+G+P	16		89		P+G+P	7		38		P+G+P	7		38	P+G+P	18	100
	G+P*	8		44		G+P*					G+P*	9		50		G+P*	9		50	G+P*	18	100

Taula 4.22 - Sinopsi de la freqüència d'aparició (en termes absoluts i percentuals) de les estructures duratives superficials a les frases interrogatives a la varietat d'Agrons per posició accentual i posició sintagmàtica.

S1				EXP1				S2				S3				EXP3										
Tipus de mot	Estr. dur.	N	%	Tipus de mot	Estr. dur.	N	%	Tipus de mot	Estr. dur.	N	%	Tipus de mot	Estr. dur.	N	%	Tipus de mot	Estr. dur.	N	%							
esd.	P+G							esd.	P+G			esd.	P+G			esd.	P+G			esd.	P+G					
	P+G+G																									
	G+P+G																									
	-																									
	P+G*																									
P+G+P	24	100																								
G+P																										
G+P+P																										
G+P*																										
pla.	P+G							pla.	P+G			pla.	P+G			pla.	P+G			pla.	P+G					
	P+G+G																									
	G+P+G	23	96																							
	-																									
	P+G*																									
P+G+P																										
G+P	1	4																								
G+P+P																										
G+P*																										
agu.	P+G							agu.	P+G			agu.	P+G			agu.	P+G			agu.	P+G					
	P+G+G																									
	G+P+G																									
	-																									
	P+G*																									
P+G+P	24	100																								
G+P																										
G+P+P																										
G+P*																										
esd.	P+G							esd.	P+G			esd.	P+G			esd.	P+G			esd.	P+G					
	P+G+G																									
	G+P+G	1	6																							
	-																									
	P+G*	1	6																							
P+G+P	15	82																								
G+P	1	6																								
G+P+P																										
G+P*																										
pla.	P+G							pla.	P+G			pla.	P+G			pla.	P+G			pla.	P+G					
	P+G+G																									
	G+P+G	5	28																							
	-																									
	P+G*	4	22																							
P+G+P	9	50																								
G+P																										
G+P+P																										
G+P*																										
agu.	P+G							agu.	P+G			agu.	P+G			agu.	P+G			agu.	P+G					
	P+G+G	1	6																							
	G+P+G																									
	-																									
	P+G*	9	50																							
P+G+P	7	38																								
G+P	1	6																								
G+P+P																										
G+P*																										

Taula 4.23 - Sinopsi de la freqüència d'aparició (en termes absoluts i percentuals) de les estructures duratives superficials a les frases declaratives a la varietat de Beivars per posició accentual i posició sintagmàtica.

S1				EXPI				S2				S3				EXP3										
Tipus de mot	Estat. dur.	N	%	Tipus de mot	Estat. dur.	N	%	Tipus de mot	Estat. dur.	N	%	Tipus de mot	Estat. dur.	N	%	Tipus de mot	Estat. dur.	N	%							
esd.	P+G							esd.	P+G			esd.	P+G			esd.	P+G			esd.	P+G					
	P+G+G																									
	G+P+G																									
	-																									
	P+G*	24	100																							
pla.	P+G							pla.	P+G			pla.	P+G			pla.	P+G			pla.	P+G					
	P+G+G																									
	G+P+G																									
	-																									
	P+G*	2	8																							
agu.	P+G							agu.	P+G			agu.	P+G			agu.	P+G			agu.	P+G					
	P+G+G																									
	G+P+G																									
	-																									
	P+G*	24	100																							

Tipus de mot	Estat. dur.	N	%
P+G		2	2
P+G+G			
G+P+G		4	3
-			
P+G*	66	52	
P+G+P	54	43	
G+P+P			
G+P*			

Tipus de mot	Estat. dur.	N	%
P+G			
P+G+G			
G+P+G			
-			
P+G*	1	6	
P+G+P	10	55	
G+P+P	6	33	
G+P*			
G+P*			
P+G			
P+G+G			
G+P+G			
-			
P+G*	4	22	
P+G+P	9	50	
G+P+P			
G+P*			
P+G			
P+G+G			
G+P+G			
-			
P+G*	10	56	
P+G+P	7	38	
G+P+P	1	6	
G+P*			

Tipus de mot	Estat. dur.	N	%
P+G			
P+G+G			
G+P+G			
-			
P+G*	1	6	
P+G+P	16	89	
G+P+P	2	11	
G+P*			
P+G			
P+G+G			
G+P+G			
-			
P+G*	10	56	
P+G+P	7	38	
G+P+P	1	6	
G+P*			

Taula 4.24 - Sinopsi de la freqüència d'aparició (en termes absoluts i percentuals) de les estructures duratives superficials a les frases interrogatives a la varietat de Beivars per posició accentual i posició sintagmàtica.

S1		EXPI		S2		S3		EXP3			
Tipus de mot	Estat. dur.	N	%	Tipus de mot	Estat. dur.	N	%	Tipus de mot	Estat. dur.	N	%
esd.	P+G			esd.	P+G			esd.	P+G		
	P+G+G				P+G+G				P+G+G		
	G+P+G				G+P+G				G+P+G		
	-				-				-		
	P+G*	1	4		P+G*	4	17		P+G*	4	17
P+G+P	23	96	P+G+P	18	75	P+G+P	18	75			
G+P			G+P	2	8	G+P	2	8			
G+P+P			G+P+P			G+P+P					
G+P*			G+P*			G+P*					
pla.	P+G			pla.	P+G			pla.	P+G		
	P+G+G				P+G+G				P+G+G		
	G+P+G				G+P+G				G+P+G		
	-				-				-		
	P+G*	9	38		P+G*	24	100		P+G*	24	100
P+G+P	14	58	P+G+P			P+G+P					
G+P	1	4	G+P			G+P					
G+P+P			G+P+P			G+P+P					
G+P*			G+P*			G+P*					
agu.	P+G			agu.	P+G			agu.	P+G		
	P+G+G				P+G+G				P+G+G		
	G+P+G				G+P+G				G+P+G		
	-				-				-		
	P+G*	1	4		P+G*	1	4		P+G*	1	4
P+G+P	23	96	P+G+P	23	96	P+G+P	23	96			
G+P			G+P			G+P					
G+P+P			G+P+P			G+P+P					
G+P*			G+P*			G+P*					
esd.	P+G			esd.	P+G			esd.	P+G		
	P+G+G				P+G+G				P+G+G		
	G+P+G	1	6		G+P+G	1	6		G+P+G	1	6
	-				-				-		
	P+G*	3	17		P+G*	5	28		P+G*	5	28
P+G+P	13	71	P+G+P	8	44	P+G+P	8	44			
G+P	1	6	G+P	4	22	G+P	4	22			
G+P+P			G+P+P			G+P+P					
G+P*			G+P*			G+P*					
pla.	P+G			pla.	P+G			pla.	P+G		
	P+G+G				P+G+G				P+G+G		
	G+P+G	4	22		G+P+G	9	49		G+P+G	9	49
	-				-				-		
	P+G*	6	33		P+G*	3	17		P+G*	3	17
P+G+P	8	45	P+G+P	3	17	P+G+P	3	17			
G+P			G+P	3	17	G+P	3	17			
G+P+P			G+P+P			G+P+P					
G+P*			G+P*			G+P*					
agu.	P+G			agu.	P+G			agu.	P+G		
	P+G+G				P+G+G				P+G+G		
	G+P+G				G+P+G				G+P+G		
	-				-				-		
	P+G*	6	33		P+G*	6	33		P+G*	6	33
P+G+P	12	67	P+G+P	12	67	P+G+P	12	67			
G+P			G+P			G+P					
G+P+P			G+P+P			G+P+P					
G+P*			G+P*			G+P*					
esd.	P+G			esd.	P+G			esd.	P+G		
	P+G+G				P+G+G				P+G+G		
	G+P+G				G+P+G				G+P+G		
	-				-				-		
	P+G*				P+G*				P+G*		
P+G+P			P+G+P			P+G+P					
G+P			G+P			G+P					
G+P+P			G+P+P			G+P+P					
G+P*			G+P*			G+P*					
pla.	P+G			pla.	P+G			pla.	P+G		
	P+G+G				P+G+G				P+G+G		
	G+P+G				G+P+G				G+P+G		
	-				-				-		
	P+G*				P+G*				P+G*		
P+G+P			P+G+P			P+G+P					
G+P			G+P			G+P					
G+P+P			G+P+P			G+P+P					
G+P*			G+P*			G+P*					
agu.	P+G			agu.	P+G			agu.	P+G		
	P+G+G				P+G+G				P+G+G		
	G+P+G				G+P+G				G+P+G		
	-				-				-		
	P+G*				P+G*				P+G*		
P+G+P			P+G+P			P+G+P					
G+P			G+P			G+P					
G+P+P			G+P+P			G+P+P					
G+P*			G+P*			G+P*					

Taula 4.25 - Sinopsi de la freqüència d'aparició (en termes absoluts i percentuals) de les estructures duratives superficials a les frases declaratives a la varietat de Gradisca d'Isonzo per posició accentual i posició sintagmàtica.

S1				EXPI				S2				S3				EXP3											
Tipus de mot	Estat. dur.	N	%	Tipus de mot	Estat. dur.	N	%	Tipus de mot	Estat. dur.	N	%	Tipus de mot	Estat. dur.	N	%	Tipus de mot	Estat. dur.	N	%								
esd.	P+G							esd.	P+G			esd.	P+G			esd.	P+G			esd.	P+G						
	P+G+G								P+G+G					P+G+G					P+G+G					P+G+G			
	G+P+G									G+P+G					G+P+G						G+P+G				G+P+G		
	-									-					-						-				-		
	P+G*	4	17							P+G*	4		17								P+G*	4	17				
pla.	P+G+P	20	83					pla.	P+G+P	20	83						pla.	P+G+P	20	83							
	G+P								G+P									G+P				G+P					
	G+P+P									G+P+P									G+P+P				G+P+P				
	G+P*									G+P*									G+P*				G+P*				
	-									-										-				-			
agu.	P+G							agu.	P+G								agu.	P+G									
	P+G+G								P+G+G										P+G+G								
	G+P+G									G+P+G										G+P+G							
	-	1	4							-	1	4								-	1	4					
	P+G*	12	50							P+G*	12	50								P+G*	12	50					
esd.	P+G+P	10	42					esd.	P+G+P	10	42						esd.	P+G+P	10	42							
	G+P	1	4						G+P	1	4								G+P	1	4						
	G+P+P									G+P+P										G+P+P							
	G+P*									G+P*										G+P*							
	-									-											-						
agu.	P+G							agu.	P+G								agu.	P+G									
	P+G+G								P+G+G										P+G+G								
	G+P+G									G+P+G										G+P+G							
	-	24	100							-	24	100								-	24	100					
	P+G*									P+G*										P+G*							
esd.	P+G							esd.	P+G								esd.	P+G									
	P+G+G								P+G+G										P+G+G								
	G+P+G	2	11							G+P+G	2	11								G+P+G	2	11					
	-									-											-						
	P+G*	2	11							P+G*	2	11									P+G*	2	11				
pla.	P+G+P	12	67					pla.	P+G+P	12	67						pla.	P+G+P	12	67							
	G+P	2	11						G+P	2	11								G+P	2	11						
	G+P+P									G+P+P										G+P+P							
	G+P*									G+P*										G+P*							
	-									-											-						
agu.	P+G							agu.	P+G								agu.	P+G									
	P+G+G								P+G+G										P+G+G								
	G+P+G									G+P+G										G+P+G							
	-	8	44							-	8	44									-	8	44				
	P+G*	8	44							P+G*	8	44									P+G*	8	44				
esd.	P+G+P	2	12					esd.	P+G+P	2	12						esd.	P+G+P	2	12							
	G+P								G+P										G+P								
	G+P+P									G+P+P										G+P+P							
	G+P*									G+P*											G+P*						
	-									-											-						
agu.	P+G							agu.	P+G								agu.	P+G									
	P+G+G								P+G+G										P+G+G								
	G+P+G									G+P+G										G+P+G							
	-	5	27							-	5	27									-	5	27				
	P+G*	3	27							P+G*	3	27									P+G*	3	27				
esd.	P+G+P	10	86					esd.	P+G+P	10	86						esd.	P+G+P	10	86							
	G+P								G+P										G+P								
	G+P+P									G+P+P										G+P+P							
	G+P*									G+P*											G+P*						
	-									-											-						
agu.	P+G							agu.	P+G								agu.	P+G									
	P+G+G								P+G+G										P+G+G								
	G+P+G									G+P+G										G+P+G							
	-	3	27							-	3	27									-	3	27				
	P+G*	10	86							P+G*	10	86									P+G*	10	86				

Taula 4.26 - Sinopsi de la freqüència d'aparició (en termes absoluts i percentuals) de les estructures duratives superficials a les frases interrogatives a la varietat de Gradisca d'Isonzo per posició accentual i posició sintagmàtica.

S1				EXP1				S2				S3				EXP3			
Tipus de mot	Èstat. dur.	N	%	Tipus de mot	Èstat. dur.	N	%	Tipus de mot	Èstat. dur.	N	%	Tipus de mot	Èstat. dur.	N	%	Tipus de mot	Èstat. dur.	N	%
esd.	P+G																		
	P+G+G																		
	G+P+G																		
	P+G*																		
	P+G*+P	24	100																
pla.	G*+P																		
	G+P*+P																		
	G+P*																		
	P+G*+P	7	29																
	G*+P	17	71																
agu.	G+P*+P																		
	G+P*																		
	P+G*+P	24	100																
	G*+P																		
	G+P*+P																		
pla.	P+G																		
	P+G+G																		
	G+P+G																		
	P+G*																		
	P+G*+P	117	93																
esd.	P+G																		
	P+G+G																		
	G+P+G																		
	P+G*																		
	P+G*+P	21	88																
pla.	G*+P																		
	G+P*+P	3	12																
	G+P*																		
	P+G*+P	24	100																
	G*+P																		
agu.	G+P*+P																		
	G+P*																		
	P+G*+P	24	100																
	G*+P																		
	G+P*+P																		
esd.	P+G																		
	P+G+G																		
	G+P+G																		
	P+G*																		
	P+G*+P	18	100																
pla.	G*+P																		
	G+P*+P																		
	G+P*																		
	P+G*+P	5	28																
	G*+P	13	72																
agu.	G+P*+P																		
	G+P*																		
	P+G*+P	1	6																
	G*+P	5	28																
	G+P*+P	12	66																
esd.	P+G																		
	P+G+G																		
	G+P+G																		
	P+G*																		
	P+G*+P	13	72																
pla.	G*+P																		
	G+P*+P																		
	G+P*																		
	P+G*+P	1	6																
	G*+P	17	94																
agu.	G+P*+P																		
	G+P*																		
	P+G*+P	1	6																
	G*+P	5	28																
	G+P*+P	16	88																
esd.	P+G																		
	P+G+G																		
	G+P+G																		
	P+G*																		
	P+G*+P	11	62																
pla.	G*+P																		
	G+P*+P	7	38																
	G+P*																		
	P+G*+P	1	6																
	G*+P	12	66																
agu.	G+P*+P																		
	G+P*																		
	P+G*+P	1	6																
	G*+P	6	33																
	G+P*+P	11	61																
esd.	P+G																		
	P+G+G																		
	G+P+G																		
	P+G*																		
	P+G*+P	15	83																
pla.	G*+P																		
	G+P*+P	3	17																
	G+P*																		
	P+G*+P	1	6																
	G*+P	6	33																
agu.	G+P*+P																		
	G+P*																		
	P+G*+P	18	100																
	G*+P																		
	G+P*+P																		

Taula 4.27 - Sinopsi de la freqüència d'aparició (en termes absoluts i percentuals) de les estructures duratives superficials a les frases declaratives a la varietat de Tesis per posició accentual i posició sintagmàtica.

S1				EXPI				S2				S3				EXP3									
Tipus de mot	Estat. dur.	N	%	Tipus de mot	Estat. dur.	N	%	Tipus de mot	Estat. dur.	N	%	Tipus de mot	Estat. dur.	N	%	Tipus de mot	Estat. dur.	N	%						
esd.	P+G							esd.	P+G			esd.	P+G			esd.	P+G			esd.					
	P+G+G								P+G+G					P+G+G					P+G+G						
	G+P+G									G+P+G					G+P+G						G+P+G				
	-									-					-						-				
	P+G*									P+G*					P+G*						P+G*				
P+G+P	24	100						P+G+P				P+G+P	24	100		P+G+P				P+G+P					
G+P								G+P				G+P				G+P				G+P					
G+P+P								G+P+P				G+P+P				G+P+P				G+P+P					
G+P*								G+P*				G+P*				G+P*				G+P*					
pla.	P+G							pla.	P+G			pla.	P+G			pla.	P+G			pla.	P+G				
	P+G+G								P+G+G					P+G+G					P+G+G					P+G+G	
	G+P+G									G+P+G					G+P+G						G+P+G				G+P+G
	-									-					-						-				-
	P+G*	2	8							P+G*	2		8		P+G*		2	8			P+G*	2	8		P+G*
P+G+P	22	92						P+G+P	22	92		P+G+P	22	92		P+G+P	22	92		P+G+P					
G+P								G+P				G+P				G+P				G+P					
G+P+P								G+P+P				G+P+P				G+P+P				G+P+P					
G+P*								G+P*				G+P*				G+P*				G+P*					
agu.	P+G							agu.	P+G			agu.	P+G			agu.	P+G			agu.	P+G				
	P+G+G								P+G+G					P+G+G					P+G+G					P+G+G	
	G+P+G									G+P+G					G+P+G						G+P+G				G+P+G
	-									-					-						-				-
	P+G*									P+G*					P+G*						P+G*				P+G*
P+G+P	24	100						P+G+P	24	100		P+G+P	24	100		P+G+P	24	100		P+G+P					
G+P								G+P				G+P				G+P				G+P					
G+P+P								G+P+P				G+P+P				G+P+P				G+P+P					
G+P*								G+P*				G+P*				G+P*				G+P*					
esd.	P+G							esd.	P+G			esd.	P+G			esd.	P+G			esd.	P+G				
	P+G+G								P+G+G					P+G+G					P+G+G					P+G+G	
	G+P+G									G+P+G					G+P+G						G+P+G				G+P+G
	-									-					-						-				-
	P+G*	17	94							P+G*	12		67		P+G*		13	72			P+G*	13	72		P+G*
P+G+P	1	6						P+G+P	6	33		P+G+P	5	28		P+G+P	5	28		P+G+P					
G+P								G+P				G+P				G+P				G+P					
G+P+P								G+P+P				G+P+P				G+P+P				G+P+P					
G+P*								G+P*				G+P*				G+P*				G+P*					
pla.	P+G							pla.	P+G			pla.	P+G			pla.	P+G			pla.	P+G				
	P+G+G								P+G+G					P+G+G					P+G+G					P+G+G	
	G+P+G									G+P+G					G+P+G						G+P+G				G+P+G
	-									-					-						-				-
	P+G*	5	28							P+G*	4		22		P+G*		1	6			P+G*	16	89		P+G*
P+G+P	13	72						P+G+P	14	78		P+G+P	14	77		P+G+P	3	17		P+G+P					
G+P								G+P				G+P				G+P				G+P					
G+P+P								G+P+P				G+P+P				G+P+P				G+P+P					
G+P*								G+P*				G+P*				G+P*				G+P*					
agu.	P+G							agu.	P+G			agu.	P+G			agu.	P+G			agu.	P+G				
	P+G+G								P+G+G					P+G+G					P+G+G					P+G+G	
	G+P+G									G+P+G					G+P+G						G+P+G				G+P+G
	-									-					-						-				-
	P+G*	1	6							P+G*	2		11		P+G*		1	6			P+G*	7	38		P+G*
P+G+P	5	28						P+G+P	16	89		P+G+P	10	56		P+G+P	10	56		P+G+P					
G+P								G+P				G+P				G+P				G+P					
G+P+P								G+P+P				G+P+P				G+P+P				G+P+P					
G+P*								G+P*				G+P*				G+P*				G+P*					

Taula 4.28 - Sinopsi de la freqüència d'aparició (en termes absoluts i percentuals) de les estructures duratives superficials a les frases interrogatives a la varietat de Tesis per posició accentual i posició sintagmàtica.

S1				EXPI				S2				S3				EXP3			
Tipus de mot	Estr. dur.	N	%	Tipus de mot	Estr. dur.	N	%	Tipus de mot	Estr. dur.	N	%	Tipus de mot	Estr. dur.	N	%	Tipus de mot	Estr. dur.	N	%
esd.	-			esd.	-	1	6	pla.	-	34	27	esd.	-			esd.	-		
	p*				p*	17	84		p*	5	21		p*	18	100				
	G*	24	100		G*	2	11		G*	19	79		G*	18	100				
pla.	-			pla.	-	2	11	agu.	-	4	3	pla.	-			pla.	-		
	p*				p*	16	89		p*	24	100		p*	1	6				
	G*	24	100		G*	2	11		G*	8	44		G*	17	94				
agu.	-			agu.	-	2	11	pla.	-	88	70	agu.	-			agu.	-		
	p*				p*	16	89		p*	2	11		p*	2	11				
	G*	24	100		G*	16	89		G*	16	89		G*	18	100				

Taula 4.29 - Sinopsi de la freqüència d'aparició (en termes absoluts i percentuals) de les estructures duratives profundes a les frases declaratives a la varietat d'Agrons per posició accentual i posició sintagmàtica.

S1				EXPI				S2				S3				EXP3			
Tipus de mot	Estr. dur.	N	%	Tipus de mot	Estr. dur.	N	%	Tipus de mot	Estr. dur.	N	%	Tipus de mot	Estr. dur.	N	%	Tipus de mot	Estr. dur.	N	%
esd.	-			esd.	-	2	11	pla.	-	25	20	esd.	-			esd.	-		
	p*				p*	16	89		p*	12	50		p*	24	100				
	G*	18	100		G*	2	11		G*	11	46		G*	12	50				
pla.	-			pla.	-	2	11	agu.	-	18	14	pla.	-			pla.	-		
	p*				p*	16	89		p*	24	100		p*	1	4				
	G*	24	100		G*	2	11		G*	8	44		G*	11	46				
agu.	-			agu.	-	2	11	pla.	-	83	66	agu.	-			agu.	-		
	p*				p*	16	89		p*	3	17		p*	9	50				
	G*	24	100		G*	16	89		G*	15	83		G*	9	50				

Taula 4.30 - Sinopsi de la freqüència d'aparició (en termes absoluts i percentuals) de les estructures duratives profundes a les frases interrogatives a la varietat d'Agrons per posició accentual i posició sintagmàtica.

S1				EXPI				S2				S3				EXP3							
Tipus de mot	Estr. dur.	N	%	Tipus de mot	Estr. dur.	N	%	Tipus de mot	Estr. dur.	N	%	Tipus de mot	Estr. dur.	N	%	Tipus de mot	Estr. dur.	N	%				
esd.	-			esd.	-	1	6	pla.	-	34	27	esd.	-			esd.	-						
	p*				p*	1	6		p*	1	1		p*				p*			p*			
	G*	24	100		G*	17	94		G*	91	72		G*	24	100		G*	18	100	G*	18	100	
pla.	-			pla.	-			agu.	-			pla.	-	1	4	agu.	-			pla.	-		
	p*				p*				p*				p*	23	96		p*				p*	1	6
	G*	24	100		G*				G*				G*	24	100		G*	17	94		G*	17	94
agu.	-			agu.	-			pla.	-			agu.	-			agu.	-			agu.	-		
	p*				p*				p*				p*				p*				p*		
	G*	24	100		G*	18	100		G*				G*				G*	1	6		G*	18	100

Taula 4.31 - Sinopsi de la freqüència d'aparició (en termes absoluts i percentuals) de les estructures duratives profundes a les frases declaratives a la varietat de Beivars per posició accentual i posició sintagmàtica.

S1				EXPI				S2				S3				EXP3							
Tipus de mot	Estr. dur.	N	%	Tipus de mot	Estr. dur.	N	%	Tipus de mot	Estr. dur.	N	%	Tipus de mot	Estr. dur.	N	%	Tipus de mot	Estr. dur.	N	%				
esd.	-			esd.	-	1	6	pla.	-	4	3	esd.	-			esd.	-						
	p*				p*	17	94		p*	2	2		p*	24	100		p*			p*			
	G*	24	100		G*	17	94		G*	120	95		G*	6	33		G*	18	100	G*	18	100	
pla.	-			pla.	-			agu.	-			pla.	-	6	33	agu.	-			pla.	-	1	6
	p*				p*				p*				p*	18	67		p*				p*	1	6
	G*	24	100		G*				G*				G*	18	67		G*	17	94		G*	17	94
agu.	-			agu.	-			pla.	-			agu.	-			agu.	-			agu.	-		
	p*				p*				p*				p*				p*				p*		
	G*	24	100		G*	18	100		G*				G*				G*	8	22		G*	18	100

Taula 4.32 - Sinopsi de la freqüència d'aparició (en termes absoluts i percentuals) de les estructures duratives profundes a les frases interrogatives a la varietat de Beivars per posició accentual i posició sintagmàtica.

S1				EXPI				S2				S3				EXP3			
Tipus de mot	Estr. dur.	N	%	Tipus de mot	Estr. dur.	N	%	Tipus de mot	Estr. dur.	N	%	Tipus de mot	Estr. dur.	N	%	Tipus de mot	Estr. dur.	N	%
esd.	-			p*				-				esd.	p*			-			
	G*	24	100		G*					G*	24		100	G*	24		100		
pla.	-			p*				-				pla.	p*			-			
	G*	24	100		G*					G*	24		100	G*	24		100		
agu.	-			p*				-				agu.	-	1	4	p*			
	G*	24	100		G*					G*	23		96	G*	23		96		
esd.	-	1	6	p*		4	22	-		32	25	esd.	-	1	6	p*			
	G*	17	94		G*	14	78		G*	91	72		G*	17	94		G*	18	100
pla.	-	4	22	p*				-		3	2	pla.	p*			-			
	G*	4	22		G*	18	100		G*	9	50		G*	9	50		G*	18	100
agu.	-			p*		1	6	-				agu.	-			p*			
	G*	14	78		G*	1	6		G*	18	100		G*	18	100		G*	18	100
esd.	-			p*				-				esd.	p*			-			
	G*	18	100		G*	16	88		G*	16	88		G*	18	100		G*	18	100

Taula 4.33 - Sinopsi de la freqüència d'aparició (en termes absoluts i percentuals) de les estructures duratives profundes a les frases declaratives a la varietat de Gradisca d'Isonzo per posició accentual i posició sintagmàtica.

S1				EXPI				S2				S3				EXP3			
Tipus de mot	Estr. dur.	N	%	Tipus de mot	Estr. dur.	N	%	Tipus de mot	Estr. dur.	N	%	Tipus de mot	Estr. dur.	N	%	Tipus de mot	Estr. dur.	N	%
esd.	-			p*				-				esd.	p*			-			
	G*	24	100		G*					G*	24		100	G*	24		100		
pla.	-	1	4	p*				-				pla.	p*	13	54	-			
	G*	23	96		G*	23	96		G*	10	42		G*	10	42				
agu.	-			p*				-				agu.	-			p*			
	G*	24	100		G*					G*	24		100	G*	24		100		
esd.	-	2	11	p*				-		8	6	esd.	-	4	22	p*		1	6
	G*	16	89		G*	18	100		G*	118	94		G*	14	78		G*	17	94
pla.	-	8	44	p*				-				pla.	p*	9	50	-		8	44
	G*	10	56		G*	18	100		G*	9	50		G*	9	50		G*	10	56
agu.	-	5	28	p*		2	11	-				agu.	-			p*			
	G*	13	72		G*	2	11		G*	18	100		G*	18	100		G*	18	100

Taula 4.34 - Sinopsi de la freqüència d'aparició (en termes absoluts i percentuals) de les estructures duratives profundes a les frases interrogatives a la varietat de Gradisca d'Isonzo per posició accentual i posició sintagmàtica.

S1				EXPI				S2				S3				EXP3										
Tipus de mot	Estr. dur.	N	%	Tipus de mot	Estr. dur.	N	%	Tipus de mot	Estr. dur.	N	%	Tipus de mot	Estr. dur.	N	%	Tipus de mot	Estr. dur.	N	%							
esd.	-			esd.	-			pla.	-	1	1	esd.	-			esd.	-									
	p*				p*				p*				p*				p*			p*						
	G*	24	100		G*	18	100		G*	125	99		G*	24	100		G*	18	100	G*	18	100				
pla.	-			pla.	-			esd.	-			pla.	-			pla.	-			esd.	-					
	p*				p*				p*				p*				p*				p*			p*		
	G*	24	100		G*	18	100		G*	17	94		G*	24	100		G*	17	94		G*	18	100	G*	18	100
agu.	-			agu.	-			agu.	-			agu.	-			agu.	-			agu.	-					
	p*				p*	1	6		p*	1	6		p*				p*	1	6		p*			p*		
	G*	24	100		G*	16	88		G*	1	6		G*	17	94		G*	1	6		G*	18	100	G*	18	100

Taula 4.35 - Sinopsi de la freqüència d'aparició (en termes absoluts i percentuals) de les estructures duratives profundes a les frases declaratives a la varietat de Tesis per posició accentual i posició sintagmàtica.

S1				EXPI				S2				S3				EXP3							
Tipus de mot	Estr. dur.	N	%	Tipus de mot	Estr. dur.	N	%	Tipus de mot	Estr. dur.	N	%	Tipus de mot	Estr. dur.	N	%	Tipus de mot	Estr. dur.	N	%				
esd.	-			esd.	-			pla.	-			esd.	-			esd.	-						
	p*				p*				p*				p*				p*			p*			
	G*	24	100		G*	18	100		G*	126	100		G*	24	100		G*	18	100	G*	18	100	
pla.	-			pla.	-			esd.	-			pla.	-			pla.	-			esd.	-		
	p*				p*				p*				p*	2	8		p*				p*	2	11
	G*	24	100		G*	18	100		G*	17	92		G*	22	92		G*	16	89		G*	16	89
agu.	-			agu.	-			agu.	-			agu.	-			agu.	-			agu.	-		
	p*				p*	2	11		p*	1	6		p*				p*				p*		
	G*	24	100		G*	16	89		G*	1	6		G*	17	94		G*	18	100		G*	18	100

Taula 4.36 - Sinopsi de la freqüència d'aparició (en termes absoluts i percentuals) de les estructures duratives profundes a les frases declaratives a la varietat de Tesis per posició accentual i posició sintagmàtica.

4.3. Anàlisi d'F0

En aquesta secció es descriuran i es discutiran els resultats de l'anàlisi d'F0. En primer lloc (Secció 4.3.1.) es compararan els valors mitjans d'F0 a tots quatre punts d'enquesta. A continuació (Secció 4.3.2. i 4.3.3.) es presentaran les estructures entonatives superficials i profundes per a cada punt d'enquesta separatament, per tal de poder destacar millor les diferències interdialectals.

4.3.1. Valors mitjans d'F0

El valor mitjà general d'F0, tal com es pot observar a la Taula 4.37, permet de destacar a més d'una diferència òbvia deguda al sexe (en el sentit que les veus femenines són més agudes que les masculines), també una diferència relacionada amb la modalitat oracional i el punt d'enquesta: mentre a Agrons, Gradisca i Tesis la F0 mitjana de les interrogatives és superior a la de les declaratives, a Beivars els dos valors són del mateix rang en el cas de la informant femenina (205 Hz a totes dues modalitats oracionals) i, en el cas de l'informant masculí, s'inverteix la tendència (l'F0 mitjana a les declaratives és superior que a les interrogatives). Aquesta diferència entre dialectes, tal com es veurà més endavant, es deu al fet que a la varietat de Beivars el tonema de les declaratives presenta una pujada acusada d'F0, que no es dona als altres punts d'enquesta.

Punt d'enquesta	Sexe	Modalitat	
		Declarativa	Interrogativa
Agrons	♀	161 (5)	179 (8)
	♂	91 (3)	117 (4)
Beivars	♀	205 (5)	205 (5)
	♂	118 (5)	110 (4)
Gradisca	♀	177 (7)	193 (9)
	♂	112 (5)	124 (5)
Tesis	♀	184 (7)	190 (5)
	♂	111 (3)	119 (2)

Taula 4.37 - Valors mitjans d'F0 (en Hz) a les frases declaratives i interrogatives amb desviació estàndard (entre parèntesis) per punt d'enquesta i sexe de l'informant.

Si es diferencia la mitjana dels valors d'F0 al centre de cada vocal per punt d'enquesta, informant, modalitat oracional i posició sintagmàtiques (Taules 4.38 i 4.39), es pot notar en primer lloc que el valor inicial absolut d'F0 sempre és lleugerament més superior a les interrogatives que a les declaratives, a tots els punts d'enquesta i per a tots els informants. Tot i això, aquesta diferència és força reduïda (només en el cas de dos informants supera, per poc, el llindar d'1,5 st) i, per tant, es pot hipotetitzar que en ella mateixa no permet una distinció perceptiva entre les dues modalitats oracionals. Aquesta hipòtesi es discutirà a partir dels resultats de l'etiquetatge entonatiu profund que es presenta a la Secció 4.3.3.

4.3.1.1. Declaratives a Agrons

A partir dels valors mitjans d'F0 es pot descriure la corba entonativa de les declaratives d'Agrons (Taula 4.38) com a la successió de: a) un to inicial que se situa a la gamma baixa de l'informant; b) un accent ascendent amb el pic a la posttònica associat a l'S1 (i, en cas de presència d'EXP1, com a un *plateau* baix associat a l'S1 i un accent ascendent amb el pic a la posttònica associat a l'EXP1); c) una baixada que culmina a la vocal tònica d'S2, seguida per una lleugera pujada a la vocal posttònica; d) una caiguda important entre la pretònica i la tònica d'S3 (i, en cas de presència d'EXP3, una caiguda entre la pretònica i la tònica d'S3 seguida d'una altra caiguda entre la pretònica i la tònica d'EXP3); i e) al final de l'oració F0 es manté al mateix nivell baix a què havia arribat a l'última vocal tònica.

Per tant, si es volgués representar gràficament aquesta línia melòdica, es podria fer servir un esquema com el que es presenta a la Figura 4.1, on cada rectangle representa una síl·laba i cada successió de 3 rectangles indica la posició pretònica, tònica i posttònica, respectivament, d'esquerra a dreta.

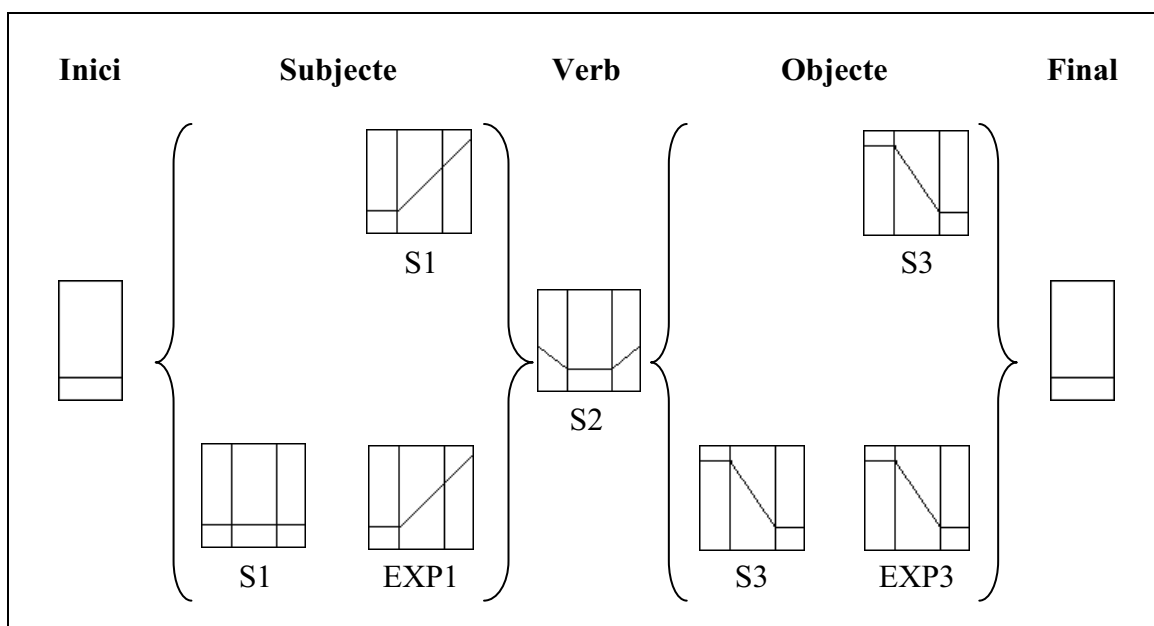


Figura 4.1 – Representació esquemàtica de la corba d'F0 a les frases declaratives d'Agrons.

4.3.1.2. Interrogatives a Agrons

L'anàlisi dels valors mitjans d'F0 suggereix que la corba entonativa de les interrogatives d'Agrons (Taula 4.39) es pot resumir com a la successió de: a) un to inicial que se situa a la gamma baixa de l'informant; b) una baixada tonal a l'S1, entre la vocal tònica i la posttònica (i, en cas de presència d'EXP1, com a una pujada al llarg d'S1 seguida d'una baixada entre la tònica i la posttònica d'EXP1); c) una pujada d'F0 que acaba aparentment a la vocal posttònica d'S2¹; d) un *plateau* tonal baix a la pretònica i tònica l'S3 seguit d'una lleugera pujada a la posttònica (i, en cas de presència d'EXP3, un *plateau* tonal baix a l'S3 seguit d'un altre *plateau* baix a l'EXP3 amb una lleugera pujada al final de la mateixa); i e) l'enunciat finalitza amb una pujada tonal molt marcada.

Per tant, si es volgués representar gràficament aquesta línia melòdica, es podria fer servir un esquema com el que es presenta a la Figura 4.2.

¹ En realitat, tot i sent el valor mitjà d'F0 al centre de la vocal tònica més baix que al centre de la posttònica, una anàlisi més detallada portada a terme mitjançant les fórmules descrites al Capítol 3 permetrà trobar que F0 arriba al seu màxim al final de la vocal tònica.

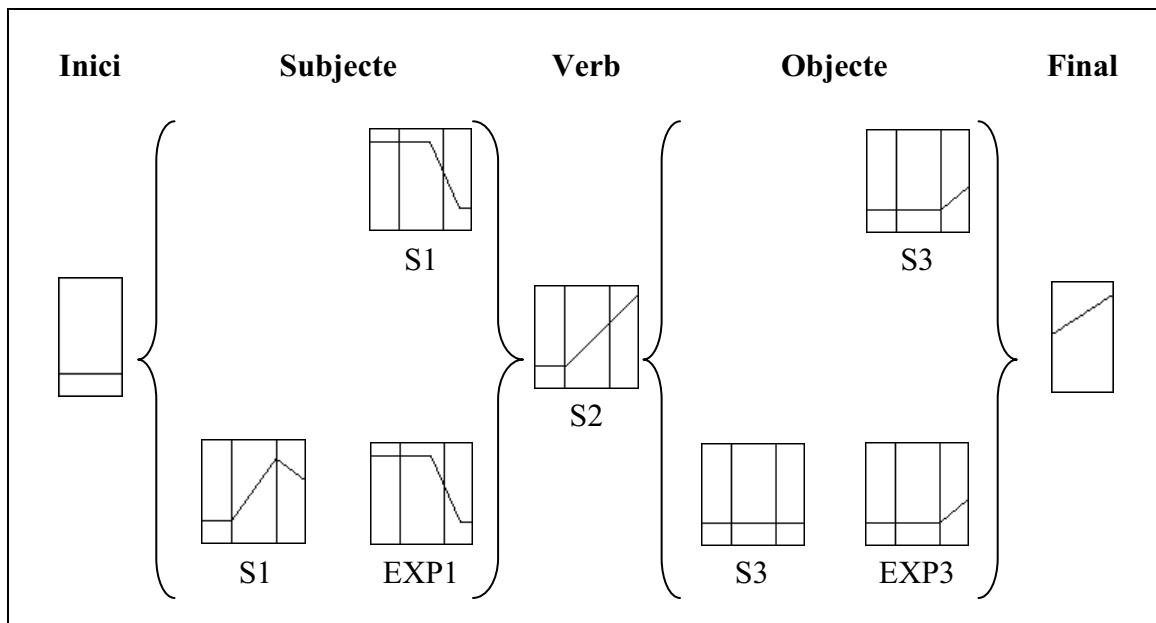


Figura 4.2 – Representació esquemàtica de la corba d’F0 a les frases interrogatives d’Agrons.

4.3.1.3. Declaratives a Beivars

A partir dels valors mitjans d’F0 es pot descriure la corba entonativa de les declaratives de Beivars (Taula 4.38) com a la successió de: a) un to inicial que se situa a la gamma baixa de l’informant; b) un accent ascendent amb el pic a la posttònica associat a l’S1 (i, en cas de presència d’EXP1, una pujada inicial que arriba al màxim a la vocal tònica del S1 seguida, a l’EXP1, per una pujada amb el pic a la posttònica); c) una baixada de la pretònica a la tònica d’S2, seguida per una pujada entre la tònica i la posttònica; d) una caiguda important entre la pretònica i la tònica d’S3 (i, en cas de presència d’EXP3, una baixada de la pretònica a la tònica d’S3, seguida per una pujada entre la tònica i la posttònica i, a continuació, una caiguda tonal important entre la pretònica i la tònica de l’S3 seguida per una lleugera pujada a la posttònica); i e) l’enunciat finalitza amb una pujada tonal marcada (de mitjana, entre l’última vocal tònica i el final de la frase hi ha uns 3,5 st), tot i que no arriba a ser tan significativa com la que es nota al final de les frases interrogatives del mateix poble (on de mitjana la pujada és d’uns 5,5 st). La presència d’un to final ascendent a les declaratives neutres és una característica que

sembla allunyar aquesta varietat d'altres dialectes del friülà i de la majoria de llengües romàniques. Al Capítol 5 discutirem si aquesta pujada final és realment fonològica.

Per tant, si es volgués representar gràficament aquesta línia melòdica, es podria fer servir un esquema com el que es presenta a la Figura 4.3.

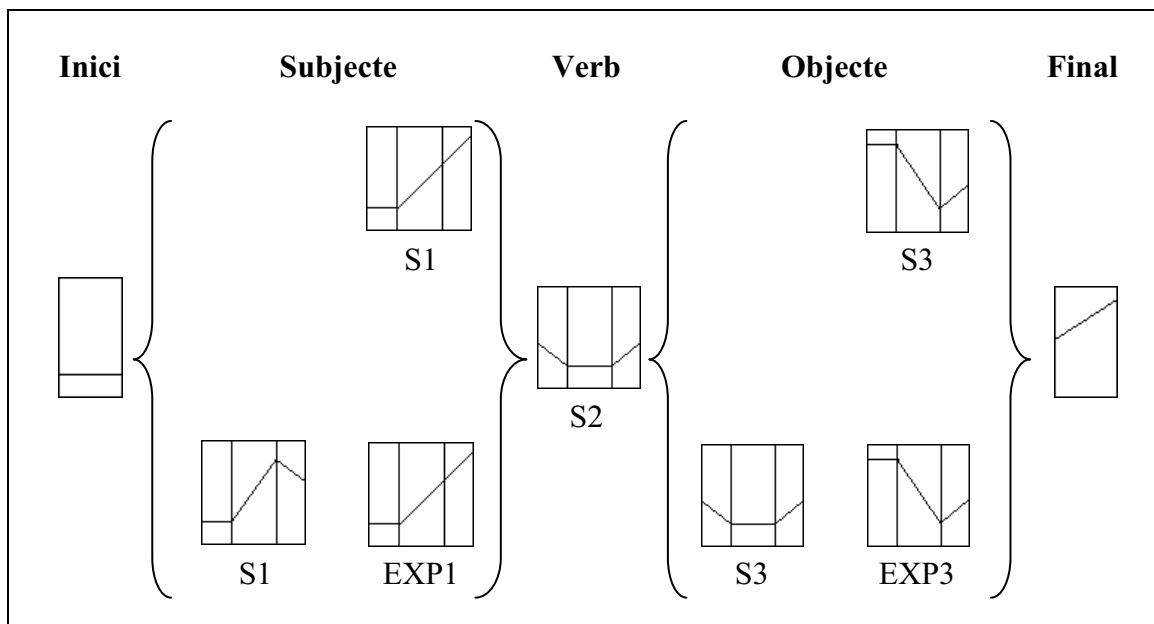


Figura 4.3 – Representació esquemàtica de la corba d'F0 a les frases declaratives de Beivars.

4.3.1.4. Interrogatives a Beivars

L'anàlisi dels valors mitjans d'F0 suggereix que la corba entonativa de les interrogatives de Beivars (Taula 4.39) es pot resumir com a la successió de: a) un to inicial que se situa a la gamma baixa de l'informant; b) una baixada tonal a l'S1, entre la vocal tònica i la posttònica (i, en cas de presència d'EXP1, com a una pujada al llarg d'S1 seguida d'una baixada que acaba a la posttònica d'EXP1); c) una pujada d'F0 que acaba a la vocal posttònica d'S2; d) un *plateau* tonal baix a la pretònica i tònica l'S3 seguit d'una lleugera pujada a la posttònica (i, en cas de presència d'EXP3, un *plateau* tonal baix a l'S3 que continua a la pretònica i tònica d'EXP3, seguit per una lleugera pujada al final de la mateixa); i e) l'enunciat finalitza amb una pujada tonal molt marcada.

Per tant, si es volgués representar gràficament aquesta línia melòdica, es podria fer servir un esquema com el que es presenta a la Figura 4.4.

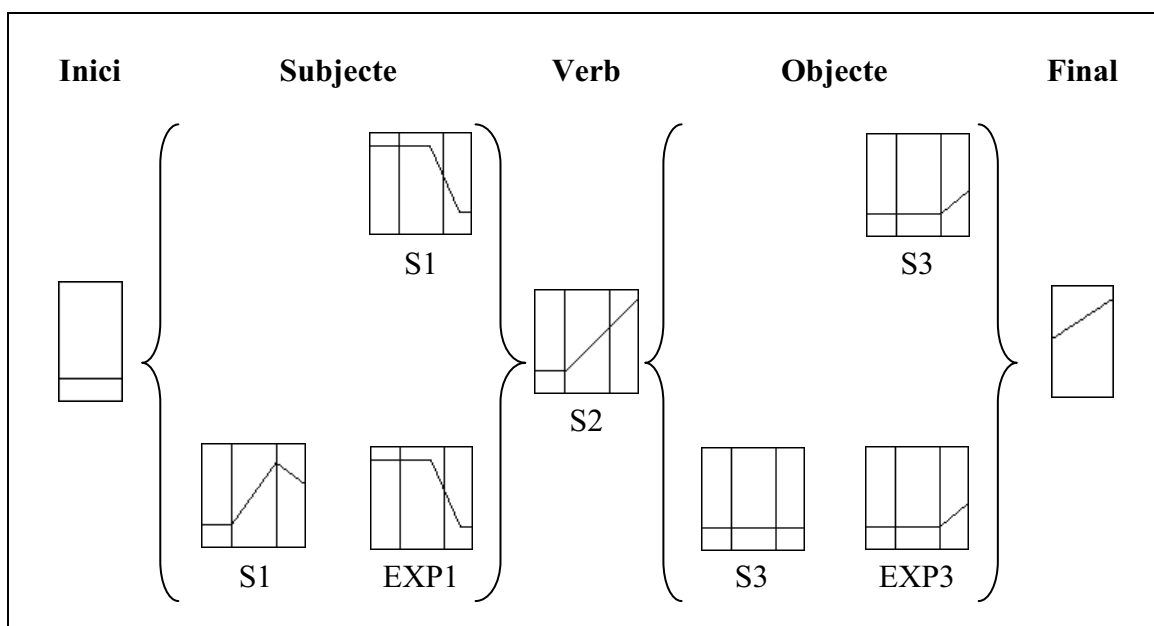


Figura 4.4 – Representació esquemàtica de la corba d’F0 a les frases interrogatives de Beivars.

4.3.1.5. Declaratives a Gradisca d’Isonzo

Es pot descriure la corba entonativa de les declaratives de Gradisca d’Isonzo a partir dels valors mitjans d’F0 (Taula 4.38) com a la successió de: a) un to inicial que se situa a la gamma baixa de l’informant; b) una pujada a l’S1 amb el pic a la síl·laba tònica² (i, en cas de presència d’EXP1, una pujada a l’S1 amb el pic a la síl·laba tònica seguida, a l’EXP1, d’una pujada amb el pic a la posttònica); c) una baixada de la pretònica a la tònica d’S2, seguida per una pujada entre la tònica i la posttònica; d) una caiguda important entre la pretònica i la tònica d’S3 (i, en cas de presència d’EXP3, una baixada de la pretònica a la tònica d’S3, seguida per una pujada entre la tònica i la posttònica i, a continuació, una caiguda tonal important entre la pretònica i la tònica de l’S3 seguida per una lleugera pujada a la posttònica); i e) l’enunciat finalitza amb una pujada tonal marcada, encara que menys de la que es troba a les frases declaratives de Beivars (de

² En realitat, tal com es veurà més endavant, caldrà distingir entre frases amb tres accents tonals (en què el patró a l’S1 és L*+H) i les frases amb quatre accents tonals, a les quals el patró del S1 és sempre L+H*, independentment de la presència o no d’EXP1).

mitjana, entre l'última vocal tònica i el final de la frase hi ha aproximadament 2 st). Tal com s'ha vist en el cas de Beivars, aquesta pujada final no arriba a ser tan significativa com la que es nota al final de les frases interrogatives (que, de mitjana, tenen una pujada d'uns 8 st). Al Capítol 5 discutirem si aquesta pujada final és realment fonològica.

Per tant, si es volgués representar gràficament aquesta línia melòdica, es podria fer servir un esquema com el que es presenta a la Figura 4.5.

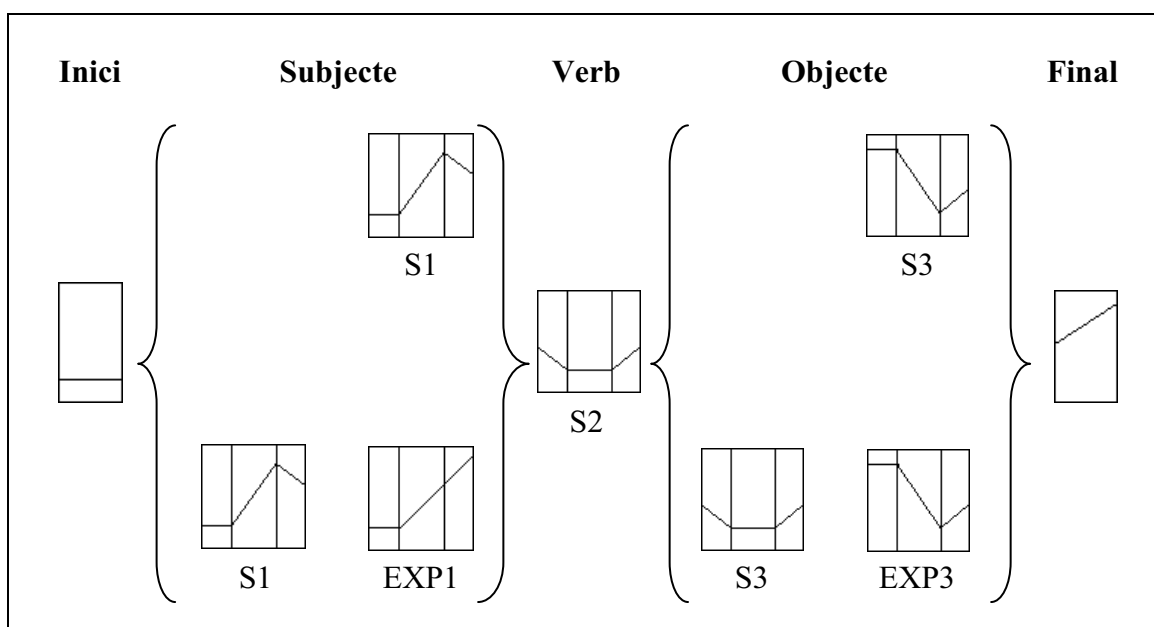


Figura 4.5 – Representació esquemàtica de la corba d'F0 a les frases declaratives de Gradisca.

4.3.1.6. Interrogatives a Gradisca d'Isonzo

L'anàlisi dels valors mitjans d'F0 suggereix que la corba entonativa de les interrogatives de Gradisca (Taula 4.39) es pot resumir com a la successió de: a) un to inicial que se situa a la gamma baixa de l'informant; b) una baixada tonal a l'S1, entre la vocal tònica i la posttònica (i, en cas de presència d'EXP1, com a una pujada al llarg d'S1 seguida d'una baixada que acaba a la posttònica d'EXP1), c) una pujada d'F0 que acaba a la vocal posttònica d'S2; d) un *plateau* tonal baix a la pretònica i tònica l'S3 seguit d'una lleugera pujada a la posttònica (i, en cas de presència d'EXP3, un *plateau* tonal baix a l'S3 que continua a la pretònica i tònica d'EXP3, seguit per una lleugera

pujada al final de la mateixa); i e) l'enunciat finalitza amb una pujada tonal molt marcada.

Per tant, si es volgués representar gràficament aquesta línia melòdica, es podria fer servir un esquema com el que es presenta a la Figura 4.6.

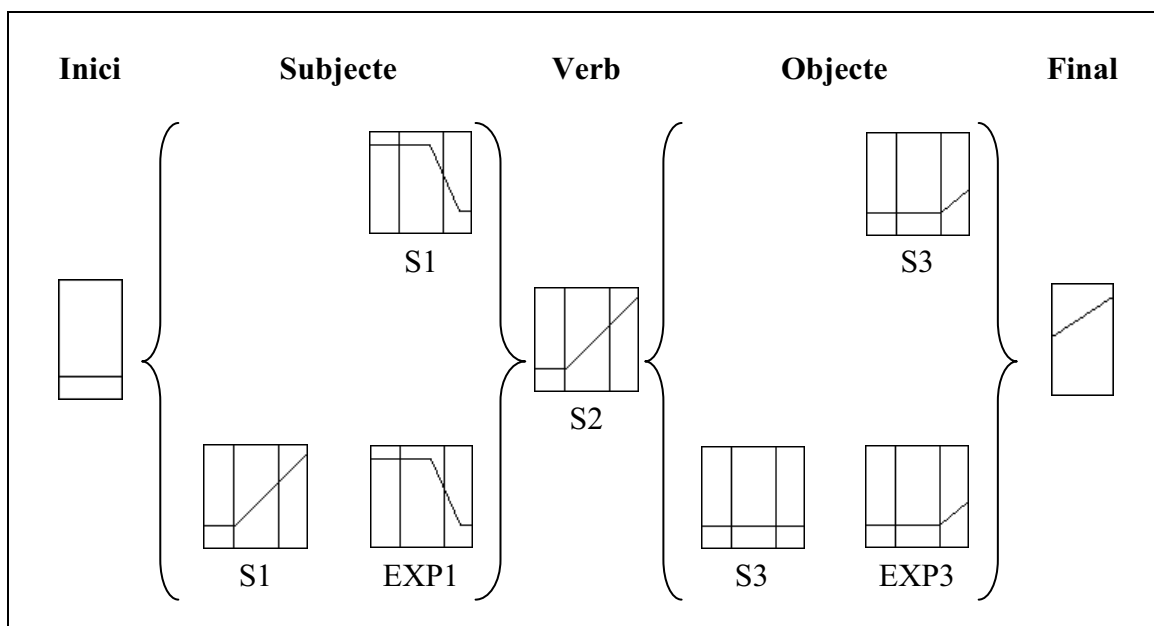


Figura 4.6– Representació esquemàtica de la corba d'F0 a les frases interrogatives de Gradisca.

4.3.1.7. Declaratives a Tesis

A partir dels valors mitjans d'F0 es pot descriure la corba entonativa de les declaratives de Tesis (Taula 4.38) com a la successió de: a) un to inicial que se situa a la gamma baixa de l'informant; b) pel que fa a l'S1, una pujada tonal amb el pic a la síl·laba posttònica en el cas de l'informant masculí i, en el cas de la informant femenina, almenys aparentment, una pujada amb el pic a la tònica³ (i, en cas de presència d'EXP1, una pujada d'F0 que acaba al final de la vocal tònica del S1 seguida, a l'EXP1, d'una pujada amb el pic a la posttònica), c) una baixada de la pretònica a la tònica d'S2,

³ En realitat, en aquest cas els valors mitjans d'F0 són enganyosos, ja que una anàlisi més detallada com la que es realitzarà més endavant, permetrà destacar que a l'S1 de les frases de la informant femenina s'alternen dos patrons, el primer dels quals coincideix amb el que emprava l'informant masculí i l'altre consisteix en una baixada tonal que s'acaba a la vocal posttònica.

seguida per una pujada lleu entre la tònica i la posttònica; d) una caiguda important entre la pretònica i la tònica d'S3 (i, en cas de presència d'EXP3, una baixada de la pretònica a la tònica d'S3, seguida per una pujada lleu entre la tònica i la posttònica i, a continuació, una caiguda tonal entre la pretònica i la tònica d'EXP3); i e) al final de l'oració F0 es manté al mateix nivell baix a què havia arribat a l'última vocal tònica.

Per tant, si es volgués representar gràficament aquesta línia melòdica, es podria fer servir un esquema com el que es presenta a la Figura 4.7.

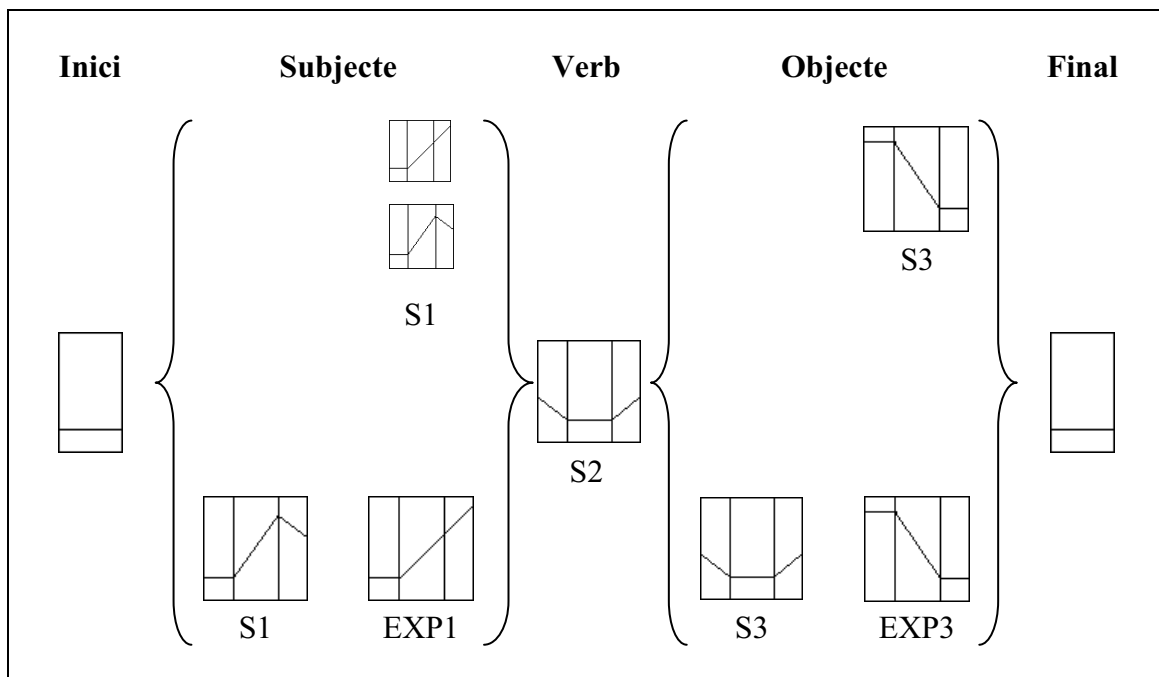


Figura 4.7 – Representació esquemàtica de la corba d'F0 a les frases declaratives de Tesis.

4.3.1.8. Interrogatives a Tesis

Tal com es dedueix de l'anàlisi dels valors mitjans d'F0, la corba entonativa de les interrogatives de Tesis (Taula 4.39) es pot resumir com a la successió de: a) un to inicial que se situa a la gamma baixa de l'informant; b) a l'S1 una baixada d'F0 de la vocal tònica a la posttònica (i, en cas de presència d'EXP1, una pujada d'F0 que arriba al màxim a la vocal tònica del S1 i, a l'EXP1, una baixada que acaba a la posttònica); c)

una pujada d’F0 que acaba aparentment a la vocal posttònica d’S2⁴; d) un *plateau* tonal baix a la pretònica i tònica l’S3 seguit d’una lleugera pujada a la posttònica (i, en cas de presència d’EXP3, un *plateau* tonal baix a l’S3 que continua a la pretònica i tònica d’EXP3, seguit d’una lleugera pujada al final de la mateixa); i e) l’enunciat finalitza amb una pujada tonal molt marcada.

Per tant, si es volgués representar gràficament aquesta línia melòdica, es podria fer servir un esquema com el que es presenta a la Figura 4.8.

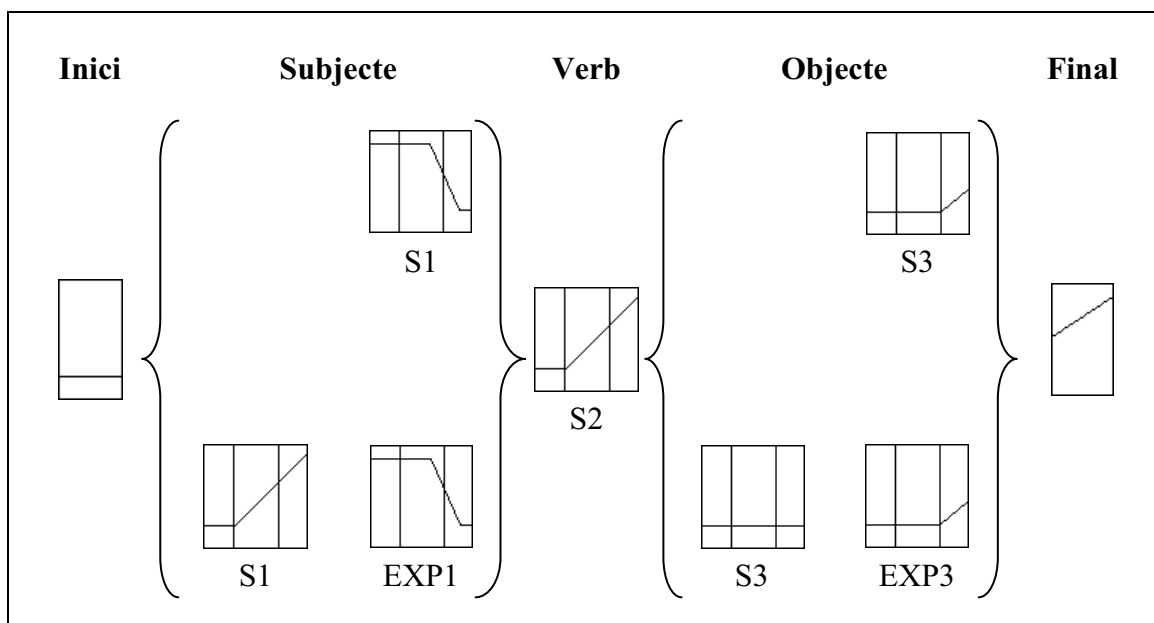


Figura 4.8 – Representació esquemàtica de la corba d’F0 a les frases interrogatives de Tesis.

Finalment, la Taula 4.40, que presenta els valors mitjans d’F0 al final de la frase distingint si el tonema és esdrúixol, pla i agut, destaca que la freqüència fonamental arriba al mateix nivell independentment de la posició del l’accent lèxic a l’última paraula de l’enunciat. Això implica que la pujada final que caracteritza les interrogatives de tots els punts d’enquesta, com també les declaratives de Beivars i Gradisca, serà més ràpida a les planes que a les esdrúixoles i a més les agudes que a les planes.

⁴ Tal com en el cas de l’S2 a les interrogatives d’Agrons, tot i sent el valor mitjà d’F0 al centre de la vocal tònica més baix que al centre de la posttònica, una anàlisi més detallada portada a terme mitjançant les fórmules descrites al Capítol 3 permetrà trobar que F0 arriba al seu màxim al final de la vocal tònica.

INICI ABSOLUT				S1					EXPI					S2					S3					EXP3					FINAL ABSOLUT			
Punt d'en.	Sex.	Ini.		Punt d'en.	Sex.	Pret.	Tòn.	Post.	Pret.	Tòn.	Post.	Punt d'en.	Sex.	Pret.	Tòn.	Post.	Punt d'en.	Sex.	Pret.	Tòn.	Post.	Punt d'en.	Sex.	Pret.	Tòn.	Post.	Punt d'en.	Sex.	Final			
Agrons	♀	163		162	♂	171	191		162	♂	180	211		161	♂	135	126		162	♂	178	207		161	♂	135	126		126			
	♂	(5)		(4)	♀	(7)	(8)		(6)	♀	(10)	(13)		(6)	♀	(6)	(7)		(6)	♀	(10)	(15)		(6)	♀	(6)	(7)		(6)			
Beivars	♀	185		193	♂	213	228		197	♂	203	243		225	♂	161	183		202	♂	174	220		225	♂	161	183		202			
	♂	(6)		(4)	♀	(9)	(14)		(6)	♀	(13)	(18)		(10)	♀	(5)	(10)		(8)	♀	(10)	(15)		(11)	♀	(7)	(22)		(8)			
Gradisca	♀	174		187	♂	188	179		166	♂	177	227		185	♂	140	148		162	♂	178	207		185	♂	140	148		162			
	♂	(15)		(10)	♀	(11)	(18)		(8)	♀	(9)	(11)		(6)	♀	(7)	(7)		(7)	♀	(6)	(9)		(6)	♀	(7)	(7)		(7)			
Tesis	♀	109		112	♂	117	123		113	♂	114	127		190	♂	156	142		142	♂	178	207		190	♂	156	142		142			
	♂	(4)		(4)	♀	(6)	(9)		(5)	♀	(8)	(8)		(4)	♀	(4)	(3)		(4)	♀	(4)	(3)		(4)	♀	(4)	(3)		(4)			

Taula 4.38 - Valors mitjans d'F0 (en Hz) amb desviació estàndard (entre parèntesis) per punt d'enquesta, sexe de l'informant, posició sintagmàtica i posició vocàlica (pretònica, tònica, postònica) a la modalitat declarativa.

INICI ABSOLUT				S1					EXPI					S2					S3					EXP3					FINAL ABSOLUT			
Punt d'en.	Sex.	Ini.		Punt d'en.	Sex.	Pret.	Tòn.	Post.	Pret.	Tòn.	Post.	Punt d'en.	Sex.	Pret.	Tòn.	Post.	Punt d'en.	Sex.	Pret.	Tòn.	Post.	Punt d'en.	Sex.	Pret.	Tòn.	Post.	Punt d'en.	Sex.	Final			
Agrons	♀	172		195	♂	174	159		163	♂	159	149		151	♂	154	163		155	♂	137	176		151	♂	154	163		208			
	♂	(8)		(12)	♀	(21)	(14)		(8)	♀	(14)	(8)		(7)	♀	(11)	(21)		(16)	♀	(11)	(10)		(7)	♀	(11)	(21)		(16)			
Beivars	♀	101		124	♂	117	101		101	♂	137	143		104	♂	104	109		106	♂	111	110		104	♂	104	109		145			
	♂	(9)		(14)	♀	(10)	(8)		(6)	♀	(7)	(7)		(7)	♀	(7)	(10)		(10)	♀	(7)	(7)		(7)	♀	(7)	(10)		(10)			
Gradisca	♀	96		114	♂	111	91		92	♂	99	118		114	♂	111	109		96	♂	106	110		114	♂	111	109		134			
	♂	(20)		(9)	♀	(8)	(4)		(8)	♀	(8)	(4)		(6)	♀	(6)	(6)		(6)	♀	(6)	(6)		(6)	♀	(6)	(6)		(6)			
Tesis	♀	195		224	♂	212	182		182	♂	180	211		182	♂	145	190		154	♂	155	175		182	♂	145	190		241			
	♂	(4)		(4)	♀	(4)	(3)		(3)	♀	(3)	(4)		(3)	♀	(3)	(3)		(3)	♀	(3)	(3)		(3)	♀	(3)	(3)		(3)			

Taula 4.39 - Valors mitjans d'F0 (en Hz) amb desviació estàndard (entre parèntesis) per punt d'enquesta, sexe de l'informant, posició sintagmàtica i posició vocàlica (pretònica, tònica, postònica) a la modalitat interrogativa.

Punt d'enquesta	Sexe	Posició accentual	Modalitat			
			Declarativa		Interrogativa	
			Sense EXP3	Amb EXP3	Sense EXP3	Amb EXP3
Agrons	♀	esdrúixola	127	126	213	209
		plana	127	123	211	205
		aguda	129	120	202	207
	♂	esdrúixola	67	69	154	142
		plana	67	70	148	145
		aguda	66	68	141	142
Beivars	♀	esdrúixola	198	203	215	221
		plana	212	204	233	228
		aguda	199	196	217	232
	♂	esdrúixola	107	104	119	120
		plana	109	106	125	120
		aguda	115	115	126	132
Gradisca	♀	esdrúixola	164	162	236	250
		plana	166	162	251	231
		aguda	163	155	234	241
	♂	esdrúixola	107	107	143	164
		plana	106	105	150	157
		aguda	108	108	159	159
Tesis	♀	esdrúixola	146	149	208	203
		plana	143	140	200	187
		aguda	136	134	211	194
	♂	esdrúixola	94	96	134	138
		plana	93	91	135	134
		aguda	89	90	134	126

Taula 4.40 - Valors mitjans d'F0 (en Hz) al final absolut de les frases declaratives i interrogatives per punt d'enquesta, sexe de l'informant, posició accentual (esdrúixola, plana, aguda) i presència o no d'EXP3.

4.3.2. Taxonomia de les estructures entonatives superficials

L'aplicació de les fórmules que s'han descrit al Capítol 3 permet de calcular les estructures entonatives superficials, és a dir, adherents a la realitat fonètica, per a cada frontera i cada accent lèxic. Aquests càlculs són més detallats que les observacions que s'han pogut extreure a partir dels valors mitjans d' F_0 perquè a) tenen en compte els límits psicoacústics de significativitat; i b) tenen en compte, a més dels valors d' F_0 en el punt central de cada vocal, també els valors del mateix paràmetre al començament i al final de les vocals mateixes. Als apartats següents, es presenten els resultats d'aquests càlculs per a cada punt d'enquesta i cada modalitat.

Per a cada modalitat oracional, en cada punt d'enquesta es descriu el patró majoritari de les frases. On calgui, se subratllaran les diferències, aparents o reals, degudes a la posició accentual. Aquestes diferències degudes a la posició de l'accent lèxic s'esmentaran en els paràgrafs següents a mesura que vagin emergint i es discutiran, totes plegades, a l'apartat 4.3.3.5.

4.3.2.1. Taxonomia de les estructures entonatives superficials del dialecte d'Agrons

A partir de les estructures entonatives superficials es pot descriure la corba entonativa de les declaratives d'Agrons (Taula 4.41⁵) com a la successió de: a) un to de frontera inicial baix (%L); b) un accent baix a la tònica seguit per una pujada a la posttònica (és a dir, L^*+H) associat a l'S1 (i, en cas de presència d'EXP1, com a un accent baix -és a dir, L^*- associat a l'S1 i un accent ascendent amb el pic a la posttònica o a la tònica -és a dir, L^*+H o $L+H^*-$ associat a l'EXP1); c) cap frontera entonativa intermèdia al final del subjecte; d) un moviment tonal caracteritzat per una baixada des del pic anterior seguida per una pujada menys marcada (és a dir, $H+(L^*+!H)$) associat a l'S2; e) un accent descendent amb el pic a la síl·laba pretònica (és a dir, $H+L^*$) associat a l'S3 (i, en cas de presència d'EXP3, un moviment tonal caracteritzat per una baixada des del pic anterior seguida per una pujada menys marcada (és a dir, $H+(L^*+!H)$) associat a l'S3 seguit d'un accent descendent des de la pretònica -és a dir, $H+L^*-$ a l'EXP3); i f) un to de frontera final baix.

⁵ Les Taules de la 4.41 fins a la 4.56 estan contingudes també, en un format més gran i de lectura més fàcil, a l'Annex "C1".

Pel que fa al to de frontera final, de cara a les consideracions que es desenvoluparan a l'apartat 5.1.4.3.2, és oportú subratllar que, tot i que en la majoria dels casos es realitza com a un to baix, en un cas es nota una pujada final que arriba a passar el llindar de significativitat psicoacústica.

Cal destacar que la posició de l'accent a l'interior del mot té un efecte fonètic a l'última paraula del sintagma amb funció de subjecte. De fet, si l'últim mot del subjecte és esdrúixol o pla, l'estructura superficial predominant és L^*+H , mentre si és agut preval $L+H^*$. Pel que fa a la frontera intermèdia, aquesta sembla ser present només en el cas de les paraules planes. En realitat, en aquest cas tampoc es pot parlar, de fet, de frontera intermèdia, ja que el pic tonal al final de la síl·laba posttònica es deu a l'accent tonal anterior i no pas a l'existència d'una diana tonal associada pròpiament amb el final del mot.

Per tant, si es volgués representar gràficament aquesta línia melòdica a partir de les modes estadístiques, es podria fer servir un esquema com el que es presenta a la Figura 4.9, on cada rectangle representa una síl·laba.

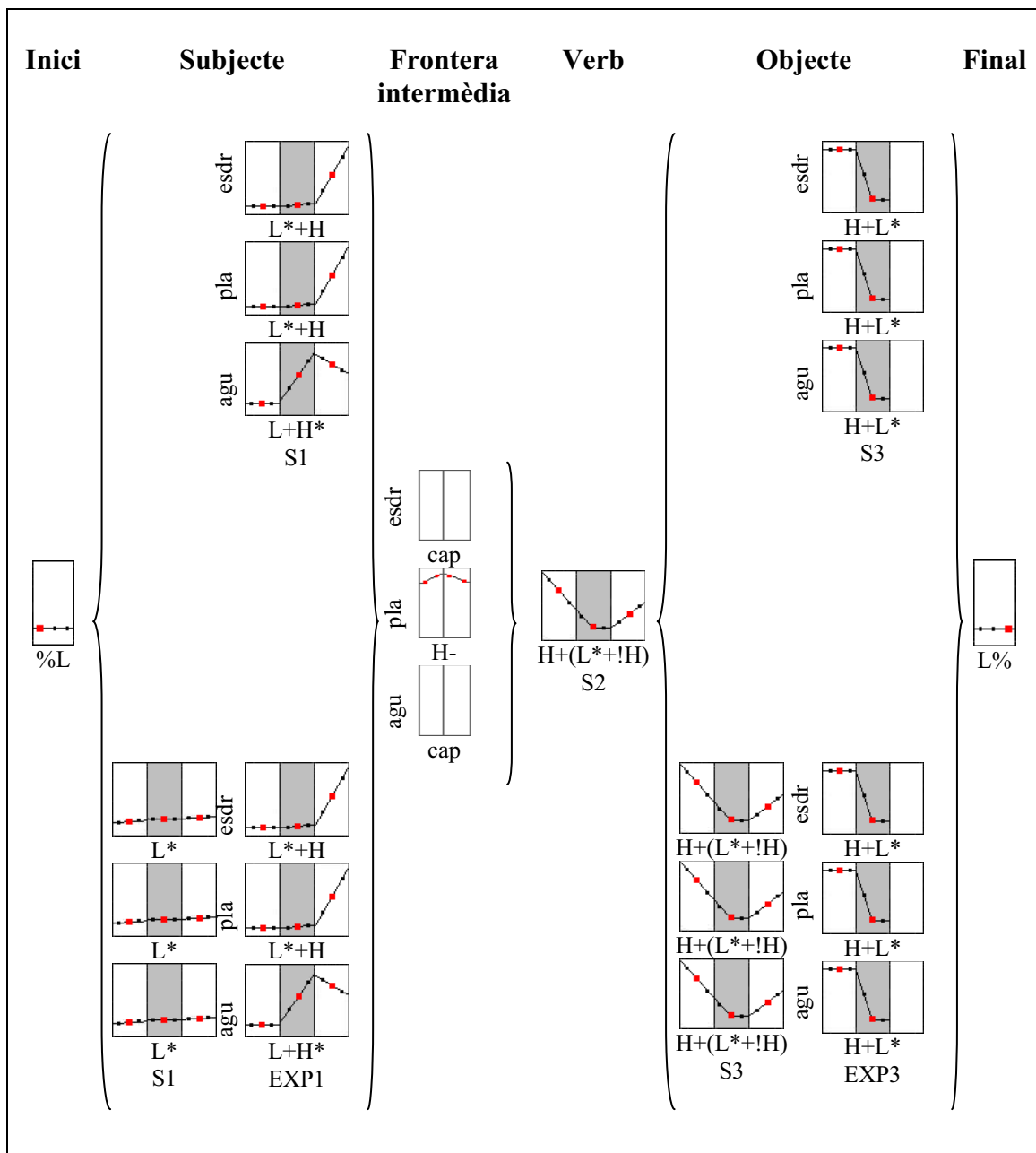


Figura 4.9 – Representació esquemàtica de les estructures superficials d’F0 a les frases declaratives d’Agrons.

Frontera inicial				S1				EXP1				Frontera intermèdia				S2				S3				EXP3				Frontera final			
Tipus de mot	Enton.	N	%	Tipus de mot	Enton.	N	%	Tipus de mot	Enton.	N	%	Tipus de mot	Enton.	N	%	Tipus de mot	Enton.	N	%	Tipus de mot	Enton.	N	%	Tipus de mot	Enton.	N	%	Tipus de mot	Enton.	N	%
col				col				col				col				col				col				col				col			
ph				ph				ph				ph				ph				ph				ph				ph			
ap				ap				ap				ap				ap				ap				ap				ap			

Taula 4.41- Sinopsi de la freqüència d'aparició (en termes absoluts i percentuals) de les estructures entonatives superficials a les frases declaratives a la varietat d'Agrons per posició accentual i posició sintagmàtica.

La corba entonativa de les interrogatives d'Agrons es pot descriure a partir de les estructures entonatives superficials (Taula 4.42) com a la successió de: a) un to de frontera inicial baix (%L); b) un accent descendent (és a dir, o H^*+L o $H+L^*$, segons la posició de l'accent lèxic) associat a l'S1 (i, en cas de presència d'EXP1, com a un accent ascendent en què el moviment tonal més important té lloc entre la síl·laba pretònica i la tònica -és a dir, $L+H^*$ o $L+(H^*+H)$, segons la posició de l'accent lèxic- associat a l'S1 i un accent descendent de la pretònica a la tònica, amb una possible continuació poc significativa de la baixada a la posttònica -és a dir, $H+L^*$ o $H+(L^*+L)$ - associat a l'EXP1); c) un to de frontera baix (és a dir, $L-$) al final del subjecte; d) un accent ascendent amb el pic a la tònica (és a dir, $L+H^*$) associat a la vocal tònica d'S2; e) un accent baix o ascendent (és a dir, L^* o $L+H^*$, segons la posició de l'accent lèxic) associat a l'S3 (i, en cas de presència d'EXP3, un accent baix -és a dir, L^* - associat a l'S3 seguit d'un accent baix o ascendent (és a dir, L^* o $L+H^*$, segons la posició de l'accent lèxic) associat a l'EXP3); i f) un to de frontera final alt ($H\%$).

Cal destacar que la posició de l'accent a l'interior del mot té un efecte fonètic clar a l'últim mot del sintagma amb funció de subjecte. De fet, com més proper al final del mot apareix l'accent lèxic, més ràpida és la baixada, que sembla començar i acabar abans (és a dir, que els mots aguts tenen la baixada més primerenca i els esdrúixols la més tardana). En cas de presència d'EXP1, es noten patrons diferents a l'S1 en relació amb la posició accentual: si el mot és esdrúixol preval l'estructura superficial $L+(H^*+H)$, mentre que si és pla o agut la més freqüent és $L+H^*$. De manera semblant, si l'últim mot de l'objecte és esdrúixol o pla, l'estructura superficial predominant és L^* , mentre si és agut preval $L+H^*$.

Per tant, si es volgués representar gràficament aquesta línia melòdica a partir de les modes estadístiques, es podria fer servir un esquema com el que es presenta a la Figura 4.10, on cada rectangle representa una síl·laba.

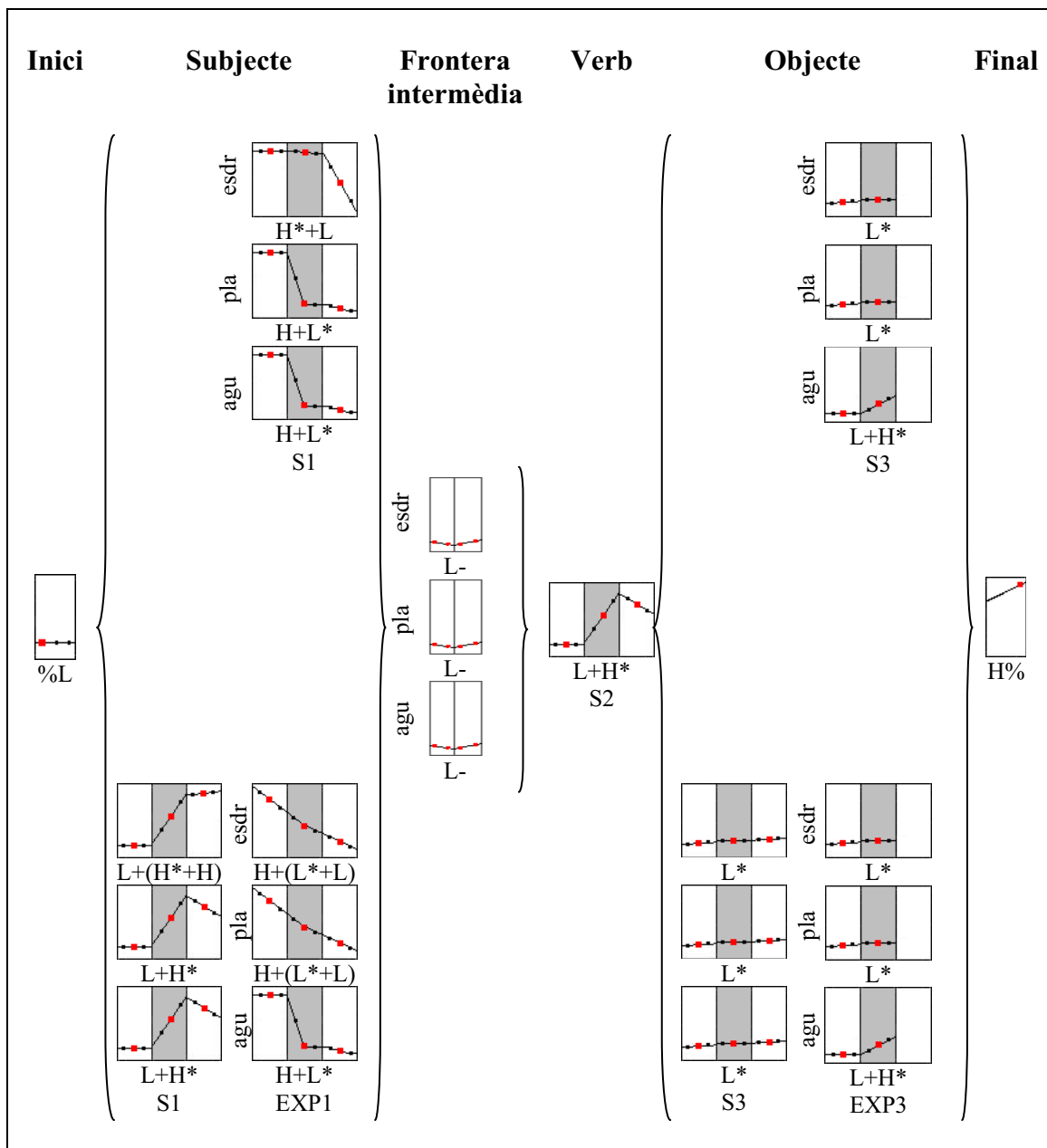


Figura 4.10 – Representació esquemàtica de les estructures superficials d’F0 a les frases interrogatives d’Agrons.

Frontera inicial				S1				EXPI				Frontera intermèdia				S2				S3				EXP3				Frontera final			
Tipus de mot	Enton.	N	%	Tipus de mot	Enton.	N	%	Tipus de mot	Enton.	N	%	Tipus de mot	Enton.	N	%	Tipus de mot	Enton.	N	%	Tipus de mot	Enton.	N	%	Tipus de mot	Enton.	N	%	Tipus de mot	Enton.	N	%
col				col				col				col				col				col				col				col			
ph				ph				ph				ph				ph				ph				ph				ph			
sp				sp				sp				sp				sp				sp				sp				sp			

Taula 4.42- Sinopsi de la freqüència d'aparició (en termes absoluts i percentuals) de les estructures entonatives superficials a les frases interrogatives a la varietat d'Agrons per posició accentual i posició sintagmàtica.

4.3.2.2. Taxonomia de les estructures entonatives superficials del dialecte de Beivars

Tal com hem vist a Agrons i veurem més endavant a Gradisca i Tesis, a partir de les estructures entonatives superficials es pot descriure la corba entonativa de les declaratives de Beivars (Taula 4.43) com a la successió de: a) un to de frontera inicial baix (%L); b) un accent ascendent amb el pic a la tònica o a al posttònica (és a dir, concretament, $L+H^*$ o $(L+H^*)+H$, segons la posició de l'accent lèxic) associat a l'S1 (i, en cas de presència d'EXP1, com a un accent baix o ascendent amb el pic a la tònica -és a dir, L^* o $L+H^*$, segons la posició de l'accent lèxic- associat a l'S1 i un accent ascendent amb el pic a la posttònica o a la tònica -és a dir, L^*+H o $L+H^*$ - associat a l'EXP1); c) absència de to de frontera al final del subjecte; d) un accent ascendent amb el pic a la síl·laba posttònica (és a dir, L^*+H) associat a la vocal tònica d'S2; e) un accent descendent des de la pretònica (és a dir, $H+L^*$) associat a l'S3 (i, en cas de presència d'EXP3, un accent baix amb el pic a la posttònica -és a dir, L^*+H - associat a l'S3 seguit d'un accent descendent amb el pic a la síl·laba pretònica -és a dir, $H+L^*$ - a l'EXP3); i f) un to de frontera final alt (H%).

Pel que fa al to de frontera final, de cara a les consideracions que es desenvoluparan a l'apartat 5.1.4.3.2, és oportú subratllar que, tot i que en la majoria dels casos es realitza com a un to alt, en un 10% dels casos la pujada final no arriba a passar el llindar de significativitat psicoacústica d'1,5 semitons.

Cal destacar que la posició de l'accent a l'interior del mot té un efecte fonètic a l'última paraula del sintagma amb funció de subjecte. De fet, com més proper al final del mot hi ha l'accent lèxic, més ràpida és la pujada, que sembla començar i acabar abans (és a dir, que els mots aguts tenen la pujada més primerenca i els esdrúixols la més tardana). En cas de presència d'EXP1, a l'S1 hi preval l'estructura L^* en el cas de les paraules planes i agudes, mentre que $L+H^*$ és majoritària per a les paraules esdrúixoles. En realitat el que s'observa més detalladament (veg. Annex 4) és que a l'S1 sempre hi ha una lleugera pujada d'F0 des de to inicial absolut baix fins a la síl·laba tònica. Tot i això, aquesta pujada arriba a ser significativa només quan les dues dianes tonals (és a dir, el to inicial baix i el to lleugerament més alt associat a la tònica) arriben a ser prou properes com per

donar lloc a una pendent suficient, la qual cosa passa només si la paraula és esdrúixola i, per tant, les dues dianes tonals estan associades amb dues síl·labes adjacents.

Per tant, si es volgués representar gràficament aquesta línia melòdica a partir de les modes estadístiques, es podria fer servir un esquema com el que es presenta a la Figura 4.11, on cada rectangle representa una síl·laba.

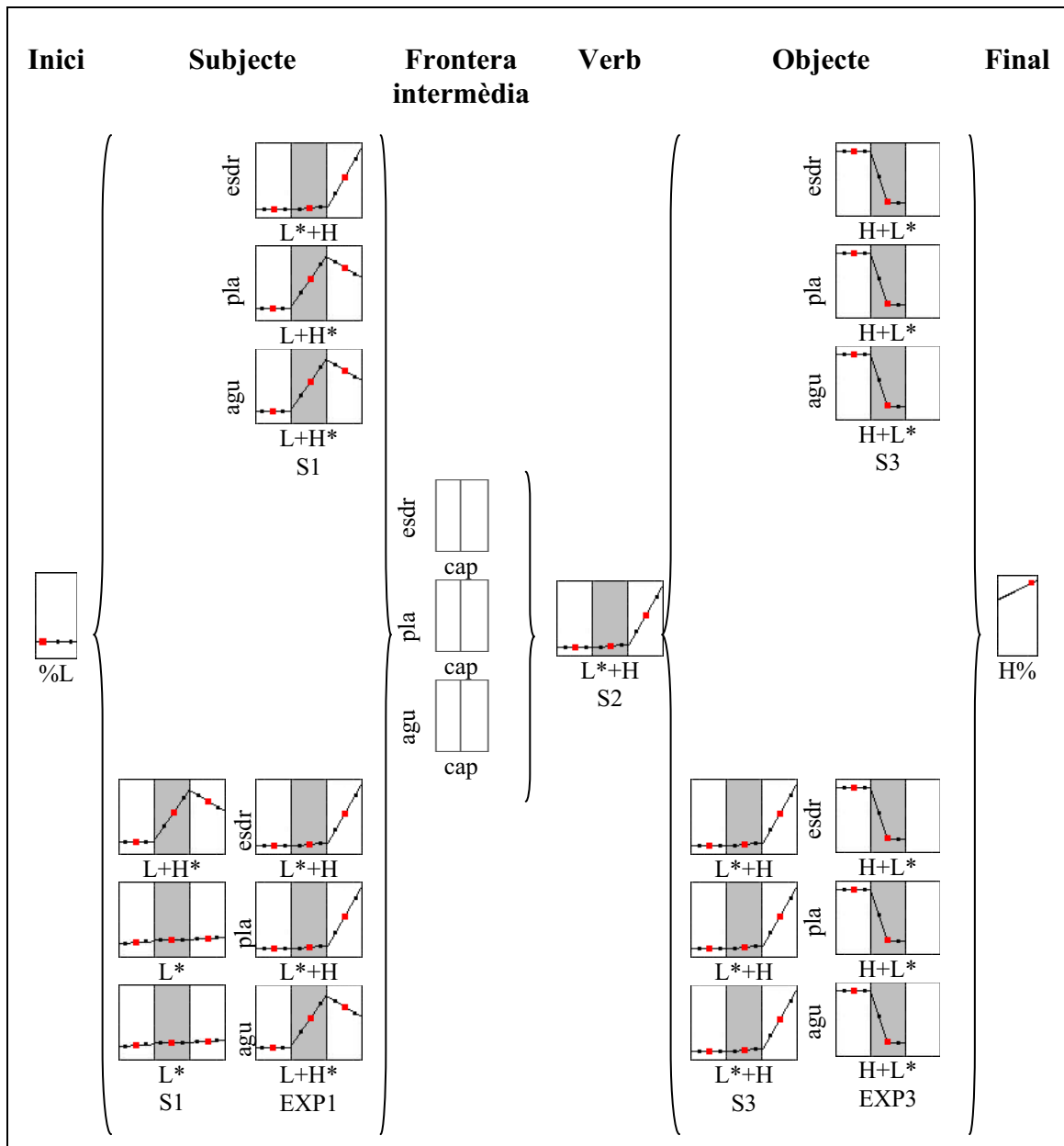


Figura 4.11 – Representació esquemàtica de les estructures superficials d’F0 a les frases declaratives de Beivars.

Frontera inicial				S1				EXP1				Frontera intermèdia				S2				S3				EXP3				Frontera final			
Tipus de mot		Enton.	N	%	Tipus de mot		Enton.	N	%	Tipus de mot		Enton.	N	%	Tipus de mot		Enton.	N	%	Tipus de mot		Enton.	N	%	Tipus de mot		Enton.	N	%		
end																															
ph																															
app																															

Taula 4.43- Sinopsi de la freqüència d'aparició (en termes absoluts i percentuals) de les estructures entonatives superficials a les frases declaratives a la varietat de Beivars per posició accentual i posició sintagmàtica.

A partir de les estructures entonatives superficials es pot descriure la corba entonativa de les interrogatives de Beivars (Taula 4.44) com a la successió de: a) un to de frontera inicial baix (%L); b) un accent descendent (és a dir, H*+L o (H+L*)+L, segons la posició de l'accent lèxic) associat a l'S1 (i, en cas de presència d'EXP1, com a un accent ascendent amb el pic al final de la tònica -és a dir, L+H*- associat a l'S1 i un accent descendent de la pretònica a la tònica, amb una possible continuació poc significativa de la baixada a la posttònica -és a dir, H+L* o H+(L*+L)- associat a l'EXP1); c) un to de frontera baix (és a dir, L-) al final del subjecte; d) un moviment tonal ascendent caracteritzat per una pujada significativa entre la pretònica i la tònica i, a continuació, una pujada menys marcada (és a dir, L+(H*+H)) associat a l'S2; e) un accent baix o descendent- (és a dir, L* o H+L*) associat a l'S3 (i, en cas de presència d'EXP3, un accent baix -és a dir, L*- associat a l'S3 seguit d'un accent baix -és a dir, L*- a l'EXP3); i f) un to de frontera final alt (és a dir, H%).

Pel que fa al to de frontera final, és oportú subratllar que a les frases interrogatives la pujada final sempre passa el llindar psicoacústic d'1,5 st, mentre que a les declaratives del mateix punt d'enquesta no ho fa en un 10% dels casos.

Cal destacar que la posició de l'accent a l'interior del mot té un efecte fonètic a l'última paraula del sintagma amb funció de subjecte. Igual que hem vist en el cas dels dialectes descrits als apartats anteriors, els mots aguts tenen la baixada més primerenca i els esdrúixols la més tardana. De manera semblant, si a les frases sense EXP3 l'S3 és esdrúixol, l'estructura superficial predominant és H+L*, mentre si és pla o agut preval L*. En el cas de les paraules esdrúixoles l'accent és només descendent (H+L*).

Si es volgués representar gràficament aquesta línia melòdica a partir de les modes estadístiques, es podria fer servir un esquema com el que es presenta a la Figura 4.12, on cada rectangle representa una síl·laba.

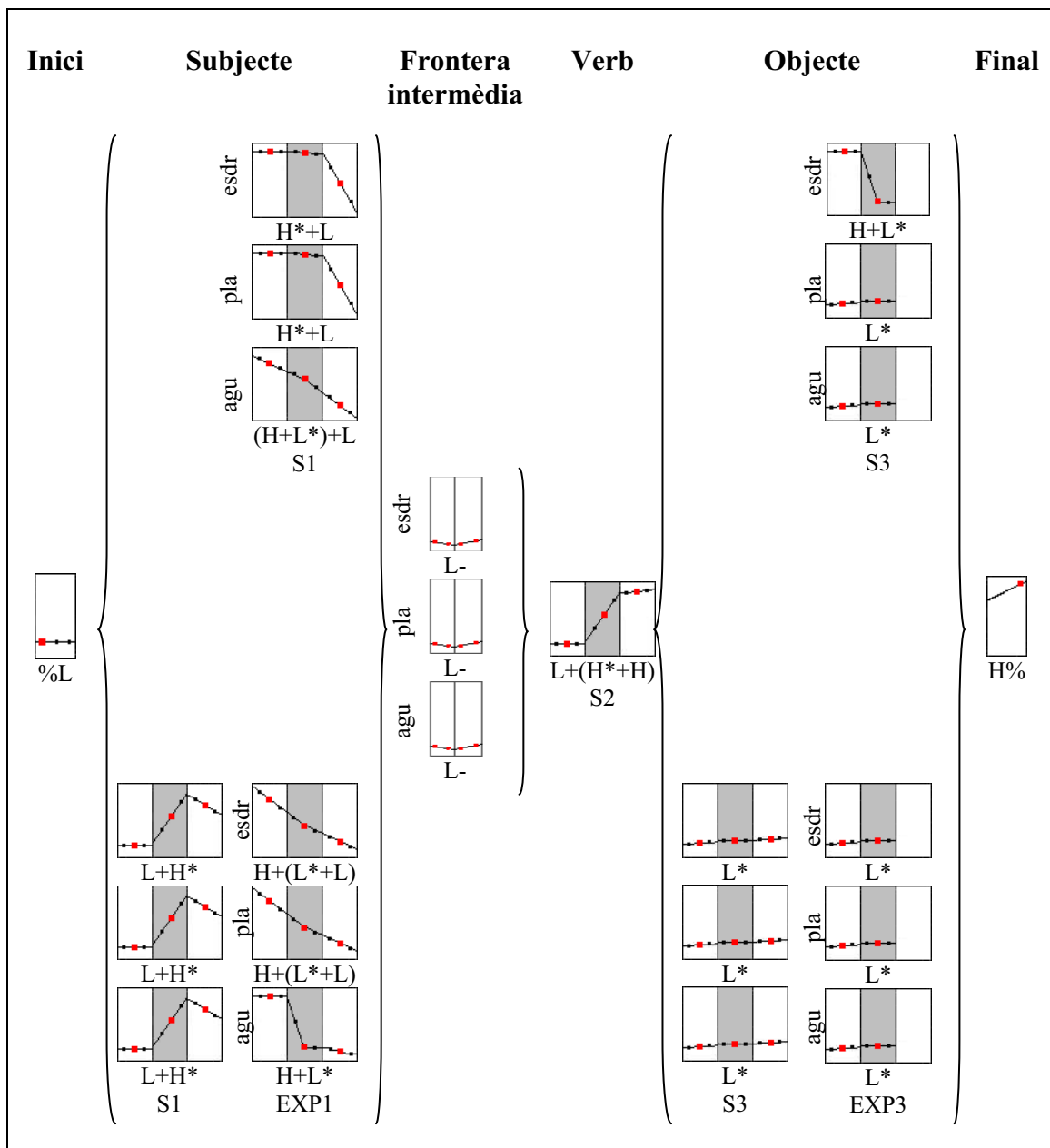


Figura 4.12 – Representació esquemàtica de les estructures superficials d’F0 a les frases interrogatives de Beivars.

Frontera inicial				S1				EXP1				Frontera intermèdia				S2				S3				EXP3				Frontera final			
Tipus de mot		Enton.	N	%	Tipus de mot		Enton.	N	%	Tipus de mot		Enton.	N	%	Tipus de mot		Enton.	N	%	Tipus de mot		Enton.	N	%	Tipus de mot		Enton.	N	%		
col	L*		1	100	col	L*		1	100	col	L*		1	100	col	L*		1	100	col	L*		1	100	col	L*		1	100		
ph	L*H		1	100	ph	L*H		1	100	ph	L*H		1	100	ph	L*H		1	100	ph	L*H		1	100	ph	L*H		1	100		
ap	L*H		1	100	ap	L*H		1	100	ap	L*H		1	100	ap	L*H		1	100	ap	L*H		1	100	ap	L*H		1	100		
col	L*		1	100	col	L*		1	100	col	L*		1	100	col	L*		1	100	col	L*		1	100	col	L*		1	100		
ph	L*H		1	100	ph	L*H		1	100	ph	L*H		1	100	ph	L*H		1	100	ph	L*H		1	100	ph	L*H		1	100		
ap	L*H		1	100	ap	L*H		1	100	ap	L*H		1	100	ap	L*H		1	100	ap	L*H		1	100	ap	L*H		1	100		

Taula 4.44- Sinopsi de la freqüència d'aparició (en termes absoluts i percentuals) de les estructures entonatives superficials a les frases interrogatives a la varietat de Beivars per posició accentual i posició sintagmàtica.

4.3.2.3. Taxonomia de les estructures entonatives superficials del dialecte de Gradisca

A partir de les estructures entonatives superficials es pot descriure la corba entonativa de les declaratives de Gradisca (Taula 4.45) com a la successió de: a) un to de frontera inicial baix ($0\%L$); b) un accent descendent de tipus diferents (H^*+L , $(L+H^*)+L$ o $H+(L^*+L)$, segons la posició de l'accent lèxic) associat a l'S1⁶ (i, en cas de presència d'EXP1, com a un accent ascendent amb el pic a la tònica o descendent amb el pic a la tònica -és a dir, $L+H^*$ o H^*+L , segons la posició de l'accent lèxic- associat a l'S1 i un accent ascendent -concretament L^*+H o $(L+H^*)+H$, segons la posició de l'accent lèxic- associat a l'EXP1); c) cap to de frontera intermèdia al final del subjecte; d) a l'S2, un moviment tonal caracteritzat per una baixada des del pic anterior seguida d'una pujada poc marcada (és a dir, $H+(L^*+!H)$), e) un accent descendent amb el pic a la pretònica (és a dir, $H+L^*$) associat a l'S3 (i, en cas de presència d'EXP3, un moviment tonal caracteritzat per una baixada des del pic anterior seguida per una pujada menys marcada (és a dir, $H+(L^*+!H)$) associat a l'S3 seguit d'un accent descendent des de la pretònica -és a dir, $H+L^*$ - a l'EXP3); i f) un to de frontera final alt ($H\%$).

Pel que fa al to de frontera final, de cara a les consideracions que es desenvoluparan a l'apartat 5.1.4.3.2, és oportú subratllar que, tot i que en la majoria dels casos es realitza com a un to alt, en un 15% dels casos la pujada final no arriba a passar el llindar de significativitat psicoacústica d'1,5 semitons.

Cal destacar que la posició de l'accent a l'interior del mot té un efecte fonètic a l'últim mot del sintagma amb funció de subjecte. De fet, sembla que els moviments tonals, siguin de pujada o de baixada, comencin més aviat si la paraula és aguda i més tard si la paraula és esdrúixola.

Per tant, si es volgués representar gràficament aquesta línia melòdica a partir de les modes estadístiques, es podria fer servir un esquema com el que es presenta a la Figura 4.13, on cada rectangle representa una síl·laba.

⁶ En realitat per a les frases sense EXP1 hi ha dos patrons, el primer dels quals es retroba a les frases sense cap expansió, que està caracteritzat per un accent L^*+H a l'S1, mentre el segon es retroba a les frases amb EXP2 i està caracteritzat per un accent descendent a l'S1.

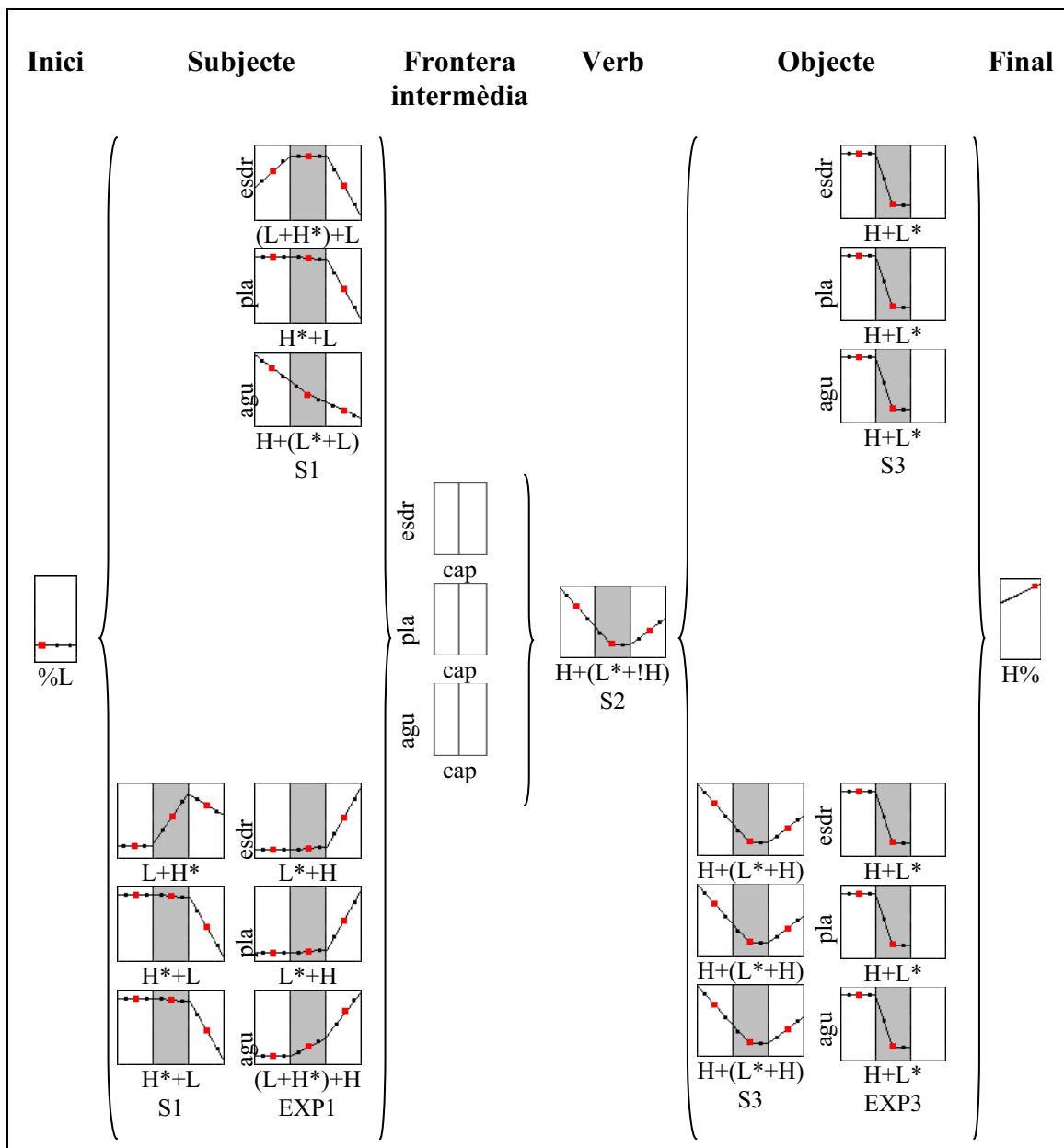


Figura 4.13 – Representació esquemàtica de les estructures superficials d’F0 a les frases declaratives de Gradisca.

Frontera inicial				S1				EXP1				Frontera intermèdia				S2				S3				EXP3				Frontera final					
Tipus de mot	Enton.	N	%	Tipus de mot	Enton.	N	%	Tipus de mot	Enton.	N	%	Tipus de mot	Enton.	N	%	Tipus de mot	Enton.	N	%	Tipus de mot	Enton.	N	%	Tipus de mot	Enton.	N	%	Tipus de mot	Enton.	N	%		
ent		23	100																														
ph		42	100																														
app		41	100																														

Frontera inicial				S1				EXP1				Frontera intermèdia				S2				S3				EXP3				Frontera final						
Tipus de mot	Enton.	N	%	Tipus de mot	Enton.	N	%	Tipus de mot	Enton.	N	%	Tipus de mot	Enton.	N	%	Tipus de mot	Enton.	N	%	Tipus de mot	Enton.	N	%	Tipus de mot	Enton.	N	%	Tipus de mot	Enton.	N	%			
ent		11	26																															
ph		17	40																															
app		26	62																															

Frontera inicial				S1				EXP1				Frontera intermèdia				S2				S3				EXP3				Frontera final						
Tipus de mot	Enton.	N	%	Tipus de mot	Enton.	N	%	Tipus de mot	Enton.	N	%	Tipus de mot	Enton.	N	%	Tipus de mot	Enton.	N	%	Tipus de mot	Enton.	N	%	Tipus de mot	Enton.	N	%	Tipus de mot	Enton.	N	%			
ent		13	31																															
ph		25	59																															
app		18	43																															

Frontera inicial				S1				EXP1				Frontera intermèdia				S2				S3				EXP3				Frontera final						
Tipus de mot	Enton.	N	%	Tipus de mot	Enton.	N	%	Tipus de mot	Enton.	N	%	Tipus de mot	Enton.	N	%	Tipus de mot	Enton.	N	%	Tipus de mot	Enton.	N	%	Tipus de mot	Enton.	N	%	Tipus de mot	Enton.	N	%			
ent		10	50																															
ph		12	67																															
app		4	20																															

Taula 4.45- Sinopsi de la freqüència d'aparició (en termes absoluts i percentuals) de les estructures entonatives superficials a les frases declaratives a la varietat de Gradisca per posició accentual i posició sintagmàtica.

A partir de les estructures entonatives superficials es pot descriure la corba entonativa de les interrogatives de Gradisca (Taula 4.46) com a la successió de: a) un to de frontera inicial baix (%L); b) un accent descendent (és a dir, H^*+L o $H+(L^*+L)$, segons la posició de l'accent lèxic) associat a l'S1 (i, en cas de presència d'EXP1, com a un accent ascendent amb el pic al final de la síl·laba tònica -és a dir, $L+H^*$ - associat a l'S1 i un moviment de baixada tonal entre la síl·laba pretònica i la tònica, amb una possible continuació menys significativa a la posttònica -és a dir, $H+L^*$ o $H+(L^*+L)$ - associat a l'EXP1); c) un to de frontera baix (és a dir, $L-$) al final del subjecte; d) un moviment tonal caracteritzat per una pujada entre la síl·laba pretònica i la tònica, seguit d'una pujada més marcada entre la tònica i la posttònica (és a dir, $(L+H^*)+H$) associat a la vocal tònica d'S2; e) un accent baix o descendent (és a dir, L^* o $H+L^*$) associat a l'S3 (i, en cas de presència d'EXP3, un accent baix o descendent del mateix tipus -és a dir, L^* o $H+L^*$ - associat a l'S3 seguit d'un accent baix -és a dir, L^* - a l'EXP3); i f) un to de frontera final alta ($H\%$).

Pel que fa al to de frontera final, també en el cas d'aquest dialecte és oportú subratllar que a les frases interrogatives la pujada final sempre passa el llindar psicoacústic d'1,5 st, mentre a les declaratives del mateix punt d'enquesta no ho fa en un 15% dels casos.

Cal destacar que l'estructura accentual de la paraula té un efecte fonètic a l'últim mot del sintagma amb funció de subjecte. De fet, com més s'acosta l'accent lèxic al final del mot, més aviat sembla començar i acabar la baixada (és a dir, que els mots aguts tenen la baixada més primerenca i els esdrúixols la més tardana). De manera semblant, si l'S3 és esdrúixol, l'estructura superficial predominant tendeix a ser $H+L^*$; si és pla oscil·la entre $H+L^*$ i L^* ; i si és agut, preval L^* .

Podem representar gràficament aquesta línia melòdica a partir de les modes estadístiques, fent servir un esquema com el que es presenta a la Figura 4.14, on cada rectangle representa una síl·laba.

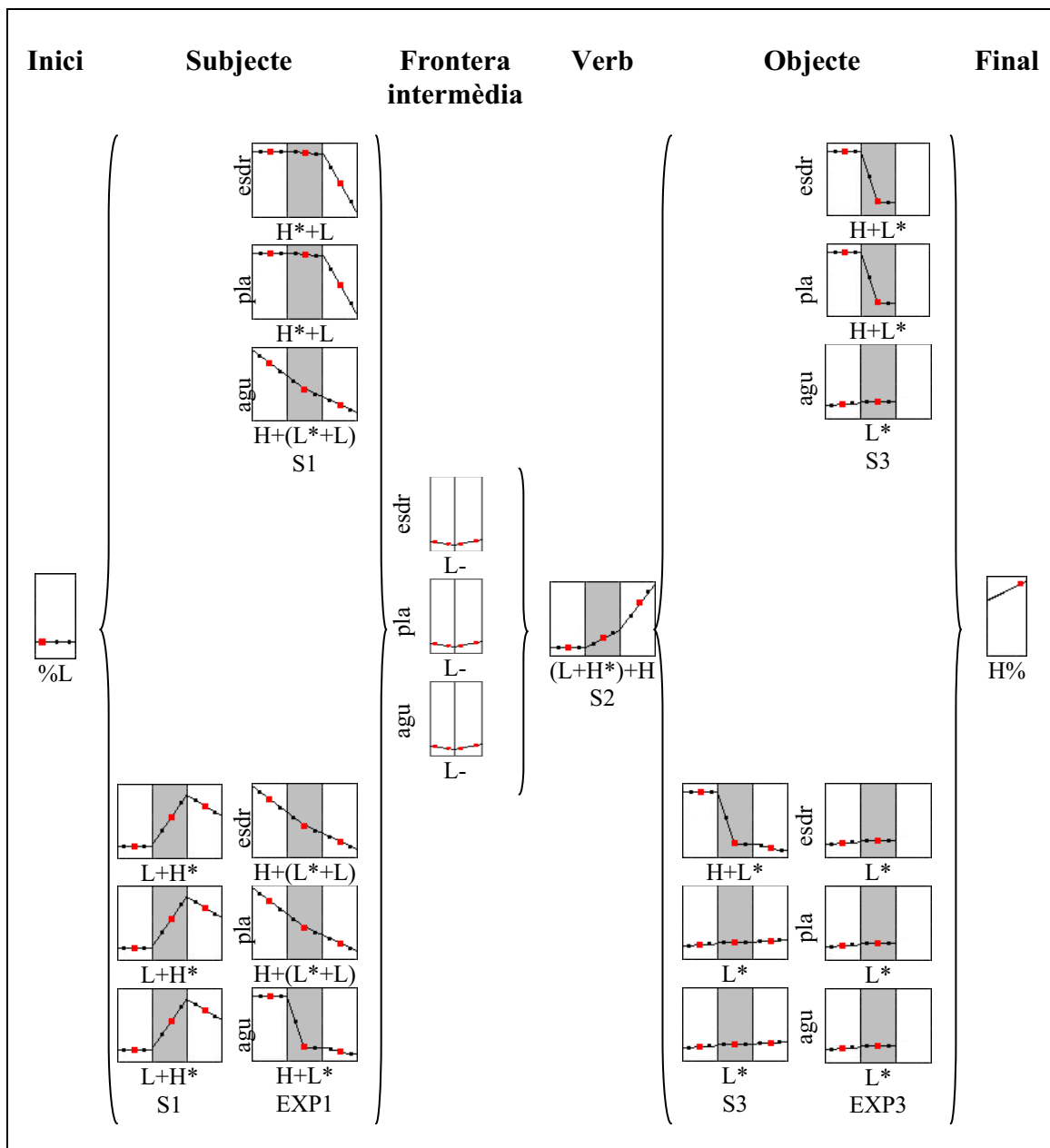


Figura 4.14 – Representació esquemàtica de les estructures superficials d’F0 a les frases interrogatives de Gradisca.

Frontera inicial				S1				EXP1				Frontera intermèdia				S2				S3				EXP3				Frontera final												
Tipus de mot	Estr. enton.	N	%	Tipus de mot	Estr. enton.	N	%	Tipus de mot	Estr. enton.	N	%	Tipus de mot	Estr. enton.	N	%	Tipus de mot	Estr. enton.	N	%	Tipus de mot	Estr. enton.	N	%	Tipus de mot	Estr. enton.	N	%	Tipus de mot	Estr. enton.	N	%									
ind.	L*H	90	92	ind.	L*	1	6	ind.	L*	1	6	ind.	L*	1	6	ind.	L*	1	6	ind.	L*	1	6	ind.	L*	1	6	ind.	L*	1	6	ind.	L*	1	6					
	L*HL	1	1			L*HL	1		6		L*HL		1	6			L*HL	1	6			L*HL	1		6		L*HL		1	6			L*HL	1	6		L*HL	1	6	
	L*HLL	1	1			L*HLL	1		6		L*HLL		1	6			L*HLL	1	6			L*HLL	1		6		L*HLL		1	6			L*HLL	1	6		L*HLL	1	6	
ph.	L*H	42	100	ph.	L*H	10	42	ph.	L*H	10	42	ph.	L*H	10	42	ph.	L*H	10	42	ph.	L*H	10	42	ph.	L*H	10	42	ph.	L*H	10	42	ph.	L*H	10	42	ph.	L*H	10	42	
	L*HL	1	2			L*HL	1		4		L*HL		1	4			L*HL	1	4			L*HL	1		4		L*HL		1	4			L*HL	1	4			L*HL	1	4
	L*HLL	1	2			L*HLL	1		4		L*HLL		1	4			L*HLL	1	4			L*HLL	1		4		L*HLL		1	4			L*HLL	1	4			L*HLL	1	4
sp.	L*H	10	61	sp.	L*H	4	21	sp.	L*H	4	21	sp.	L*H	4	21	sp.	L*H	4	21	sp.	L*H	4	21	sp.	L*H	4	21	sp.	L*H	4	21	sp.	L*H	4	21	sp.	L*H	4	21	
	L*HL	1	5			L*HL	1		5		L*HL		1	5			L*HL	1	5			L*HL	1		5		L*HL		1	5			L*HL	1	5			L*HL	1	5
	L*HLL	1	5			L*HLL	1		5		L*HLL		1	5			L*HLL	1	5			L*HLL	1		5		L*HLL		1	5			L*HLL	1	5			L*HLL	1	5

Taula 4.46- Sinopsi de la freqüència d'aparició (en termes absoluts i percentuals) de les estructures entonatives superficials a les frases interrogatives a la varietat de Gradisca per posició accentual i posició sintagmàtica.

4.3.2.4. Taxonomia de les estructures entonatives superficials del dialecte de Tesis

A partir de les estructures entonatives superficials obtingudes es pot descriure la corba entonativa de les declaratives de Tesis (Taula 4.47) com a la successió de: a) un to de frontera inicial baix ($L\%$); b) un accent baix o un accent ascendent amb el pic a la posttònica (és a dir, L^* o L^*+H) associat a l'S1 (i, en cas de presència d'EXP1, com a un accent baix o ascendent amb el pic a la síl·laba tònica -és a dir, L^* o $L+H^*$ - associat a l'S1 i un accent ascendent amb el pic a la síl·laba posttònica -és a dir, L^*+H - associat a l'EXP1); c) cap to de frontera intermèdia al final del subjecte; d) un moviment tonal caracteritzat per una baixada des del pic anterior seguida per una pujada menys marcada (és a dir, $H+(L^*+!H)$) associat a l'S2; e) un accent descendent amb el pic a la pretònica (és a dir, $H+L^*$) associat a l'S3 (i, en cas de presència d'EXP3, un accent ascendent amb el pic a la posttònica o alt -és a dir, L^*+H , $H+(L^*+!H)$ o H^* , respectivament, segons la posició de l'accent lèxic- associat a l'S3 seguit d'un accent descendent des de la síl·laba pretònica -és a dir, $H+L^*$ - a l'EXP3); i f) un to de frontera final baix (és a dir, $L\%$).

Pel que fa al to de frontera final, de cara a les consideracions que es desenvoluparan a l'apartat 5.1.4.3.2, és oportú subratllar que, tot i que en la majoria dels casos es realitza com a un to baix, en un cas es nota una pujada final que arriba a passar el llindar de significativitat psicoacústica.

Cal destacar que la posició de l'accent a l'interior del mot té un efecte fonètic a l'S3 en presència d'EXP3: si el mot és esdrúixol o pla, es nota un moviment tonal ascendent amb el pic a la posttònica; però, si el mot és agut, el moviment en qüestió es realitza de manera reduïda només a la tònica i, per tant, les fórmules l'etiqueten com a accent monotonal (H^*).

A partir de les modes estadístiques, podem representar gràficament aquesta línia melòdica fent servir un esquema com el que es presenta a la Figura 4.15, on cada rectangle representa una síl·laba.

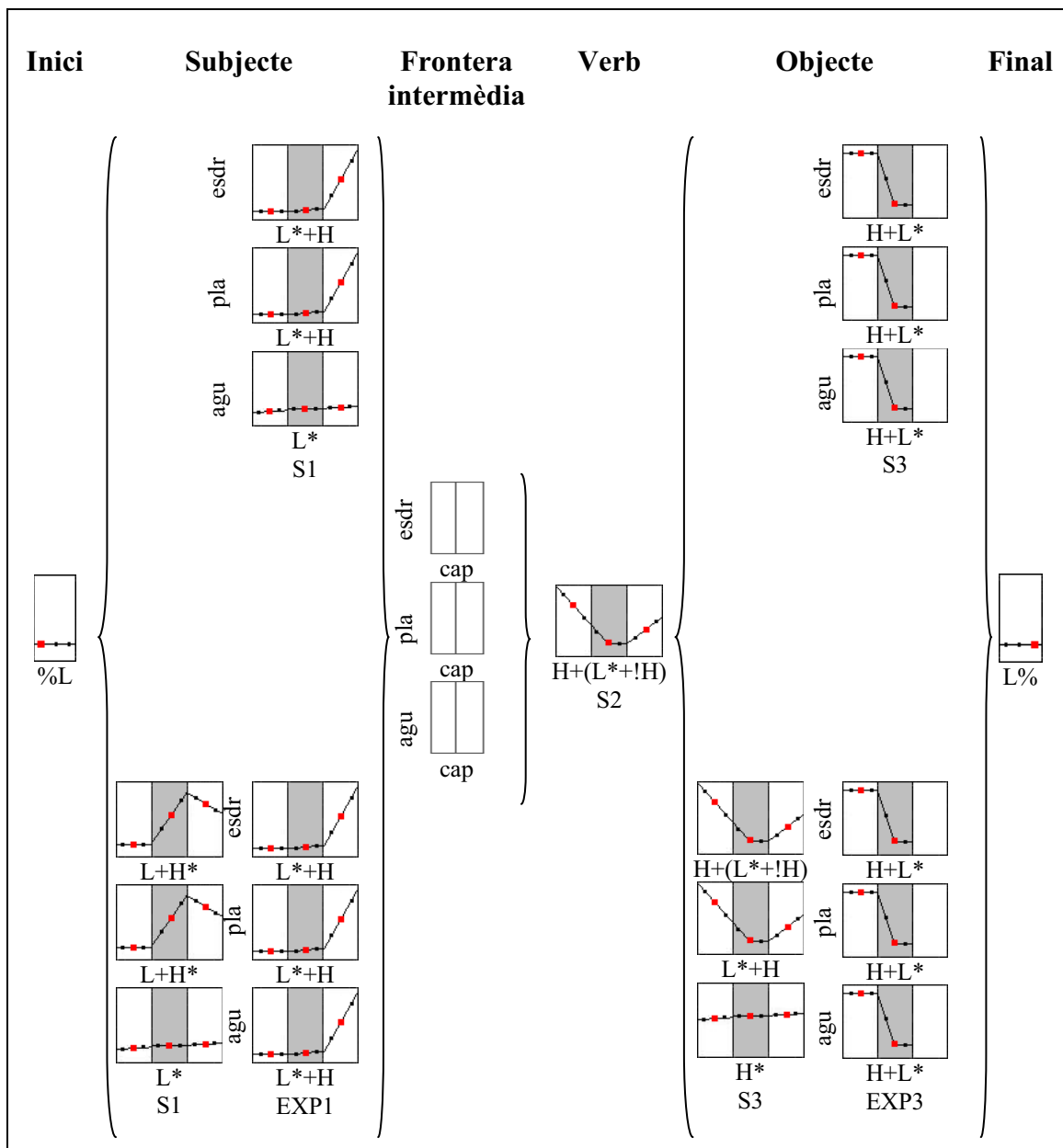


Figura 4.15 – Representació esquemàtica de les estructures superficials d’F0 a les frases declaratives de Tesis.

Frontera inicial				S1				EXP1				Frontera intermèdia				S2				S3				EXP3				Frontera final			
Tipus de mot		Enton.	N	%	Tipus de mot		Enton.	N	%	Tipus de mot		Enton.	N	%	Tipus de mot		Enton.	N	%	Tipus de mot		Enton.	N	%	Tipus de mot		Enton.	N	%		
ent																															
ph																															
ap																															

Taula 4.47- Sinopsi de la freqüència d'aparició (en termes absoluts i percentuals) de les estructures entonatives superficials a les frases declaratives a la varietat de Tesis per posició accentual i posició sintagmàtica.

A partir de les estructures entonatives superficials es pot descriure la corba entonativa de les interrogatives de Tesis (Taula 4.48) com a la successió de: a) un to de frontera inicial baix (%L); b) un accent descendent a partir de la síl·laba tònica (és a dir, H*+L) associat a l'S1 (i, en cas de presència d'EXP1, com a un accent ascendent amb el pic a la síl·laba tònica -és a dir, L+H*- associat a l'S1 i un accent descendent amb el pic a la tònica -és a dir, H*+L- associat a l'EXP1); c) un to de frontera baixa (és a dir, L-) al final del subjecte; d) un moviment tonal ascendent caracteritzat per una pujada significativa entre la pretònica i la tònica i, a continuació, una pujada menys marcada (és a dir, L+(H*+H)) associat a l'S2; e) un accent baix o descendent (és a dir, L* o H+L*, segons la posició de l'accent lèxic) associat a l'S3 (i, en cas de presència d'EXP3, un accent baix o descendent -és a dir, L* o H+L*- associat a l'S3 seguit d'un accent baix -és a dir, L*- a l'EXP3); i f) un to de frontera final alt (és a dir, H%).

La posició accentual té un efecte fonètic a l'S3: si és esdrúixol, de fet, l'estructura superficial predominant tendeix a ser H+L*; mentre que si és pla o és agut, preval L*. En el cas de les paraules esdrúixoles l'accent és només aparentment descendent (H+L*), ja que en realitat es tracta d'una limitació de les fórmules que calculen l'etiquetatge, ja que no poden distingir si el to alt a la pretònica forma part del moviment tonal associat al propi accent lèxic o bé si, com en aquest cas, es deu a la presència d'un accent tonal ascendent anterior el pic del qual es realitza a la pretònica del mot en qüestió.

Per La representació gràfica d'aquesta línia melòdica a partir de les modes estadístiques, es veu esquemàticament a la Figura 4.16, on cada rectangle representa una síl·laba.

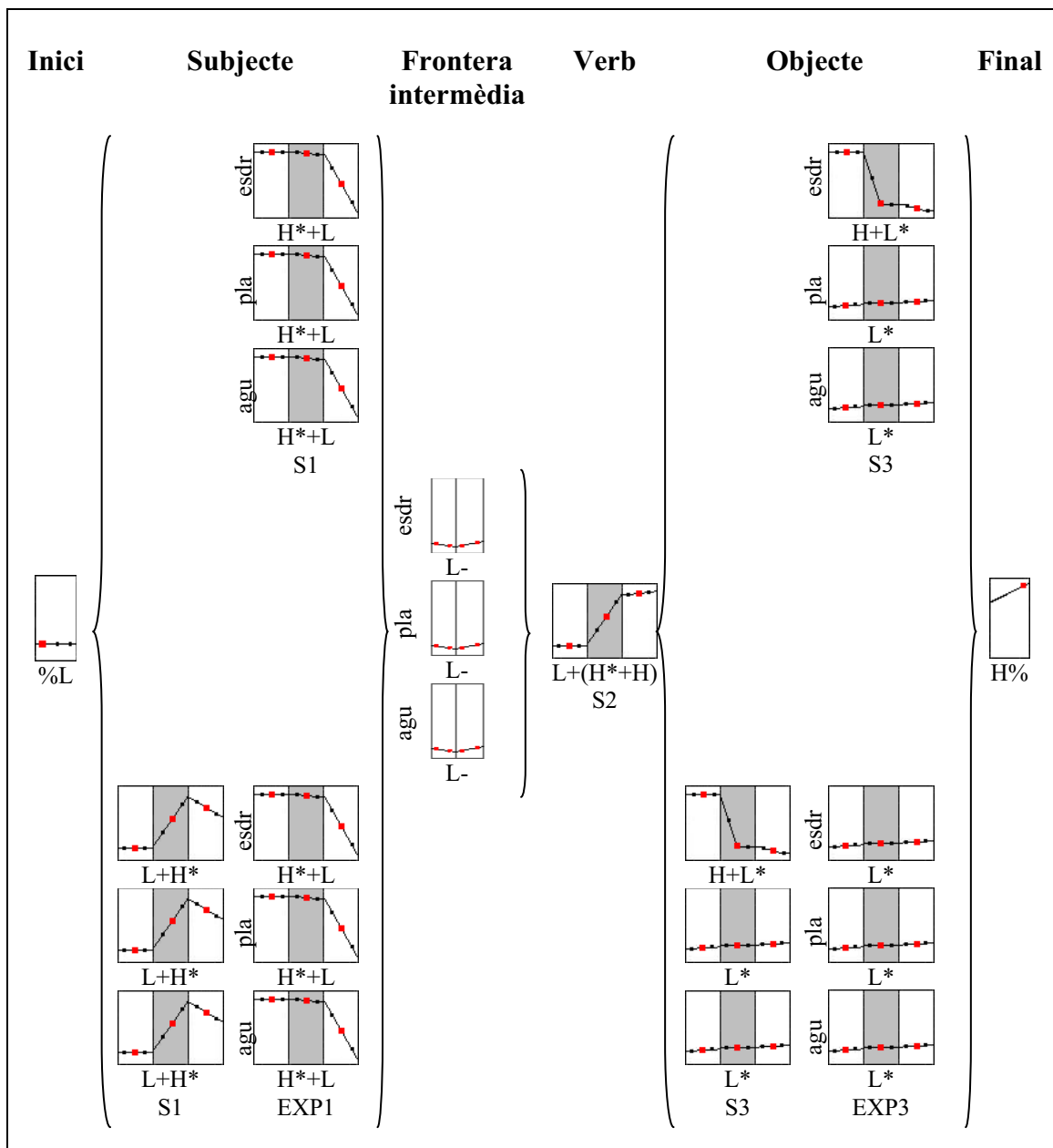


Figura 4.16 – Representació esquemàtica de les estructures superficials d’F0 a les frases interrogatives de Tesis.

Frontera inicial				S1				EXP1				Frontera intermèdia				S2				S3				EXP3				Frontera final			
Tipus de mot	Enton.	N	%	Tipus de mot	Enton.	N	%	Tipus de mot	Enton.	N	%	Tipus de mot	Enton.	N	%	Tipus de mot	Enton.	N	%	Tipus de mot	Enton.	N	%	Tipus de mot	Enton.	N	%	Tipus de mot	Enton.	N	%
od				od				od				od				od				od				od				od			
ph				ph				ph				ph				ph				ph				ph				ph			
ap				ap				ap				ap				ap				ap				ap				ap			

Taula 4.48- Sinopsi de la freqüència d'aparició (en termes absoluts i percentuals) de les estructures entonatives superficials a les frases interrogatives a la varietat de Tesis per posició accentual i posició sintagmàtica.

4.3.3. Taxonomia de les estructures entonatives profundes

A partir de les estructures superficials, que són les més adherents a la realitat acústica i fonètica, les fórmules que s'han descrit al Capítol 3 fan possible calcular les estructures entonatives profundes, que representen una simplificació de les estructures superficials, ja que tenen l'objectiu de reconduir les variants al·lotòniques a un sol patró comú. Per tant, el càlcul de les estructures entonatives profundes constitueix un pas decisiu cap a l'anàlisi fonològica de l'entonació dels enunciats, ja que permet destacar de manera més clara les regularitats que existeixen a les dades fonètiques.

Als apartats següents, es presenten els resultats d'aquests càlculs. Per a cada modalitat oracional, en cada punt d'enquesta es descriu el patró majoritari de les frases. On calgui, se subratllaran les diferències, aparents o reals, degudes a la posició accentual. Aquestes diferències s'esmentaran als paràgrafs següents a mesura que vagin emergint i es discutiran, totes plegades, a l'apartat 4.3.3.5.

4.3.3.1. Taxonomia de les estructures entonatives profundes del dialecte d'Agrons

A partir de les estructures entonatives profundes es pot descriure la corba entonativa de les declaratives d'Agrons (Taula 4.49) com a la successió de: a) un to de frontera inicial baix (%L); b) un accent ascendent amb el pic a la posttònica (és a dir, L*+H) associat a l'S1 (i, en cas de presència d'EXP1, com a un accent baix -és a dir, L*- associat a l'S1 i un accent ascendent amb el pic a la posttònica -és a dir, L*+H associat a l'EXP1); c) cap frontera entonativa al final del subjecte; d) un accent ascendent amb el pic a la posttònica (és a dir, L*+H) associat a l'S2; e) un accent descendent des de la pretònica (és a dir, H+L*) associat a l'S3 (i, en cas de presència d'EXP3, un accent ascendent amb el pic a la posttònica (és a dir, L*+H) associat a l'S3 seguit d'un accent descendent des de la pretònica -és a dir, H+L*- a l'EXP3); i finalment f) un to de frontera final baix.

Pel que fa al to de frontera final, de cara a les consideracions que es desenvoluparan a l'apartat 5.1.4.3.2, és oportú subratllar que, tot i que en la majoria dels casos es realitza com a un to baix, en un cas es nota una pujada final que arriba a passar el llindar de significativitat psicoacústica.

La posició de l'accent a l'interior del mot té un efecte fonètic a l'última paraula del sintagma amb funció de subjecte també en el nivell profund de l'etiquetatge. De fet, si l'últim mot del subjecte és esdrúixol o pla, l'estructura superficial predominant és L^*+H , mentre si és agut preval $L+H^*$. Pel que fa a la frontera intermèdia, aquesta sembla ser present només en el cas de les paraules planes. En realitat, en aquest cas tampoc es pot parlar ben bé de frontera intermèdia, ja que el pic tonal al final de la síl·laba posttònica es deu a l'accent tonal anterior i no pas a l'existència d'una diana tonal associada pròpiament amb el final del mot.

La representació d'aquesta línia melòdica a partir de les modes estadístiques, la trobem a la Figura 4.17, on cada rectangle representa una síl·laba.

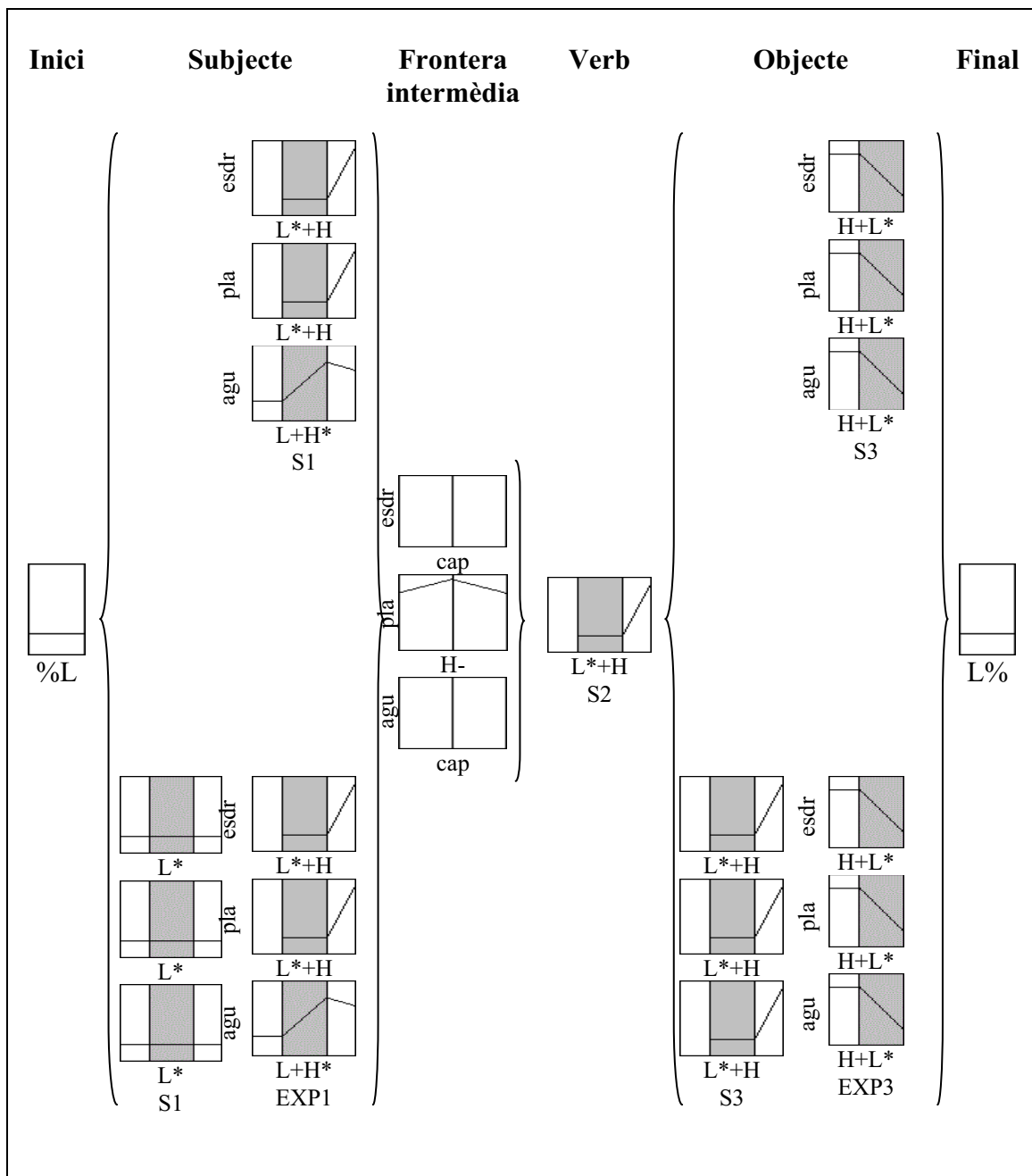


Figura 4.17 – Representació esquemàtica de les estructures profundes d'F0 a les frases declaratives d'Agrons.

Frontera inicial				S1				EXPI				Frontera intermèdia				S2				S3				EXP3				Frontera final							
Tipus de mot	Estr. enton.	N	%	Tipus de mot	Estr. enton.	N	%	Tipus de mot	Estr. enton.	N	%	Tipus de mot	Estr. enton.	N	%	Tipus de mot	Estr. enton.	N	%	Tipus de mot	Estr. enton.	N	%	Tipus de mot	Estr. enton.	N	%	Tipus de mot	Estr. enton.	N	%				
od.	L*	82	100	od.	L*	4	17	od.	L*	1	6	od.	L*	10	42	od.	L*	24	100	od.	L*	24	100	od.	L*	24	100	od.	L*	41	98				
ph.	L*H*	2	100	ph.	L*H*	20	83	ph.	L*H*	18	100	ph.	L*H*	30	71	ph.	L*H*	45	100	ph.	L*H*	11	85	ph.	L*H*	13	72	ph.	L*H*	18	100	ph.	L*H*	11	92
sp.	L*H*	82	100	sp.	L*H*	1	4	sp.	L*H*	12	29	sp.	L*H*	20	46	sp.	L*H*	32	75	sp.	L*H*	13	72	sp.	L*H*	18	100	sp.	L*H*	18	100	sp.	L*H*	18	100

Taula 4.49- Sinopsi de la freqüència d'aparició (en termes absoluts i percentuals) de les estructures entonatives profundes a les frases declaratives a la varietat d'Agrons per posició accentual i posició sintagmàtica.

La descripció de les interrogatives d'Agrons a partir de les seves estructures entonatives profundes (Taula 4.50) es pot resumir com a la successió de: a) un to de frontera inicial baix (és a dir, %L) b) un accent descendent del tipus H+L* associat a l'S1 (i, en cas de presència d'EXP1, com a un accent ascendent amb el pic a la posttònica -és a dir, L+H*- associat a l'S1 i un accent descendent des de la pretònica -és a dir, H+L* associat a l'EXP1); c) un to de frontera baix (és a dir, L-) al final del subjecte; d) un accent ascendent amb el pic a la tònica (és a dir, L+H*) associat a l'S2; e) un accent baix (és a dir, L*) associat a l'S3 (i, en cas de presència d'EXP3, un accent baix (és a dir, L*) associat a l'S3 seguit d'un altre accent baix a l'EXP3); i f) un to de frontera final alt (H%).

La posició de l'accent a l'interior del mot té un efecte fonètic a l'S1 ja que, en absència d'EXP1, l'estructura predominant és H*+L en el cas de les paraules esdrúixoles i H+L* en els altres casos. També es nota un efecte de la posició accentual a l'S1 si hi ha presència d'EXP1, ja que als mots esdrúixols preval un accent ascendent amb el pic a la posttònica (L*+H) mentre que als plans i als aguts l'accent més freqüent és ascendent i té el pic a la mateixa síl·laba tònica (L+H*). Un altre cas d'efecte de la posició accentual es dona en proximitat de la frontera final: si l'últim mot del sintagma amb funció de complement verbal és esdrúixol o pla, l'estructura tonal predominant és L*, mentre que si és agut preval L+H*.

Per tant, si es volgués representar gràficament aquesta línia melòdica a partir de les modes estadístiques, es podria fer servir un esquema com el que es presenta a la Figura 4.18, on cada rectangle representa una síl·laba.

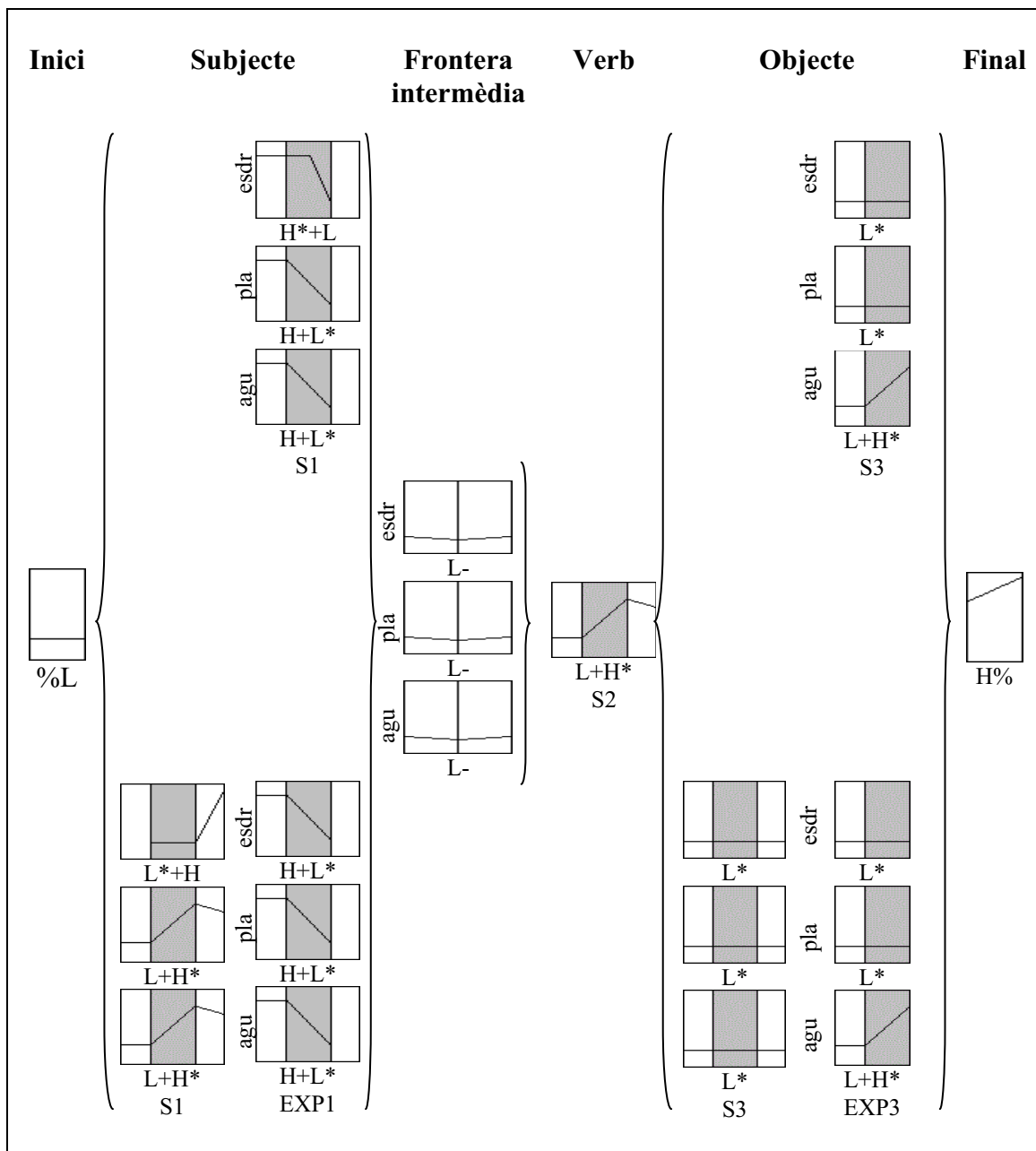


Figura 4.18 – Representació esquemàtica de les estructures profundes d’F0 a les frases interrogatives d’Agrons.

Frontera inicial				S1				EXPI				Frontera intermèdia				S2				S3				EXP3				Frontera final							
Tipus de mot	Estr. enton.	N	%	Tipus de mot	Estr. enton.	N	%	Tipus de mot	Estr. enton.	N	%	Tipus de mot	Estr. enton.	N	%	Tipus de mot	Estr. enton.	N	%	Tipus de mot	Estr. enton.	N	%	Tipus de mot	Estr. enton.	N	%	Tipus de mot	Estr. enton.	N	%				
od.	L*	5	21	od.	L*	39	93	od.	L*	39	93	od.	L*	17	71	od.	L*	18	100	od.	L*	42	100	od.	L*	42	100	od.	L*	42	100				
ph.	L*H	14	78	ph.	L*H	14	78	ph.	L*H	14	78	ph.	L*H	14	78	ph.	L*H	14	78	ph.	L*H	14	78	ph.	L*H	14	78	ph.	L*H	14	78	ph.	L*H	14	78
sp.	H*H	9	50	sp.	H*H	9	50	sp.	H*H	9	50	sp.	H*H	9	50	sp.	H*H	9	50	sp.	H*H	9	50	sp.	H*H	9	50	sp.	H*H	9	50	sp.	H*H	9	50
	H*H	4	22		H*H	4	22		H*H	4	22		H*H	4	22		H*H	4	22		H*H	4	22		H*H	4	22		H*H	4	22		H*H	4	22

Taula 4.50- Sinopsi de la freqüència d'aparició (en termes absoluts i percentuals) de les estructures entonatives profundes a les frases interrogatives a la varietat d'Agrons per posició accentual i posició sintagmàtica.

4.3.3.2. Taxonomia de les estructures entonatives profundes del dialecte de Beivars

A partir de les estructures entonatives profundes es pot descriure la corba entonativa de les declaratives de Beivars (Taula 4.51) com a la successió de: a) un to de frontera inicial baix (%L),); b) un accent ascendent amb el pic a la síl·laba posttònica (és a dir, L*+H) associat a l'S1 (i, en cas de presència d'EXP1, com a un accent baix -és a dir, L*- associat a l'S1 i un accent ascendent amb el pic a la síl·laba posttònica -és a dir, L*+H- associat a l'EXP1); c) cap frontera entonativa al final del subjecte; d) un accent ascendent amb el pic a la posttònica (és a dir, L*+H) associat a l'S2; e) un accent descendent (és a dir, H+L*) associat a l'S3 (i, en cas de presència d'EXP3, un accent ascendent amb el pic a la posttònica (és a dir, L*+H) associat a l'S3 seguit d'un accent descendent des de la pretònica -és a dir, H+L*- a l'EXP3); i f) un to de frontera final alt (H%).

Pel que fa al to de frontera final, de cara a les consideracions que es desenvoluparan a l'apartat 5.1.4.3.2, és oportú subratllar que, tot i que en la majoria dels casos es realitza com a un to alt, en un 10% dels casos la pujada final no arriba a passar el llindar de significativitat psicoacústica d'1,5 semitons, amb la qual cosa es pot considerar pla.

Cal destacar que la posició de l'accent a l'interior del mot té un efecte fonètic a l'últim mot del sintagma amb funció de subjecte. De fet, tal com s'ha observat a les frases declaratives d'Agrons, si l'últim mot del subjecte és esdrúixol o pla, l'estructura superficial predominant és L*+H, mentre que si és agut preval L+H*. En cas de presència d'EXP1, l'accent tonal més freqüent en el cas dels mots esdrúixols és L+H*, mentre que en la resta dels casos no hi ha cap moviment tonal perceptible associat a la síl·laba tònica (és a dir, L*).

Si es volgués representar gràficament aquesta línia melòdica a partir de les modes estadístiques, es podria fer servir un esquema com el que es presenta a la Figura 4.19, on cada rectangle representa una síl·laba.

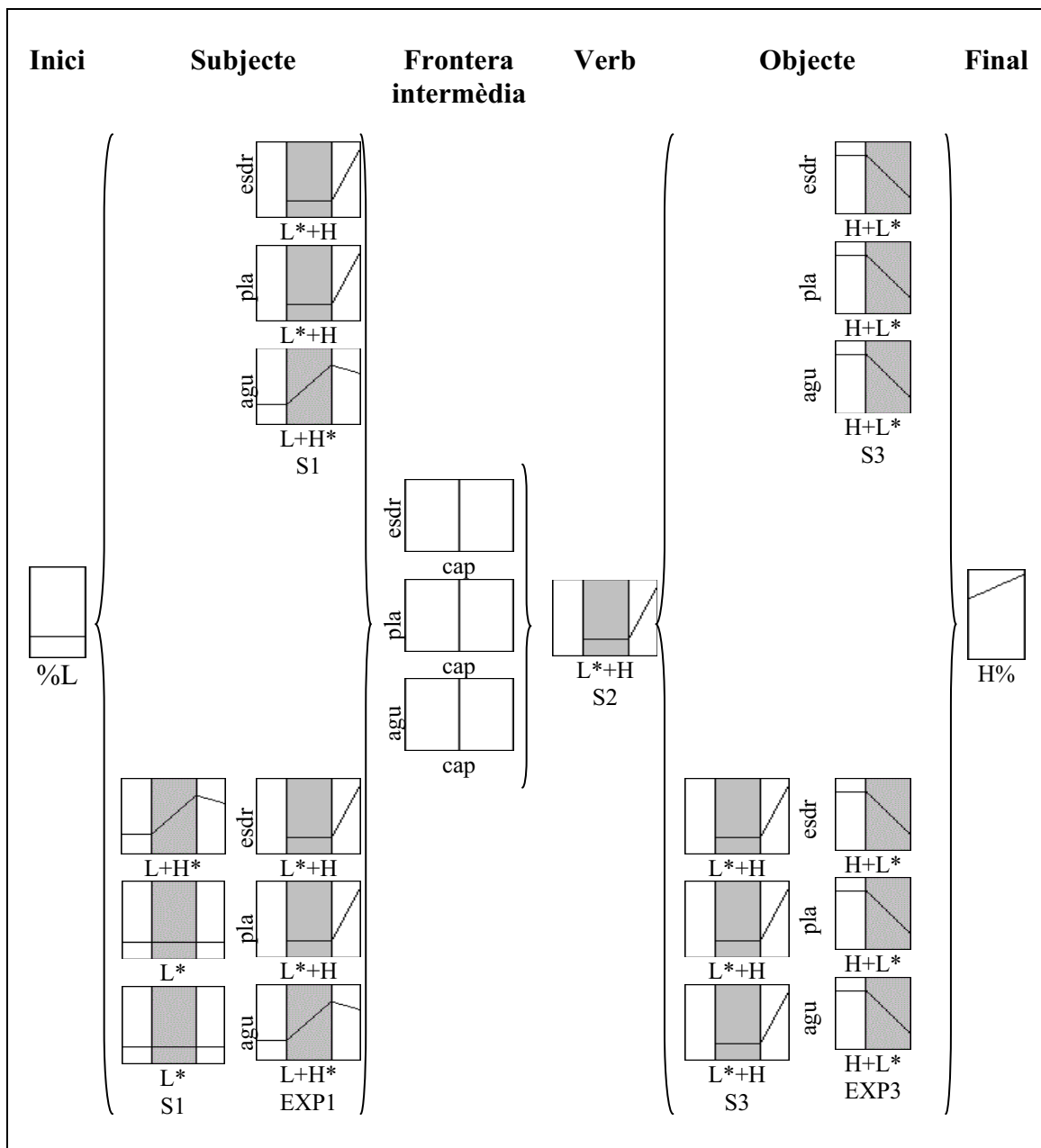


Figura 4.19 – Representació esquemàtica de les estructures profundes d’F0 a les frases declaratives de Beivars.

A partir de les estructures entonatives profundes es pot descriure la corba entonativa de les interrogatives de Beivars (Taula 4.52) com a la successió de: a) un to de frontera inicial baix (%L); b) un descens significatiu entre una síl·laba tònica alta i una posttònica baixa (és a dir, H*+L) associat a l'S1 (i, en cas de presència d'EXP1, com a un accent ascendent amb el pic a la tònica -és a dir, L+H*- associat a l'S1 i una baixada significativa entre la pretònica i la tònica -és a dir, H+L*- associat a l'EXP1); c) un to de frontera baix (és a dir, L-) al final del subjecte; d) un accent ascendent amb el pic a la posttònica (és a dir, L*+H) associat a l'S2; e) un accent baix (és a dir, L*) associat a l'S3 (i, en cas de presència d'EXP3, un accent baix (és a dir, L*) associat a l'S3 seguit d'un altre accent baix -és a dir, L*- a l'EXP3); i f) un to de frontera final alt (H%).

Parlant del to de frontera final, és important subratllar que a les frases interrogatives la pujada final sempre passa el llindar psicoacústic d'1,5 st, mentre a les declaratives del mateix punt d'enquesta no ho fa en un 10% dels casos.

Cal destacar que la posició de l'accent a l'interior del mot té un efecte fonètic a l'S3 en cas d'absència d'EXP3: si el mot és pla o agut, l'estructura tonal més freqüent és L*, mentre que, si és esdrúixol, és H+L*.

Per tant, si es volgués representar gràficament aquesta línia melòdica a partir de les modes estadístiques, es podria fer servir un esquema com el que es presenta a la Figura 4.20, on cada rectangle representa una síl·laba.

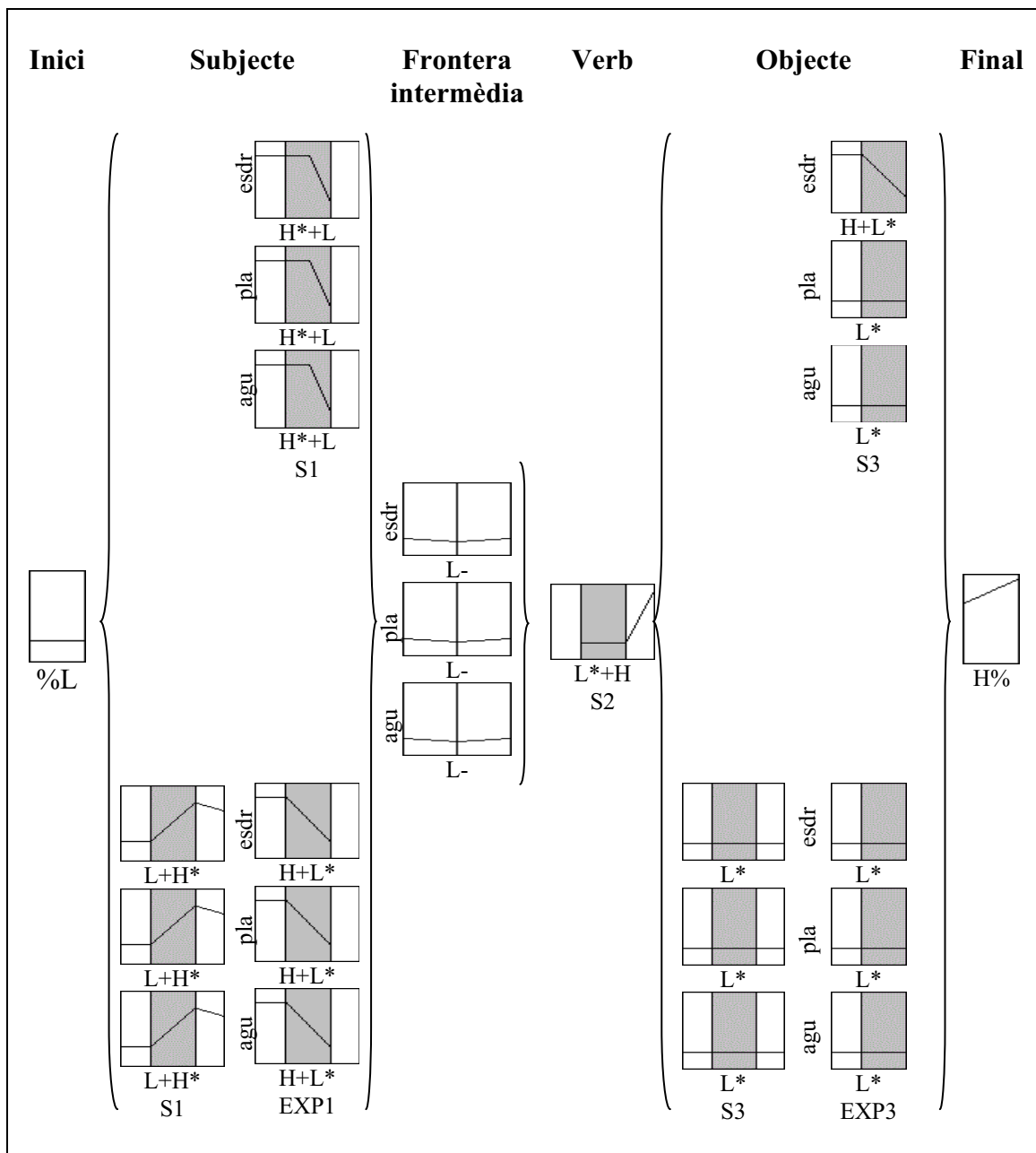


Figura 4.20 – Representació esquemàtica de les estructures profundes d’F0 a les frases interrogatives de Beivars.

Frontera inicial				S1				EXPI				Frontera intermèdia				S2				S3				EXPI3				Frontera final			
Tipus de mot	Estr. enton.	N	%	Tipus de mot	Estr. enton.	N	%	Tipus de mot	Estr. enton.	N	%	Tipus de mot	Estr. enton.	N	%	Tipus de mot	Estr. enton.	N	%	Tipus de mot	Estr. enton.	N	%	Tipus de mot	Estr. enton.	N	%	Tipus de mot	Estr. enton.	N	%
od.		62	100																												
ph.		62	100																												
sp.		62	100																												
od.		62	100																												

Taula 4.52- Sinopsi de la freqüència d'aparició (en termes absoluts i percentuals) de les estructures entonatives profundes a les frases interrogatives a la varietat de Beivars per posició accentual i posició sintagmàtica.

4.3.3.3. Taxonomia de les estructures entonatives profundes del dialecte de Gradisca

A partir de les estructures entonatives profundes es pot descriure la corba entonativa de les declaratives de Gradisca (Taula 4.53) com a la successió de: a) un to de frontera inicial baix (H^0L); b) una baixada tonal entre la síl·laba tònica i la posttònica (és a dir, H^*+L) associada a l'S1 (i, en cas de presència d'EXP1, com a una baixada tonal entre la síl·laba tònica i la posttònica del nucli del sintagma (H^*+L), és a dir, associada a l'S1 i un accent ascendent amb el pic a la síl·laba posttònica -és a dir, L^*+H^- associat a l'EXP1); c) cap frontera entonativa al final del subjecte; d) un accent ascendent amb el pic a la posttònica (és a dir, L^*+H) associat a l'S2; e) un accent descendent des de la pretònica (és a dir, $H+L^*$) associat a l'S3 (i, en cas de presència d'EXP3, un accent ascendent amb el pic a la posttònica (és a dir, L^*+H) associat a l'S3 seguit d'un accent descendent des de la pretònica -és a dir, $H+L^*-$ a l'EXP3); i f) un to de frontera final alt (H^0).

Pel que fa al to de frontera final, de cara a les consideracions que es desenvoluparan a l'apartat 5.1.4.3.2, cal destacar que, tot i que en la majoria dels casos es realitza com a un to alt, en un 15% dels casos la pujada final no arriba a passar el llindar de significativitat psicoacústica d'1,5 semitons.

És oportú subratllar que la posició de l'accent a l'interior del mot té un efecte fonètic a l'S1, tan si hi ha EXP1 com si no n'hi ha: el tots dos els casos els mots esdrúixols difereixen dels altres ja que presenten majoritàriament una estructura $L+H^*$, és a dir, que el pic es realitza en posició més avançada.

Podem representar gràficament aquesta línia melòdica a partir de les modes estadístiques, fent servir un esquema com el que es presenta a la Figura 4.21, on cada rectangle representa una síl·laba.

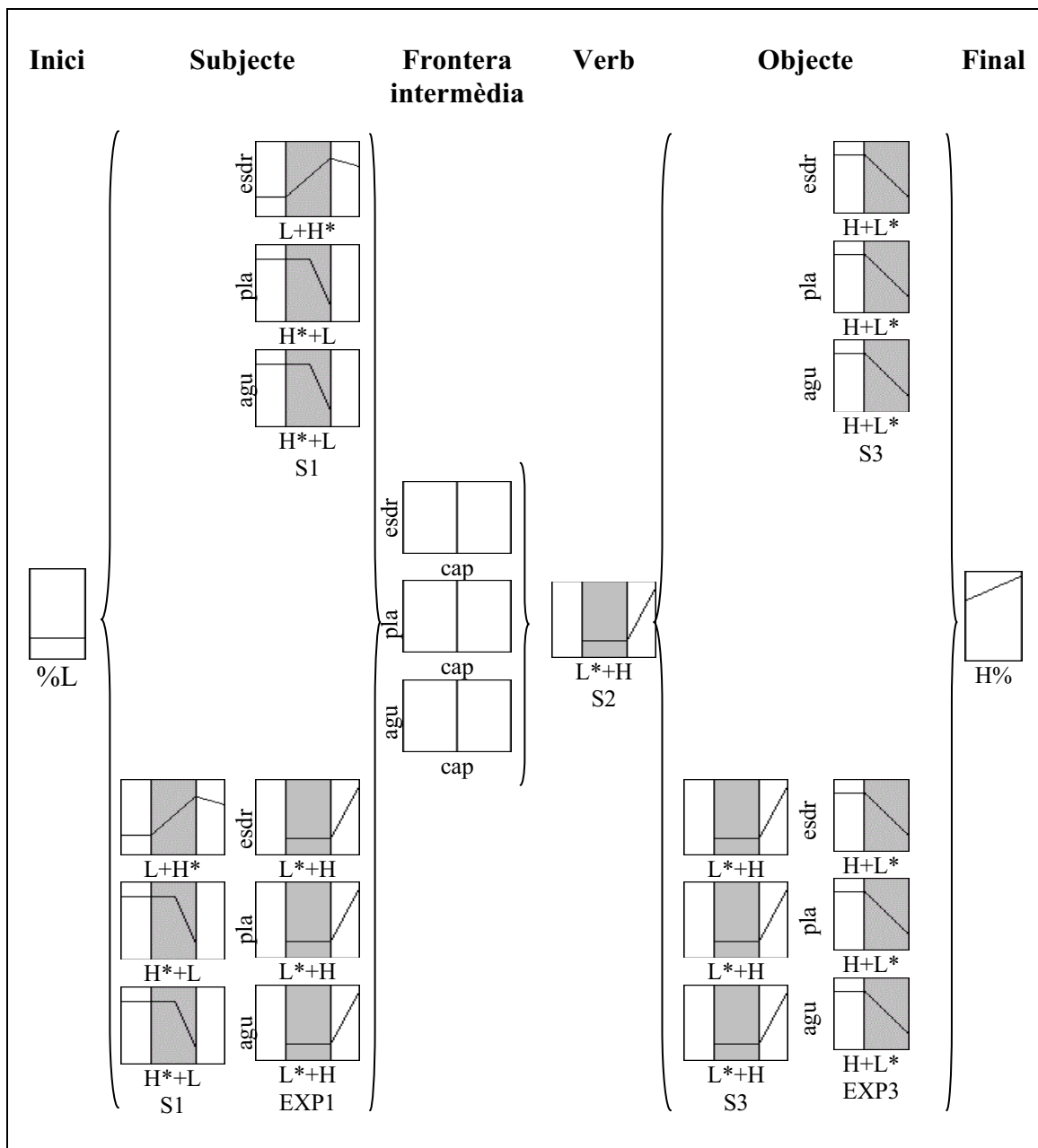


Figura 4.21 – Representació esquemàtica de les estructures profundes d’F0 a les frases declaratives de Gradisca.

Frontera inicial				S1				EXPI				Frontera intermèdia				S2				S3				EXP3				Frontera final															
Tipus de mot	Estr. enton.	N	%	Tipus de mot	Estr. enton.	N	%	Tipus de mot	Estr. enton.	N	%	Tipus de mot	Estr. enton.	N	%	Tipus de mot	Estr. enton.	N	%	Tipus de mot	Estr. enton.	N	%	Tipus de mot	Estr. enton.	N	%	Tipus de mot	Estr. enton.	N	%												
od.	L*	11	26	od.	L*	11	26	od.	L*	11	26	od.	L*	11	26	od.	L*	11	26	od.	L*	11	26	od.	L*	11	26	od.	L*	11	26	od.	L*	11	26	od.	L*	11	26				
	L*H	6	22			L*H	6		22		L*H		6	22			L*H	6	22			L*H	6		22		L*H		6	22			L*H	6	22			L*H	6	22			
	H*+L*	7	24			H*+L*	7		24		H*+L*		7	24			H*+L*	7	24			H*+L*	7		24		H*+L*		7	24			H*+L*	7	24			H*+L*	7	24			
	H*+L	9	32			H*+L	9		32		H*+L		9	32			H*+L	9	32			H*+L	9		32		H*+L		9	32			H*+L	9	32			H*+L	9	32			
ph.	L*	16	75	ph.	L*	16	75	ph.	L*	16	75	ph.	L*	16	75	ph.	L*	16	75	ph.	L*	16	75	ph.	L*	16	75	ph.	L*	16	75	ph.	L*	16	75	ph.	L*	16	75	ph.	L*	16	75
	L*H	6	25			L*H	6		25		L*H		6	25			L*H	6	25			L*H	6		25		L*H		6	25			L*H	6	25			L*H	6		25		
	H*+L*	9	32			H*+L*	9		32		H*+L*		9	32			H*+L*	9	32			H*+L*	9		32		H*+L*		9	32			H*+L*	9	32			H*+L*	9		32		
	H*+L	16	75			H*+L	16		75		H*+L		16	75			H*+L	16	75			H*+L	16		75		H*+L		16	75			H*+L	16	75			H*+L	16		75		
sp.	L*	2	8	sp.	L*	2	8	sp.	L*	2	8	sp.	L*	2	8	sp.	L*	2	8	sp.	L*	2	8	sp.	L*	2	8	sp.	L*	2	8	sp.	L*	2	8	sp.	L*	2	8	sp.	L*	2	8
	L*H	4	16			L*H	4		16		L*H		4	16			L*H	4	16			L*H	4		16		L*H		4	16			L*H	4	16			L*H	4		16		
	H*+L*	9	32			H*+L*	9		32		H*+L*		9	32			H*+L*	9	32			H*+L*	9		32		H*+L*		9	32			H*+L*	9	32			H*+L*	9		32		
	H*+L	9	32			H*+L	9		32		H*+L		9	32			H*+L	9	32			H*+L	9		32		H*+L		9	32			H*+L	9	32			H*+L	9		32		
od.	L*	11	26	od.	L*	11	26	od.	L*	11	26	od.	L*	11	26	od.	L*	11	26	od.	L*	11	26	od.	L*	11	26	od.	L*	11	26	od.	L*	11	26	od.	L*	11	26	od.	L*	11	26
	L*H	6	22			L*H	6		22		L*H		6	22			L*H	6	22			L*H	6		22		L*H		6	22			L*H	6	22			L*H	6		22		
	H*+L*	7	24			H*+L*	7		24		H*+L*		7	24			H*+L*	7	24			H*+L*	7		24		H*+L*		7	24			H*+L*	7	24			H*+L*	7		24		
	H*+L	9	32			H*+L	9		32		H*+L		9	32			H*+L	9	32			H*+L	9		32		H*+L		9	32			H*+L	9	32			H*+L	9		32		
ph.	L*	16	75	ph.	L*	16	75	ph.	L*	16	75	ph.	L*	16	75	ph.	L*	16	75	ph.	L*	16	75	ph.	L*	16	75	ph.	L*	16	75	ph.	L*	16	75	ph.	L*	16	75	ph.	L*	16	75
	L*H	6	25			L*H	6		25		L*H		6	25			L*H	6	25			L*H	6		25		L*H		6	25			L*H	6	25			L*H	6		25		
	H*+L*	9	32			H*+L*	9		32		H*+L*		9	32			H*+L*	9	32			H*+L*	9		32		H*+L*		9	32			H*+L*	9	32			H*+L*	9		32		
	H*+L	16	75			H*+L	16		75		H*+L		16	75			H*+L	16	75			H*+L	16		75		H*+L		16	75			H*+L	16	75			H*+L	16		75		
sp.	L*	2	8	sp.	L*	2	8	sp.	L*	2	8	sp.	L*	2	8	sp.	L*	2	8	sp.	L*	2	8	sp.	L*	2	8	sp.	L*	2	8	sp.	L*	2	8	sp.	L*	2	8	sp.	L*	2	8
	L*H	4	16			L*H	4		16		L*H		4	16			L*H	4	16			L*H	4		16		L*H		4	16			L*H	4	16			L*H	4		16		
	H*+L*	9	32			H*+L*	9		32		H*+L*		9	32			H*+L*	9	32			H*+L*	9		32		H*+L*		9	32			H*+L*	9	32			H*+L*	9		32		
	H*+L	9	32			H*+L	9		32		H*+L		9	32			H*+L	9	32			H*+L	9		32		H*+L		9	32			H*+L	9	32			H*+L	9		32		

Taula 4.53- Sinopsi de la freqüència d'aparició (en termes absoluts i percentuals) de les estructures entonatives profundes a les frases declaratives a la varietat de Gradisca per posició accentual i posició sintagmàtica.

La descripció de la corba entonativa de les interrogatives de Gradisca a partir de les estructures profundes (Taula 4.54) queda establerta com la successió de: a) un to de frontera inicial baix (%L); b) una baixada tonal important entre la síl·laba tònica i la posttònica (és a dir, H*+L) del S1 (i, en cas de presència d'EXP1, com a un accent ascendent amb el pic a la síl·laba tònica -és a dir, L+H*- associat a l'S1 i un accent descendent amb el pic a la pretònica -és a dir, H+L*- associat a l'EXP1); c) un to de frontera baix (és a dir, L-) al final del subjecte; d) un accent ascendent amb el pic a la posttònica (és a dir, L*+H) associat a l'S2; e) un to baix o descendent, és a dir L* o H+L*, segons la posició accentual) associat a l'S3 (i, en cas de presència d'EXP3, un accent baix (L*) associat a l'S3 seguit d'un accent baix -és a dir, L*- a l'EXP3); i f) un to de frontera final alt (H%).

És important notar que a les frases interrogatives la pujada final que realitza el to de frontera sempre passa el llindar psicoacústic d'1,5 st, mentre a les declaratives del mateix punt d'enquesta no ho fa en un 15% dels casos.

Cal destacar que la posició de l'accent a l'interior del mot té un efecte fonètic a l'S1 ja que, de manera molt semblant al que s'ha vist per a la varietat d'Agrons, en absència d'EXP1 l'estructura predominant és H*+L en el cas de les paraules esdrúixoles i planes i H+L* en cas de les agudes. També es nota un efecte de la posició accentual a l'S1 si hi ha presència d'EXP1, ja que -tal com passa a Agrons- als mots esdrúixols preval un accent ascendent amb el pic a la posttònica (L*+H) mentre que als plans i als aguts l'accent més freqüent és ascendent i té el pic a la mateixa síl·laba tònica (L+H*). S'ha de destacar també que la posició de l'accent a l'interior del mot té un efecte fonètic a l'S3 en cas d'absència d'EXP3: si el mot és agut, l'estructura tonal més freqüent és L*, mentre que si és pla o esdrúixol és H+L*. En cas de presència d'EXP3, l'estructura predominant a l'S3 és L* si el mot és pla o agut, però és H+L* si és esdrúixol.

Per tant, si es volgués representar gràficament aquesta línia melòdica a partir de les modes estadístiques, es podria fer servir un esquema com el que es presenta a la Figura 4.22, on cada rectangle representa una síl·laba.

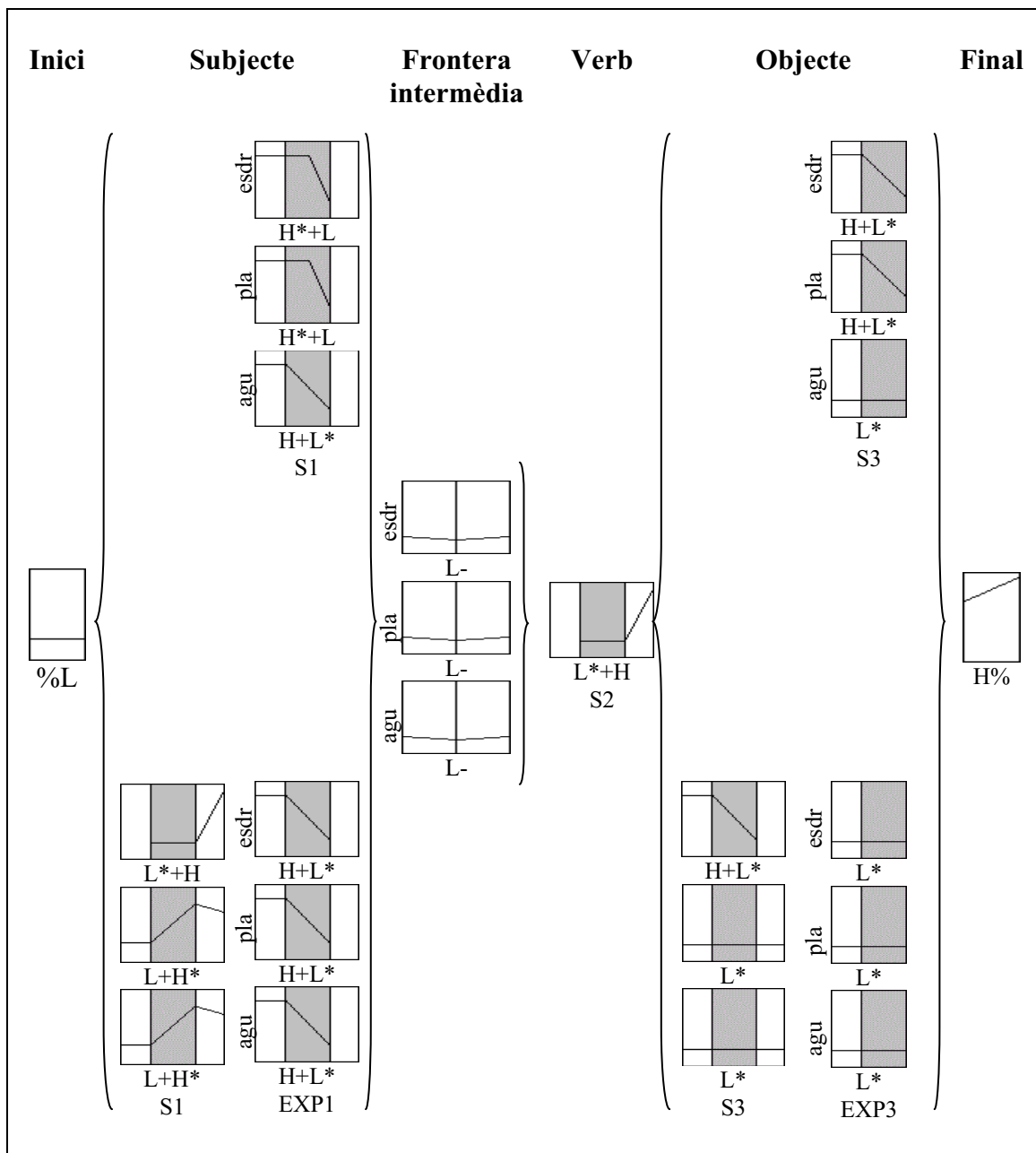


Figura 4.22 – Representació esquemàtica de les estructures profundes d’F0 a les frases interrogatives de Gradisca.

Frontera inicial				S1				EXPI				Frontera intermèdia				S2				S3				EXP3				Frontera final																											
Tipus de mot	Estr. enton.	N	%	Tipus de mot	Estr. enton.	N	%	Tipus de mot	Estr. enton.	N	%	Tipus de mot	Estr. enton.	N	%	Tipus de mot	Estr. enton.	N	%	Tipus de mot	Estr. enton.	N	%	Tipus de mot	Estr. enton.	N	%	Tipus de mot	Estr. enton.	N	%																								
				<table border="1"> <tr><td>od.</td><td>H*</td><td></td><td></td></tr> <tr><td></td><td>L*</td><td></td><td></td></tr> <tr><td></td><td>L*H</td><td>3</td><td>3</td></tr> <tr><td></td><td>L*H*</td><td>1</td><td>4</td></tr> <tr><td></td><td>H*H</td><td>21</td><td>88</td></tr> </table>				od.	H*				L*				L*H	3	3		L*H*	1	4		H*H	21	88																												
od.	H*																																																						
	L*																																																						
	L*H	3	3																																																				
	L*H*	1	4																																																				
	H*H	21	88																																																				
				<table border="1"> <tr><td>ph.</td><td>H*</td><td></td><td></td></tr> <tr><td></td><td>L*</td><td></td><td></td></tr> <tr><td></td><td>L*H</td><td>1</td><td>4</td></tr> <tr><td></td><td>H*H</td><td>21</td><td>88</td></tr> </table>				ph.	H*				L*				L*H	1	4		H*H	21	88																																
ph.	H*																																																						
	L*																																																						
	L*H	1	4																																																				
	H*H	21	88																																																				
				<table border="1"> <tr><td>sp.</td><td>H*</td><td></td><td></td></tr> <tr><td></td><td>L*</td><td></td><td></td></tr> <tr><td></td><td>L*H</td><td>21</td><td>88</td></tr> <tr><td></td><td>H*H</td><td>1</td><td>4</td></tr> </table>				sp.	H*				L*				L*H	21	88		H*H	1	4																																
sp.	H*																																																						
	L*																																																						
	L*H	21	88																																																				
	H*H	1	4																																																				
<table border="1"> <tr><td>od.</td><td>H*</td><td>20</td><td>20</td></tr> <tr><td></td><td>L*</td><td>2</td><td>2</td></tr> <tr><td></td><td>L*H</td><td>62</td><td>100</td></tr> </table>				od.	H*	20	20		L*	2	2		L*H	62	100																																								
od.	H*	20	20																																																				
	L*	2	2																																																				
	L*H	62	100																																																				
				<table border="1"> <tr><td>ph.</td><td>H*</td><td>20</td><td>80</td></tr> <tr><td></td><td>L*</td><td>1</td><td>4</td></tr> <tr><td></td><td>L*H</td><td>1</td><td>4</td></tr> </table>				ph.	H*	20	80		L*	1	4		L*H	1	4																																				
ph.	H*	20	80																																																				
	L*	1	4																																																				
	L*H	1	4																																																				
				<table border="1"> <tr><td>sp.</td><td>H*</td><td>20</td><td>80</td></tr> <tr><td></td><td>L*</td><td>1</td><td>4</td></tr> <tr><td></td><td>L*H</td><td>1</td><td>4</td></tr> </table>				sp.	H*	20	80		L*	1	4		L*H	1	4																																				
sp.	H*	20	80																																																				
	L*	1	4																																																				
	L*H	1	4																																																				
				<table border="1"> <tr><td>od.</td><td>H*</td><td>3</td><td>88</td></tr> <tr><td></td><td>L*</td><td>10</td><td>56</td></tr> <tr><td></td><td>L*H</td><td>1</td><td>6</td></tr> <tr><td></td><td>L*H*</td><td>13</td><td>72</td></tr> <tr><td></td><td>H*H</td><td>4</td><td>22</td></tr> <tr><td></td><td>H*H*</td><td>1</td><td>6</td></tr> </table>				od.	H*	3	88		L*	10	56		L*H	1	6		L*H*	13	72		H*H	4	22		H*H*	1	6																								
od.	H*	3	88																																																				
	L*	10	56																																																				
	L*H	1	6																																																				
	L*H*	13	72																																																				
	H*H	4	22																																																				
	H*H*	1	6																																																				
				<table border="1"> <tr><td>ph.</td><td>H*</td><td>3</td><td>10</td></tr> <tr><td></td><td>L*</td><td>10</td><td>33</td></tr> <tr><td></td><td>L*H</td><td>1</td><td>3</td></tr> <tr><td></td><td>L*H*</td><td>13</td><td>43</td></tr> <tr><td></td><td>H*H</td><td>4</td><td>13</td></tr> <tr><td></td><td>H*H*</td><td>1</td><td>3</td></tr> </table>				ph.	H*	3	10		L*	10	33		L*H	1	3		L*H*	13	43		H*H	4	13		H*H*	1	3																								
ph.	H*	3	10																																																				
	L*	10	33																																																				
	L*H	1	3																																																				
	L*H*	13	43																																																				
	H*H	4	13																																																				
	H*H*	1	3																																																				
				<table border="1"> <tr><td>sp.</td><td>H*</td><td>1</td><td>6</td></tr> <tr><td></td><td>L*</td><td>16</td><td>88</td></tr> <tr><td></td><td>L*H</td><td>1</td><td>6</td></tr> <tr><td></td><td>L*H*</td><td>16</td><td>88</td></tr> <tr><td></td><td>H*H</td><td>1</td><td>6</td></tr> <tr><td></td><td>H*H*</td><td>1</td><td>6</td></tr> </table>				sp.	H*	1	6		L*	16	88		L*H	1	6		L*H*	16	88		H*H	1	6		H*H*	1	6																								
sp.	H*	1	6																																																				
	L*	16	88																																																				
	L*H	1	6																																																				
	L*H*	16	88																																																				
	H*H	1	6																																																				
	H*H*	1	6																																																				
				<table border="1"> <tr><td>od.</td><td>H*</td><td>39</td><td>89</td></tr> <tr><td></td><td>L*</td><td>3</td><td>7</td></tr> <tr><td></td><td>L*H</td><td>38</td><td>86</td></tr> </table>				od.	H*	39	89		L*	3	7		L*H	38	86																																				
od.	H*	39	89																																																				
	L*	3	7																																																				
	L*H	38	86																																																				
				<table border="1"> <tr><td>ph.</td><td>H*</td><td>4</td><td>80</td></tr> <tr><td></td><td>L*</td><td>26</td><td>52</td></tr> <tr><td></td><td>L*H</td><td>6</td><td>12</td></tr> </table>				ph.	H*	4	80		L*	26	52		L*H	6	12																																				
ph.	H*	4	80																																																				
	L*	26	52																																																				
	L*H	6	12																																																				
				<table border="1"> <tr><td>sp.</td><td>H*</td><td>4</td><td>80</td></tr> <tr><td></td><td>L*</td><td>26</td><td>52</td></tr> <tr><td></td><td>L*H</td><td>6</td><td>12</td></tr> </table>				sp.	H*	4	80		L*	26	52		L*H	6	12																																				
sp.	H*	4	80																																																				
	L*	26	52																																																				
	L*H	6	12																																																				
				<table border="1"> <tr><td>od.</td><td>H*</td><td>121</td><td>96</td></tr> <tr><td></td><td>L*</td><td>7</td><td>4</td></tr> <tr><td></td><td>L*H</td><td>121</td><td>96</td></tr> </table>				od.	H*	121	96		L*	7	4		L*H	121	96																																				
od.	H*	121	96																																																				
	L*	7	4																																																				
	L*H	121	96																																																				
				<table border="1"> <tr><td>ph.</td><td>H*</td><td>121</td><td>96</td></tr> <tr><td></td><td>L*</td><td>7</td><td>4</td></tr> <tr><td></td><td>L*H</td><td>121</td><td>96</td></tr> </table>				ph.	H*	121	96		L*	7	4		L*H	121	96																																				
ph.	H*	121	96																																																				
	L*	7	4																																																				
	L*H	121	96																																																				
				<table border="1"> <tr><td>sp.</td><td>H*</td><td>121</td><td>96</td></tr> <tr><td></td><td>L*</td><td>7</td><td>4</td></tr> <tr><td></td><td>L*H</td><td>121</td><td>96</td></tr> </table>				sp.	H*	121	96		L*	7	4		L*H	121	96																																				
sp.	H*	121	96																																																				
	L*	7	4																																																				
	L*H	121	96																																																				
				<table border="1"> <tr><td>od.</td><td>H*</td><td>18</td><td>100</td></tr> <tr><td></td><td>L*</td><td></td><td></td></tr> <tr><td></td><td>L*H</td><td></td><td></td></tr> <tr><td></td><td>L*H*</td><td>15</td><td>83</td></tr> <tr><td></td><td>H*H</td><td>3</td><td>17</td></tr> </table>				od.	H*	18	100		L*				L*H				L*H*	15	83		H*H	3	17																												
od.	H*	18	100																																																				
	L*																																																						
	L*H																																																						
	L*H*	15	83																																																				
	H*H	3	17																																																				
				<table border="1"> <tr><td>ph.</td><td>H*</td><td>18</td><td>100</td></tr> <tr><td></td><td>L*</td><td></td><td></td></tr> <tr><td></td><td>L*H</td><td></td><td></td></tr> <tr><td></td><td>L*H*</td><td>15</td><td>83</td></tr> <tr><td></td><td>H*H</td><td>3</td><td>17</td></tr> </table>				ph.	H*	18	100		L*				L*H				L*H*	15	83		H*H	3	17																												
ph.	H*	18	100																																																				
	L*																																																						
	L*H																																																						
	L*H*	15	83																																																				
	H*H	3	17																																																				
				<table border="1"> <tr><td>sp.</td><td>H*</td><td>18</td><td>100</td></tr> <tr><td></td><td>L*</td><td></td><td></td></tr> <tr><td></td><td>L*H</td><td></td><td></td></tr> <tr><td></td><td>L*H*</td><td>15</td><td>83</td></tr> <tr><td></td><td>H*H</td><td>3</td><td>17</td></tr> </table>				sp.	H*	18	100		L*				L*H				L*H*	15	83		H*H	3	17																												
sp.	H*	18	100																																																				
	L*																																																						
	L*H																																																						
	L*H*	15	83																																																				
	H*H	3	17																																																				
				<table border="1"> <tr><td>od.</td><td>H*</td><td>30</td><td>89</td></tr> <tr><td></td><td>L*</td><td></td><td></td></tr> <tr><td></td><td>L*H</td><td></td><td></td></tr> <tr><td></td><td>L*H*</td><td>1</td><td>6</td></tr> <tr><td></td><td>H*H</td><td>2</td><td>11</td></tr> <tr><td></td><td>H*H*</td><td></td><td></td></tr> </table>				od.	H*	30	89		L*				L*H				L*H*	1	6		H*H	2	11		H*H*																										
od.	H*	30	89																																																				
	L*																																																						
	L*H																																																						
	L*H*	1	6																																																				
	H*H	2	11																																																				
	H*H*																																																						
				<table border="1"> <tr><td>ph.</td><td>H*</td><td>17</td><td>94</td></tr> <tr><td></td><td>L*</td><td></td><td></td></tr> <tr><td></td><td>L*H</td><td></td><td></td></tr> <tr><td></td><td>L*H*</td><td>1</td><td>6</td></tr> <tr><td></td><td>H*H</td><td></td><td></td></tr> <tr><td></td><td>H*H*</td><td></td><td></td></tr> </table>				ph.	H*	17	94		L*				L*H				L*H*	1	6		H*H				H*H*																										
ph.	H*	17	94																																																				
	L*																																																						
	L*H																																																						
	L*H*	1	6																																																				
	H*H																																																						
	H*H*																																																						
				<table border="1"> <tr><td>sp.</td><td>H*</td><td>17</td><td>94</td></tr> <tr><td></td><td>L*</td><td></td><td></td></tr> <tr><td></td><td>L*H</td><td></td><td></td></tr> <tr><td></td><td>L*H*</td><td>1</td><td>6</td></tr> <tr><td></td><td>H*H</td><td></td><td></td></tr> <tr><td></td><td>H*H*</td><td></td><td></td></tr> </table>				sp.	H*	17	94		L*				L*H				L*H*	1	6		H*H				H*H*																										
sp.	H*	17	94																																																				
	L*																																																						
	L*H																																																						
	L*H*	1	6																																																				
	H*H																																																						
	H*H*																																																						

Taula 4.54.- Sinopsi de la freqüència d'aparició (en termes absoluts i percentuals) de les estructures entonatives profundes a les frases interrogatives a la varietat de Gradisca per posició accentual i posició sintagmàtica.

4.3.3.4. Taxonomia de les estructures entonatives profundes del dialecte de Tesis

La corba entonativa de les declaratives de Tesis es pot descriure a partir de les estructures entonatives profundes (Taula 4.55) com la successió de: a) un to de frontera inicial baix (%L); b) un accent ascendent amb el pic a la posttònica (és a dir, L*+H) associat a l'S1 (i, en cas de presència d'EXP1, com a un to ascendent amb el pic a la síl·laba tònica -és a dir, L+H*- associat a l'S1 i un accent ascendent amb el pic a la posttònica -és a dir, L*+H- associat a l'EXP1); c) cap frontera entonativa al final del subjecte; d) un accent ascendent amb el pic a la posttònica (és a dir, L*+H) associat a l'S2; e) un accent descendent des de la pretònica (és a dir, H+L*) associat a l'S3 (i, en cas de presència d'EXP3, un accent ascendent amb el pic a la posttònica (és a dir, L*+H) associat a l'S3 seguit d'un accent descendent des de la pretònica -és a dir, H+L*- a l'EXP3); i f) un to de frontera final baix.

De cara a les consideracions que es desenvoluparan a l'apartat 5.1.4.3.2, és oportú subratllar que, pel que fa al to de frontera final, tot i que en la majoria dels casos es realitza com a un to baix, en un cas es nota una pujada final que arriba a passar el llindar de significativitat psicoacústica.

Cal destacar que la posició de l'accent a l'interior del mot té un efecte fonètic a l'S1, almenys aparentment: sembla que les paraules agudes tinguin majoritàriament una configuració tonal baixa en cas d'absència d'EXP1, tot i això, una anàlisi més detallada de les dades revela que es tracta d'un efecte del camp tonal tan reduït que fa servir l'informant masculí en molts casos. La posició accentual té un efecte també a l'S3 en presència d'EXP3: si el mot és esdrúixol o pla, es nota un moviment tonal ascendent amb el pic a la posttònica, però si el mot és agut el moviment en qüestió es realitza de manera reduïda només a la tònica, i per tant les fórmules l'etiqueten com a accent monotonal (H*). Pel mateix motiu, la presència d'accents monotonals alts (H*) és exagerada a l'etiquetatge dels mots aguts a l'S3 en presència d'EXP3.

Si es volgués representar gràficament aquesta línia melòdica a partir de les modes estadístiques, es podria fer servir un esquema com el que es presenta a la Figura 4.23, on cada rectangle representa una síl·laba.

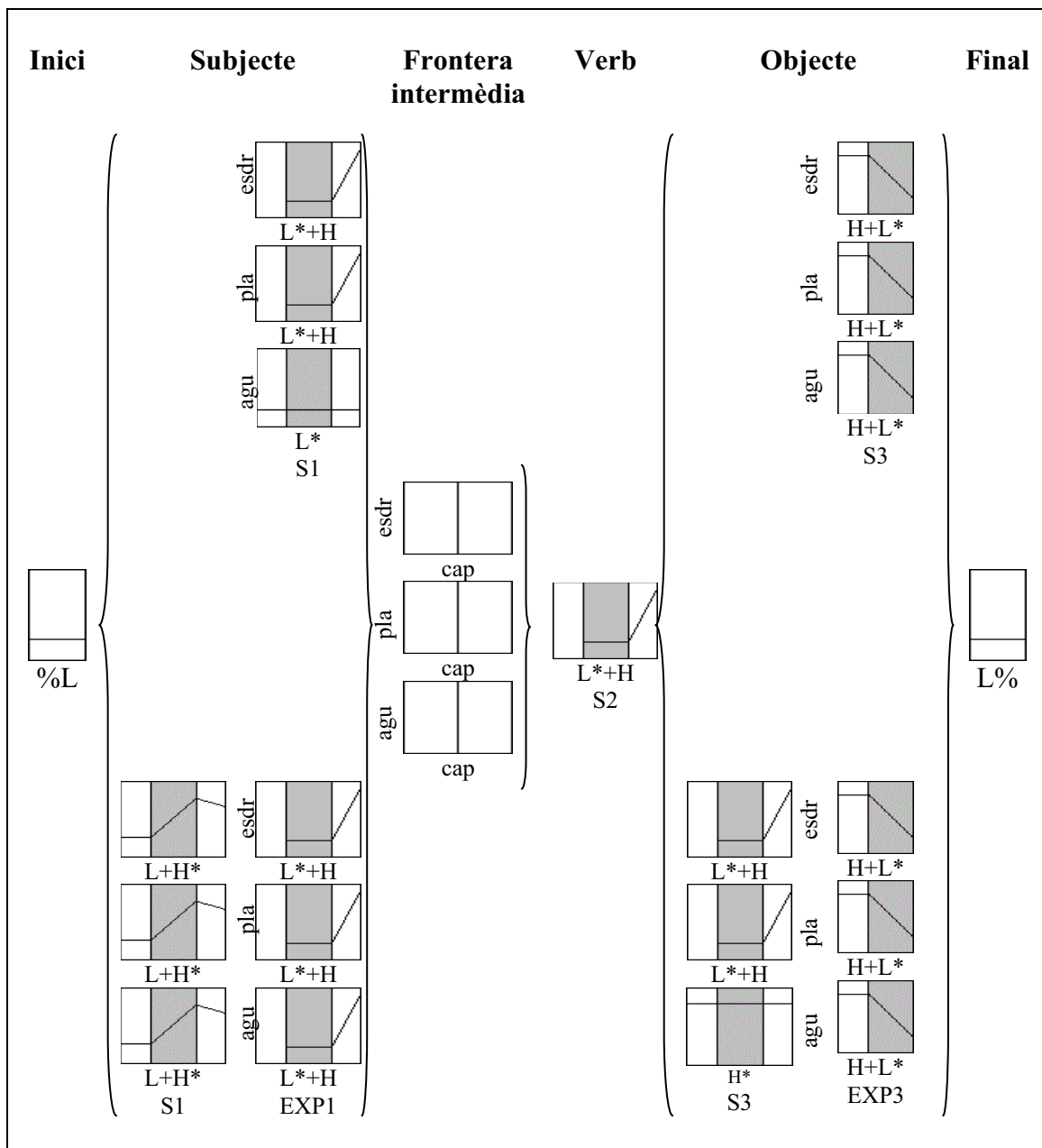


Figura 4.23 – Representació esquemàtica de les estructures profundes d'F0 a les frases declaratives de Tesis.

Frontera inicial				S1				EXPI				Frontera intermèdia				S2				S3				EXP3				Frontera final																																																																																																																																																																																																																																																																																																																																																																																																																																																																																																																																																																																																																																																																																																																																																					
Tipus de mot	Estr. enton.	N	%	Tipus de mot	Estr. enton.	N	%	Tipus de mot	Estr. enton.	N	%	Tipus de mot	Estr. enton.	N	%	Tipus de mot	Estr. enton.	N	%	Tipus de mot	Estr. enton.	N	%	Tipus de mot	Estr. enton.	N	%	Tipus de mot	Estr. enton.	N	%																																																																																																																																																																																																																																																																																																																																																																																																																																																																																																																																																																																																																																																																																																																																																		
od.	L*	1	4	<table border="1"> <tr><td>L*</td><td>1</td><td>6</td></tr> <tr><td>L+H</td><td>17</td><td>94</td></tr> <tr><td>H+L*</td><td></td><td></td></tr> <tr><td>H*</td><td>1</td><td>6</td></tr> <tr><td>L*</td><td>1</td><td>6</td></tr> <tr><td>L+H</td><td>17</td><td>94</td></tr> <tr><td>H+L*</td><td></td><td></td></tr> <tr><td>H*</td><td>3</td><td>16</td></tr> <tr><td>L+H</td><td>4</td><td>22</td></tr> <tr><td>L+H</td><td>7</td><td>39</td></tr> <tr><td>H+L*</td><td>2</td><td>11</td></tr> <tr><td>H+L</td><td>2</td><td>11</td></tr> </table>			L*	1	6	L+H	17	94	H+L*			H*	1	6	L*	1	6	L+H	17	94	H+L*			H*	3	16	L+H	4	22	L+H	7	39	H+L*	2	11	H+L	2	11	<table border="1"> <tr><td>L*</td><td>3</td><td>15</td></tr> <tr><td>L+H</td><td>7</td><td>32</td></tr> <tr><td>L+H</td><td>10</td><td>42</td></tr> <tr><td>H+L*</td><td>10</td><td>42</td></tr> <tr><td>H+L</td><td>2</td><td>10</td></tr> <tr><td>L*</td><td>2</td><td>10</td></tr> <tr><td>L+H</td><td>8</td><td>33</td></tr> <tr><td>L+H</td><td>15</td><td>60</td></tr> <tr><td>H+L*</td><td>10</td><td>38</td></tr> <tr><td>H+L</td><td>2</td><td>8</td></tr> </table>			L*	3	15	L+H	7	32	L+H	10	42	H+L*	10	42	H+L	2	10	L*	2	10	L+H	8	33	L+H	15	60	H+L*	10	38	H+L	2	8	<table border="1"> <tr><td>L*</td><td>10</td><td>24</td></tr> <tr><td>L+H</td><td>4</td><td>10</td></tr> <tr><td>L+H</td><td>21</td><td>49</td></tr> <tr><td>L+H</td><td>13</td><td>31</td></tr> <tr><td>L+H</td><td>10</td><td>24</td></tr> <tr><td>L+H</td><td>10</td><td>24</td></tr> <tr><td>L+H</td><td>10</td><td>24</td></tr> <tr><td>L+H</td><td>17</td><td>40</td></tr> <tr><td>L+H</td><td>10</td><td>24</td></tr> <tr><td>L+H</td><td>10</td><td>24</td></tr> </table>			L*	10	24	L+H	4	10	L+H	21	49	L+H	13	31	L+H	10	24	L+H	10	24	L+H	10	24	L+H	17	40	L+H	10	24	L+H	10	24	<table border="1"> <tr><td>L*</td><td>2</td><td>1</td></tr> <tr><td>L+H</td><td>160</td><td>82</td></tr> <tr><td>H+L*</td><td></td><td></td></tr> </table>			L*	2	1	L+H	160	82	H+L*			<table border="1"> <tr><td>L*</td><td>1</td><td>4</td></tr> <tr><td>L+H</td><td>23</td><td>96</td></tr> <tr><td>H+L*</td><td></td><td></td></tr> <tr><td>L*</td><td></td><td></td></tr> <tr><td>L+H</td><td>24</td><td>100</td></tr> <tr><td>H+L*</td><td></td><td></td></tr> <tr><td>L*</td><td></td><td></td></tr> <tr><td>L+H</td><td>24</td><td>100</td></tr> <tr><td>H+L*</td><td></td><td></td></tr> <tr><td>L*</td><td></td><td></td></tr> </table>			L*	1	4	L+H	23	96	H+L*			L*			L+H	24	100	H+L*			L*			L+H	24	100	H+L*			L*			<table border="1"> <tr><td>L*</td><td>1</td><td>6</td></tr> <tr><td>L+H</td><td>17</td><td>94</td></tr> <tr><td>H+L*</td><td></td><td></td></tr> <tr><td>H*</td><td>1</td><td>6</td></tr> <tr><td>L*</td><td>1</td><td>6</td></tr> <tr><td>L+H</td><td>17</td><td>94</td></tr> <tr><td>H+L*</td><td></td><td></td></tr> <tr><td>H*</td><td>4</td><td>22</td></tr> <tr><td>L+H</td><td>7</td><td>39</td></tr> <tr><td>L+H</td><td>7</td><td>39</td></tr> <tr><td>H+L*</td><td>2</td><td>11</td></tr> <tr><td>H+L</td><td>2</td><td>11</td></tr> </table>			L*	1	6	L+H	17	94	H+L*			H*	1	6	L*	1	6	L+H	17	94	H+L*			H*	4	22	L+H	7	39	L+H	7	39	H+L*	2	11	H+L	2	11	<table border="1"> <tr><td>L*</td><td>3</td><td>15</td></tr> <tr><td>L+H</td><td>7</td><td>32</td></tr> <tr><td>L+H</td><td>10</td><td>42</td></tr> <tr><td>H+L*</td><td>10</td><td>42</td></tr> <tr><td>H+L</td><td>2</td><td>10</td></tr> <tr><td>L*</td><td>2</td><td>10</td></tr> <tr><td>L+H</td><td>8</td><td>33</td></tr> <tr><td>L+H</td><td>15</td><td>60</td></tr> <tr><td>H+L*</td><td>10</td><td>38</td></tr> <tr><td>H+L</td><td>2</td><td>8</td></tr> </table>			L*	3	15	L+H	7	32	L+H	10	42	H+L*	10	42	H+L	2	10	L*	2	10	L+H	8	33	L+H	15	60	H+L*	10	38	H+L	2	8	<table border="1"> <tr><td>L*</td><td>10</td><td>24</td></tr> <tr><td>L+H</td><td>4</td><td>10</td></tr> <tr><td>L+H</td><td>21</td><td>49</td></tr> <tr><td>L+H</td><td>13</td><td>31</td></tr> <tr><td>L+H</td><td>10</td><td>24</td></tr> <tr><td>L+H</td><td>10</td><td>24</td></tr> <tr><td>L+H</td><td>10</td><td>24</td></tr> <tr><td>L+H</td><td>17</td><td>40</td></tr> <tr><td>L+H</td><td>10</td><td>24</td></tr> <tr><td>L+H</td><td>10</td><td>24</td></tr> </table>			L*	10	24	L+H	4	10	L+H	21	49	L+H	13	31	L+H	10	24	L+H	10	24	L+H	10	24	L+H	17	40	L+H	10	24	L+H	10	24	<table border="1"> <tr><td>L*</td><td>2</td><td>1</td></tr> <tr><td>L+H</td><td>160</td><td>82</td></tr> <tr><td>H+L*</td><td></td><td></td></tr> </table>			L*	2	1	L+H	160	82	H+L*			<table border="1"> <tr><td>L*</td><td>1</td><td>4</td></tr> <tr><td>L+H</td><td>23</td><td>96</td></tr> <tr><td>H+L*</td><td></td><td></td></tr> <tr><td>L*</td><td></td><td></td></tr> <tr><td>L+H</td><td>24</td><td>100</td></tr> <tr><td>H+L*</td><td></td><td></td></tr> <tr><td>L*</td><td></td><td></td></tr> <tr><td>L+H</td><td>24</td><td>100</td></tr> <tr><td>H+L*</td><td></td><td></td></tr> <tr><td>L*</td><td></td><td></td></tr> </table>			L*	1	4	L+H	23	96	H+L*			L*			L+H	24	100	H+L*			L*			L+H	24	100	H+L*			L*			<table border="1"> <tr><td>L*</td><td>1</td><td>6</td></tr> <tr><td>L+H</td><td>17</td><td>94</td></tr> <tr><td>H+L*</td><td></td><td></td></tr> <tr><td>H*</td><td>1</td><td>6</td></tr> <tr><td>L*</td><td>1</td><td>6</td></tr> <tr><td>L+H</td><td>17</td><td>94</td></tr> <tr><td>H+L*</td><td></td><td></td></tr> <tr><td>H*</td><td>4</td><td>22</td></tr> <tr><td>L+H</td><td>7</td><td>39</td></tr> <tr><td>L+H</td><td>7</td><td>39</td></tr> <tr><td>H+L*</td><td>2</td><td>11</td></tr> <tr><td>H+L</td><td>2</td><td>11</td></tr> </table>			L*	1	6	L+H	17	94	H+L*			H*	1	6	L*	1	6	L+H	17	94	H+L*			H*	4	22	L+H	7	39	L+H	7	39	H+L*	2	11	H+L	2	11	<table border="1"> <tr><td>L*</td><td>3</td><td>15</td></tr> <tr><td>L+H</td><td>7</td><td>32</td></tr> <tr><td>L+H</td><td>10</td><td>42</td></tr> <tr><td>H+L*</td><td>10</td><td>42</td></tr> <tr><td>H+L</td><td>2</td><td>10</td></tr> <tr><td>L*</td><td>2</td><td>10</td></tr> <tr><td>L+H</td><td>8</td><td>33</td></tr> <tr><td>L+H</td><td>15</td><td>60</td></tr> <tr><td>H+L*</td><td>10</td><td>38</td></tr> <tr><td>H+L</td><td>2</td><td>8</td></tr> </table>			L*	3	15	L+H	7	32	L+H	10	42	H+L*	10	42	H+L	2	10	L*	2	10	L+H	8	33	L+H	15	60	H+L*	10	38	H+L	2	8	<table border="1"> <tr><td>L*</td><td>10</td><td>24</td></tr> <tr><td>L+H</td><td>4</td><td>10</td></tr> <tr><td>L+H</td><td>21</td><td>49</td></tr> <tr><td>L+H</td><td>13</td><td>31</td></tr> <tr><td>L+H</td><td>10</td><td>24</td></tr> <tr><td>L+H</td><td>10</td><td>24</td></tr> <tr><td>L+H</td><td>10</td><td>24</td></tr> <tr><td>L+H</td><td>17</td><td>40</td></tr> <tr><td>L+H</td><td>10</td><td>24</td></tr> <tr><td>L+H</td><td>10</td><td>24</td></tr> </table>			L*	10	24	L+H	4	10	L+H	21	49	L+H	13	31	L+H	10	24	L+H	10	24	L+H	10	24	L+H	17	40	L+H	10	24	L+H	10	24	<table border="1"> <tr><td>L*</td><td>2</td><td>1</td></tr> <tr><td>L+H</td><td>160</td><td>82</td></tr> <tr><td>H+L*</td><td></td><td></td></tr> </table>			L*	2	1	L+H	160	82	H+L*			<table border="1"> <tr><td>L*</td><td>1</td><td>4</td></tr> <tr><td>L+H</td><td>23</td><td>96</td></tr> <tr><td>H+L*</td><td></td><td></td></tr> <tr><td>L*</td><td></td><td></td></tr> <tr><td>L+H</td><td>24</td><td>100</td></tr> <tr><td>H+L*</td><td></td><td></td></tr> <tr><td>L*</td><td></td><td></td></tr> <tr><td>L+H</td><td>24</td><td>100</td></tr> <tr><td>H+L*</td><td></td><td></td></tr> <tr><td>L*</td><td></td><td></td></tr> </table>			L*	1	4	L+H	23	96	H+L*			L*			L+H	24	100	H+L*			L*			L+H	24	100	H+L*			L*			<table border="1"> <tr><td>L*</td><td>1</td><td>6</td></tr> <tr><td>L+H</td><td>17</td><td>94</td></tr> <tr><td>H+L*</td><td></td><td></td></tr> <tr><td>H*</td><td>1</td><td>6</td></tr> <tr><td>L*</td><td>1</td><td>6</td></tr> <tr><td>L+H</td><td>17</td><td>94</td></tr> <tr><td>H+L*</td><td></td><td></td></tr> <tr><td>H*</td><td>4</td><td>22</td></tr> <tr><td>L+H</td><td>7</td><td>39</td></tr> <tr><td>L+H</td><td>7</td><td>39</td></tr> <tr><td>H+L*</td><td>2</td><td>11</td></tr> <tr><td>H+L</td><td>2</td><td>11</td></tr> </table>			L*	1	6	L+H	17	94	H+L*			H*	1	6	L*	1	6	L+H	17	94	H+L*			H*	4	22	L+H	7	39	L+H	7	39	H+L*	2	11	H+L	2	11	<table border="1"> <tr><td>L*</td><td>3</td><td>15</td></tr> <tr><td>L+H</td><td>7</td><td>32</td></tr> <tr><td>L+H</td><td>10</td><td>42</td></tr> <tr><td>H+L*</td><td>10</td><td>42</td></tr> <tr><td>H+L</td><td>2</td><td>10</td></tr> <tr><td>L*</td><td>2</td><td>10</td></tr> <tr><td>L+H</td><td>8</td><td>33</td></tr> <tr><td>L+H</td><td>15</td><td>60</td></tr> <tr><td>H+L*</td><td>10</td><td>38</td></tr> <tr><td>H+L</td><td>2</td><td>8</td></tr> </table>			L*	3	15	L+H	7	32	L+H	10	42	H+L*	10	42	H+L	2	10	L*	2	10	L+H	8	33	L+H	15	60	H+L*	10	38	H+L	2	8	<table border="1"> <tr><td>L*</td><td>10</td><td>24</td></tr> <tr><td>L+H</td><td>4</td><td>10</td></tr> <tr><td>L+H</td><td>21</td><td>49</td></tr> <tr><td>L+H</td><td>13</td><td>31</td></tr> <tr><td>L+H</td><td>10</td><td>24</td></tr> <tr><td>L+H</td><td>10</td><td>24</td></tr> <tr><td>L+H</td><td>10</td><td>24</td></tr> <tr><td>L+H</td><td>17</td><td>40</td></tr> <tr><td>L+H</td><td>10</td><td>24</td></tr> <tr><td>L+H</td><td>10</td><td>24</td></tr> </table>			L*	10	24	L+H	4	10	L+H	21	49	L+H	13	31	L+H	10	24	L+H	10	24	L+H	10	24	L+H	17	40	L+H	10	24	L+H	10	24	<table border="1"> <tr><td>L*</td><td>2</td><td>1</td></tr> <tr><td>L+H</td><td>160</td><td>82</td></tr> <tr><td>H+L*</td><td></td><td></td></tr> </table>			L*	2	1	L+H	160	82	H+L*			<table border="1"> <tr><td>L*</td><td>1</td><td>4</td></tr> <tr><td>L+H</td><td>23</td><td>96</td></tr> <tr><td>H+L*</td><td></td><td></td></tr> <tr><td>L*</td><td></td><td></td></tr> <tr><td>L+H</td><td>24</td><td>100</td></tr> <tr><td>H+L*</td><td></td><td></td></tr> <tr><td>L*</td><td></td><td></td></tr> <tr><td>L+H</td><td>24</td><td>100</td></tr> <tr><td>H+L*</td><td></td><td></td></tr> <tr><td>L*</td><td></td><td></td></tr> </table>			L*	1	4	L+H	23	96	H+L*			L*			L+H	24	100	H+L*			L*			L+H	24	100	H+L*			L*			<table border="1"> <tr><td>L*</td><td>1</td><td>6</td></tr> <tr><td>L+H</td><td>17</td><td>94</td></tr> <tr><td>H+L*</td><td></td><td></td></tr> <tr><td>H*</td><td>1</td><td>6</td></tr> <tr><td>L*</td><td>1</td><td>6</td></tr> <tr><td>L+H</td><td>17</td><td>94</td></tr> <tr><td>H+L*</td><td></td><td></td></tr> <tr><td>H*</td><td>4</td><td>22</td></tr> <tr><td>L+H</td><td>7</td><td>39</td></tr> <tr><td>L+H</td><td>7</td><td>39</td></tr> <tr><td>H+L*</td><td>2</td><td>11</td></tr> <tr><td>H+L</td><td>2</td><td>11</td></tr> </table>			L*	1	6	L+H	17	94	H+L*			H*	1	6	L*	1	6	L+H	17	94	H+L*			H*	4	22	L+H	7	39	L+H	7	39	H+L*	2	11	H+L	2	11	<table border="1"> <tr><td>L*</td><td>3</td><td>15</td></tr> <tr><td>L+H</td><td>7</td><td>32</td></tr> <tr><td>L+H</td><td>10</td><td>42</td></tr> <tr><td>H+L*</td><td>10</td><td>42</td></tr> <tr><td>H+L</td><td>2</td><td>10</td></tr> <tr><td>L*</td><td>2</td><td>10</td></tr> <tr><td>L+H</td><td>8</td><td>33</td></tr> <tr><td>L+H</td><td>15</td><td>60</td></tr> <tr><td>H+L*</td><td>10</td><td>38</td></tr> <tr><td>H+L</td><td>2</td><td>8</td></tr> </table>			L*	3	15	L+H	7	32	L+H	10	42	H+L*	10	42	H+L	2	10	L*	2	10	L+H	8	33	L+H	15	60	H+L*	10	38	H+L	2	8	<table border="1"> <tr><td>L*</td><td>10</td><td>24</td></tr> <tr><td>L+H</td><td>4</td><td>10</td></tr> <tr><td>L+H</td><td>21</td><td>49</td></tr> <tr><td>L+H</td><td>13</td><td>31</td></tr> <tr><td>L+H</td><td>10</td><td>24</td></tr> <tr><td>L+H</td><td>10</td><td>24</td></tr> <tr><td>L+H</td><td>10</td><td>24</td></tr> <tr><td>L+H</td><td>17</td><td>40</td></tr> <tr><td>L+H</td><td>10</td><td>24</td></tr> <tr><td>L+H</td><td>10</td><td>24</td></tr> </table>			L*	10	24	L+H	4	10	L+H	21	49	L+H	13	31	L+H	10	24	L+H	10	24	L+H	10	24	L+H	17	40	L+H	10	24	L+H	10	24	<table border="1"> <tr><td>L*</td><td>2</td><td>1</td></tr> <tr><td>L+H</td><td>160</td><td>82</td></tr> <tr><td>H+L*</td><td></td><td></td></tr> </table>			L*	2	1	L+H	160	82	H+L*			<table border="1"> <tr><td>L*</td><td>1</td><td>4</td></tr> <tr><td>L+H</td><td>23</td><td>96</td></tr> <tr><td>H+L*</td><td></td><td></td></tr> <tr><td>L*</td><td></td><td></td></tr> <tr><td>L+H</td><td>24</td><td>100</td></tr> <tr><td>H+L*</td><td></td><td></td></tr> <tr><td>L*</td><td></td><td></td></tr> <tr><td>L+H</td><td>24</td><td>100</td></tr> <tr><td>H+L*</td><td></td><td></td></tr> <tr><td>L*</td><td></td><td></td></tr> </table>			L*	1	4	L+H	23	96	H+L*			L*			L+H	24	100	H+L*			L*			L+H	24	100	H+L*			L*		
L*	1	6																																																																																																																																																																																																																																																																																																																																																																																																																																																																																																																																																																																																																																																																																																																																																																															
L+H	17	94																																																																																																																																																																																																																																																																																																																																																																																																																																																																																																																																																																																																																																																																																																																																																																															
H+L*																																																																																																																																																																																																																																																																																																																																																																																																																																																																																																																																																																																																																																																																																																																																																																																	
H*	1	6																																																																																																																																																																																																																																																																																																																																																																																																																																																																																																																																																																																																																																																																																																																																																																															
L*	1	6																																																																																																																																																																																																																																																																																																																																																																																																																																																																																																																																																																																																																																																																																																																																																																															
L+H	17	94																																																																																																																																																																																																																																																																																																																																																																																																																																																																																																																																																																																																																																																																																																																																																																															
H+L*																																																																																																																																																																																																																																																																																																																																																																																																																																																																																																																																																																																																																																																																																																																																																																																	
H*	3	16																																																																																																																																																																																																																																																																																																																																																																																																																																																																																																																																																																																																																																																																																																																																																																															
L+H	4	22																																																																																																																																																																																																																																																																																																																																																																																																																																																																																																																																																																																																																																																																																																																																																																															
L+H	7	39																																																																																																																																																																																																																																																																																																																																																																																																																																																																																																																																																																																																																																																																																																																																																																															
H+L*	2	11																																																																																																																																																																																																																																																																																																																																																																																																																																																																																																																																																																																																																																																																																																																																																																															
H+L	2	11																																																																																																																																																																																																																																																																																																																																																																																																																																																																																																																																																																																																																																																																																																																																																																															
L*	3	15																																																																																																																																																																																																																																																																																																																																																																																																																																																																																																																																																																																																																																																																																																																																																																															
L+H	7	32																																																																																																																																																																																																																																																																																																																																																																																																																																																																																																																																																																																																																																																																																																																																																																															
L+H	10	42																																																																																																																																																																																																																																																																																																																																																																																																																																																																																																																																																																																																																																																																																																																																																																															
H+L*	10	42																																																																																																																																																																																																																																																																																																																																																																																																																																																																																																																																																																																																																																																																																																																																																																															
H+L	2	10																																																																																																																																																																																																																																																																																																																																																																																																																																																																																																																																																																																																																																																																																																																																																																															
L*	2	10																																																																																																																																																																																																																																																																																																																																																																																																																																																																																																																																																																																																																																																																																																																																																																															
L+H	8	33																																																																																																																																																																																																																																																																																																																																																																																																																																																																																																																																																																																																																																																																																																																																																																															
L+H	15	60																																																																																																																																																																																																																																																																																																																																																																																																																																																																																																																																																																																																																																																																																																																																																																															
H+L*	10	38																																																																																																																																																																																																																																																																																																																																																																																																																																																																																																																																																																																																																																																																																																																																																																															
H+L	2	8																																																																																																																																																																																																																																																																																																																																																																																																																																																																																																																																																																																																																																																																																																																																																																															
L*	10	24																																																																																																																																																																																																																																																																																																																																																																																																																																																																																																																																																																																																																																																																																																																																																																															
L+H	4	10																																																																																																																																																																																																																																																																																																																																																																																																																																																																																																																																																																																																																																																																																																																																																																															
L+H	21	49																																																																																																																																																																																																																																																																																																																																																																																																																																																																																																																																																																																																																																																																																																																																																																															
L+H	13	31																																																																																																																																																																																																																																																																																																																																																																																																																																																																																																																																																																																																																																																																																																																																																																															
L+H	10	24																																																																																																																																																																																																																																																																																																																																																																																																																																																																																																																																																																																																																																																																																																																																																																															
L+H	10	24																																																																																																																																																																																																																																																																																																																																																																																																																																																																																																																																																																																																																																																																																																																																																																															
L+H	10	24																																																																																																																																																																																																																																																																																																																																																																																																																																																																																																																																																																																																																																																																																																																																																																															
L+H	17	40																																																																																																																																																																																																																																																																																																																																																																																																																																																																																																																																																																																																																																																																																																																																																																															
L+H	10	24																																																																																																																																																																																																																																																																																																																																																																																																																																																																																																																																																																																																																																																																																																																																																																															
L+H	10	24																																																																																																																																																																																																																																																																																																																																																																																																																																																																																																																																																																																																																																																																																																																																																																															
L*	2	1																																																																																																																																																																																																																																																																																																																																																																																																																																																																																																																																																																																																																																																																																																																																																																															
L+H	160	82																																																																																																																																																																																																																																																																																																																																																																																																																																																																																																																																																																																																																																																																																																																																																																															
H+L*																																																																																																																																																																																																																																																																																																																																																																																																																																																																																																																																																																																																																																																																																																																																																																																	
L*	1	4																																																																																																																																																																																																																																																																																																																																																																																																																																																																																																																																																																																																																																																																																																																																																																															
L+H	23	96																																																																																																																																																																																																																																																																																																																																																																																																																																																																																																																																																																																																																																																																																																																																																																															
H+L*																																																																																																																																																																																																																																																																																																																																																																																																																																																																																																																																																																																																																																																																																																																																																																																	
L*																																																																																																																																																																																																																																																																																																																																																																																																																																																																																																																																																																																																																																																																																																																																																																																	
L+H	24	100																																																																																																																																																																																																																																																																																																																																																																																																																																																																																																																																																																																																																																																																																																																																																																															
H+L*																																																																																																																																																																																																																																																																																																																																																																																																																																																																																																																																																																																																																																																																																																																																																																																	
L*																																																																																																																																																																																																																																																																																																																																																																																																																																																																																																																																																																																																																																																																																																																																																																																	
L+H	24	100																																																																																																																																																																																																																																																																																																																																																																																																																																																																																																																																																																																																																																																																																																																																																																															
H+L*																																																																																																																																																																																																																																																																																																																																																																																																																																																																																																																																																																																																																																																																																																																																																																																	
L*																																																																																																																																																																																																																																																																																																																																																																																																																																																																																																																																																																																																																																																																																																																																																																																	
L*	1	6																																																																																																																																																																																																																																																																																																																																																																																																																																																																																																																																																																																																																																																																																																																																																																															
L+H	17	94																																																																																																																																																																																																																																																																																																																																																																																																																																																																																																																																																																																																																																																																																																																																																																															
H+L*																																																																																																																																																																																																																																																																																																																																																																																																																																																																																																																																																																																																																																																																																																																																																																																	
H*	1	6																																																																																																																																																																																																																																																																																																																																																																																																																																																																																																																																																																																																																																																																																																																																																																															
L*	1	6																																																																																																																																																																																																																																																																																																																																																																																																																																																																																																																																																																																																																																																																																																																																																																															
L+H	17	94																																																																																																																																																																																																																																																																																																																																																																																																																																																																																																																																																																																																																																																																																																																																																																															
H+L*																																																																																																																																																																																																																																																																																																																																																																																																																																																																																																																																																																																																																																																																																																																																																																																	
H*	4	22																																																																																																																																																																																																																																																																																																																																																																																																																																																																																																																																																																																																																																																																																																																																																																															
L+H	7	39																																																																																																																																																																																																																																																																																																																																																																																																																																																																																																																																																																																																																																																																																																																																																																															
L+H	7	39																																																																																																																																																																																																																																																																																																																																																																																																																																																																																																																																																																																																																																																																																																																																																																															
H+L*	2	11																																																																																																																																																																																																																																																																																																																																																																																																																																																																																																																																																																																																																																																																																																																																																																															
H+L	2	11																																																																																																																																																																																																																																																																																																																																																																																																																																																																																																																																																																																																																																																																																																																																																																															
L*	3	15																																																																																																																																																																																																																																																																																																																																																																																																																																																																																																																																																																																																																																																																																																																																																																															
L+H	7	32																																																																																																																																																																																																																																																																																																																																																																																																																																																																																																																																																																																																																																																																																																																																																																															
L+H	10	42																																																																																																																																																																																																																																																																																																																																																																																																																																																																																																																																																																																																																																																																																																																																																																															
H+L*	10	42																																																																																																																																																																																																																																																																																																																																																																																																																																																																																																																																																																																																																																																																																																																																																																															
H+L	2	10																																																																																																																																																																																																																																																																																																																																																																																																																																																																																																																																																																																																																																																																																																																																																																															
L*	2	10																																																																																																																																																																																																																																																																																																																																																																																																																																																																																																																																																																																																																																																																																																																																																																															
L+H	8	33																																																																																																																																																																																																																																																																																																																																																																																																																																																																																																																																																																																																																																																																																																																																																																															
L+H	15	60																																																																																																																																																																																																																																																																																																																																																																																																																																																																																																																																																																																																																																																																																																																																																																															
H+L*	10	38																																																																																																																																																																																																																																																																																																																																																																																																																																																																																																																																																																																																																																																																																																																																																																															
H+L	2	8																																																																																																																																																																																																																																																																																																																																																																																																																																																																																																																																																																																																																																																																																																																																																																															
L*	10	24																																																																																																																																																																																																																																																																																																																																																																																																																																																																																																																																																																																																																																																																																																																																																																															
L+H	4	10																																																																																																																																																																																																																																																																																																																																																																																																																																																																																																																																																																																																																																																																																																																																																																															
L+H	21	49																																																																																																																																																																																																																																																																																																																																																																																																																																																																																																																																																																																																																																																																																																																																																																															
L+H	13	31																																																																																																																																																																																																																																																																																																																																																																																																																																																																																																																																																																																																																																																																																																																																																																															
L+H	10	24																																																																																																																																																																																																																																																																																																																																																																																																																																																																																																																																																																																																																																																																																																																																																																															
L+H	10	24																																																																																																																																																																																																																																																																																																																																																																																																																																																																																																																																																																																																																																																																																																																																																																															
L+H	10	24																																																																																																																																																																																																																																																																																																																																																																																																																																																																																																																																																																																																																																																																																																																																																																															
L+H	17	40																																																																																																																																																																																																																																																																																																																																																																																																																																																																																																																																																																																																																																																																																																																																																																															
L+H	10	24																																																																																																																																																																																																																																																																																																																																																																																																																																																																																																																																																																																																																																																																																																																																																																															
L+H	10	24																																																																																																																																																																																																																																																																																																																																																																																																																																																																																																																																																																																																																																																																																																																																																																															
L*	2	1																																																																																																																																																																																																																																																																																																																																																																																																																																																																																																																																																																																																																																																																																																																																																																															
L+H	160	82																																																																																																																																																																																																																																																																																																																																																																																																																																																																																																																																																																																																																																																																																																																																																																															
H+L*																																																																																																																																																																																																																																																																																																																																																																																																																																																																																																																																																																																																																																																																																																																																																																																	
L*	1	4																																																																																																																																																																																																																																																																																																																																																																																																																																																																																																																																																																																																																																																																																																																																																																															
L+H	23	96																																																																																																																																																																																																																																																																																																																																																																																																																																																																																																																																																																																																																																																																																																																																																																															
H+L*																																																																																																																																																																																																																																																																																																																																																																																																																																																																																																																																																																																																																																																																																																																																																																																	
L*																																																																																																																																																																																																																																																																																																																																																																																																																																																																																																																																																																																																																																																																																																																																																																																	
L+H	24	100																																																																																																																																																																																																																																																																																																																																																																																																																																																																																																																																																																																																																																																																																																																																																																															
H+L*																																																																																																																																																																																																																																																																																																																																																																																																																																																																																																																																																																																																																																																																																																																																																																																	
L*																																																																																																																																																																																																																																																																																																																																																																																																																																																																																																																																																																																																																																																																																																																																																																																	
L+H	24	100																																																																																																																																																																																																																																																																																																																																																																																																																																																																																																																																																																																																																																																																																																																																																																															
H+L*																																																																																																																																																																																																																																																																																																																																																																																																																																																																																																																																																																																																																																																																																																																																																																																	
L*																																																																																																																																																																																																																																																																																																																																																																																																																																																																																																																																																																																																																																																																																																																																																																																	
L*	1	6																																																																																																																																																																																																																																																																																																																																																																																																																																																																																																																																																																																																																																																																																																																																																																															
L+H	17	94																																																																																																																																																																																																																																																																																																																																																																																																																																																																																																																																																																																																																																																																																																																																																																															
H+L*																																																																																																																																																																																																																																																																																																																																																																																																																																																																																																																																																																																																																																																																																																																																																																																	
H*	1	6																																																																																																																																																																																																																																																																																																																																																																																																																																																																																																																																																																																																																																																																																																																																																																															
L*	1	6																																																																																																																																																																																																																																																																																																																																																																																																																																																																																																																																																																																																																																																																																																																																																																															
L+H	17	94																																																																																																																																																																																																																																																																																																																																																																																																																																																																																																																																																																																																																																																																																																																																																																															
H+L*																																																																																																																																																																																																																																																																																																																																																																																																																																																																																																																																																																																																																																																																																																																																																																																	
H*	4	22																																																																																																																																																																																																																																																																																																																																																																																																																																																																																																																																																																																																																																																																																																																																																																															
L+H	7	39																																																																																																																																																																																																																																																																																																																																																																																																																																																																																																																																																																																																																																																																																																																																																																															
L+H	7	39																																																																																																																																																																																																																																																																																																																																																																																																																																																																																																																																																																																																																																																																																																																																																																															
H+L*	2	11																																																																																																																																																																																																																																																																																																																																																																																																																																																																																																																																																																																																																																																																																																																																																																															
H+L	2	11																																																																																																																																																																																																																																																																																																																																																																																																																																																																																																																																																																																																																																																																																																																																																																															
L*	3	15																																																																																																																																																																																																																																																																																																																																																																																																																																																																																																																																																																																																																																																																																																																																																																															
L+H	7	32																																																																																																																																																																																																																																																																																																																																																																																																																																																																																																																																																																																																																																																																																																																																																																															
L+H	10	42																																																																																																																																																																																																																																																																																																																																																																																																																																																																																																																																																																																																																																																																																																																																																																															
H+L*	10	42																																																																																																																																																																																																																																																																																																																																																																																																																																																																																																																																																																																																																																																																																																																																																																															
H+L	2	10																																																																																																																																																																																																																																																																																																																																																																																																																																																																																																																																																																																																																																																																																																																																																																															
L*	2	10																																																																																																																																																																																																																																																																																																																																																																																																																																																																																																																																																																																																																																																																																																																																																																															
L+H	8	33																																																																																																																																																																																																																																																																																																																																																																																																																																																																																																																																																																																																																																																																																																																																																																															
L+H	15	60																																																																																																																																																																																																																																																																																																																																																																																																																																																																																																																																																																																																																																																																																																																																																																															
H+L*	10	38																																																																																																																																																																																																																																																																																																																																																																																																																																																																																																																																																																																																																																																																																																																																																																															
H+L	2	8																																																																																																																																																																																																																																																																																																																																																																																																																																																																																																																																																																																																																																																																																																																																																																															
L*	10	24																																																																																																																																																																																																																																																																																																																																																																																																																																																																																																																																																																																																																																																																																																																																																																															
L+H	4	10																																																																																																																																																																																																																																																																																																																																																																																																																																																																																																																																																																																																																																																																																																																																																																															
L+H	21	49																																																																																																																																																																																																																																																																																																																																																																																																																																																																																																																																																																																																																																																																																																																																																																															
L+H	13	31																																																																																																																																																																																																																																																																																																																																																																																																																																																																																																																																																																																																																																																																																																																																																																															
L+H	10	24																																																																																																																																																																																																																																																																																																																																																																																																																																																																																																																																																																																																																																																																																																																																																																															
L+H	10	24																																																																																																																																																																																																																																																																																																																																																																																																																																																																																																																																																																																																																																																																																																																																																																															
L+H	10	24																																																																																																																																																																																																																																																																																																																																																																																																																																																																																																																																																																																																																																																																																																																																																																															
L+H	17	40																																																																																																																																																																																																																																																																																																																																																																																																																																																																																																																																																																																																																																																																																																																																																																															
L+H	10	24																																																																																																																																																																																																																																																																																																																																																																																																																																																																																																																																																																																																																																																																																																																																																																															
L+H	10	24																																																																																																																																																																																																																																																																																																																																																																																																																																																																																																																																																																																																																																																																																																																																																																															
L*	2	1																																																																																																																																																																																																																																																																																																																																																																																																																																																																																																																																																																																																																																																																																																																																																																															
L+H	160	82																																																																																																																																																																																																																																																																																																																																																																																																																																																																																																																																																																																																																																																																																																																																																																															
H+L*																																																																																																																																																																																																																																																																																																																																																																																																																																																																																																																																																																																																																																																																																																																																																																																	
L*	1	4																																																																																																																																																																																																																																																																																																																																																																																																																																																																																																																																																																																																																																																																																																																																																																															
L+H	23	96																																																																																																																																																																																																																																																																																																																																																																																																																																																																																																																																																																																																																																																																																																																																																																															
H+L*																																																																																																																																																																																																																																																																																																																																																																																																																																																																																																																																																																																																																																																																																																																																																																																	
L*																																																																																																																																																																																																																																																																																																																																																																																																																																																																																																																																																																																																																																																																																																																																																																																	
L+H	24	100																																																																																																																																																																																																																																																																																																																																																																																																																																																																																																																																																																																																																																																																																																																																																																															
H+L*																																																																																																																																																																																																																																																																																																																																																																																																																																																																																																																																																																																																																																																																																																																																																																																	
L*																																																																																																																																																																																																																																																																																																																																																																																																																																																																																																																																																																																																																																																																																																																																																																																	
L+H	24	100																																																																																																																																																																																																																																																																																																																																																																																																																																																																																																																																																																																																																																																																																																																																																																															
H+L*																																																																																																																																																																																																																																																																																																																																																																																																																																																																																																																																																																																																																																																																																																																																																																																	
L*																																																																																																																																																																																																																																																																																																																																																																																																																																																																																																																																																																																																																																																																																																																																																																																	
L*	1	6																																																																																																																																																																																																																																																																																																																																																																																																																																																																																																																																																																																																																																																																																																																																																																															
L+H	17	94																																																																																																																																																																																																																																																																																																																																																																																																																																																																																																																																																																																																																																																																																																																																																																															
H+L*																																																																																																																																																																																																																																																																																																																																																																																																																																																																																																																																																																																																																																																																																																																																																																																	
H*	1	6																																																																																																																																																																																																																																																																																																																																																																																																																																																																																																																																																																																																																																																																																																																																																																															
L*	1	6																																																																																																																																																																																																																																																																																																																																																																																																																																																																																																																																																																																																																																																																																																																																																																															
L+H	17	94																																																																																																																																																																																																																																																																																																																																																																																																																																																																																																																																																																																																																																																																																																																																																																															
H+L*																																																																																																																																																																																																																																																																																																																																																																																																																																																																																																																																																																																																																																																																																																																																																																																	
H*	4	22																																																																																																																																																																																																																																																																																																																																																																																																																																																																																																																																																																																																																																																																																																																																																																															
L+H	7	39																																																																																																																																																																																																																																																																																																																																																																																																																																																																																																																																																																																																																																																																																																																																																																															
L+H	7	39																																																																																																																																																																																																																																																																																																																																																																																																																																																																																																																																																																																																																																																																																																																																																																															
H+L*	2	11																																																																																																																																																																																																																																																																																																																																																																																																																																																																																																																																																																																																																																																																																																																																																																															
H+L	2	11																																																																																																																																																																																																																																																																																																																																																																																																																																																																																																																																																																																																																																																																																																																																																																															
L*	3	15																																																																																																																																																																																																																																																																																																																																																																																																																																																																																																																																																																																																																																																																																																																																																																															
L+H	7	32																																																																																																																																																																																																																																																																																																																																																																																																																																																																																																																																																																																																																																																																																																																																																																															
L+H	10	42																																																																																																																																																																																																																																																																																																																																																																																																																																																																																																																																																																																																																																																																																																																																																																															
H+L*	10	42																																																																																																																																																																																																																																																																																																																																																																																																																																																																																																																																																																																																																																																																																																																																																																															
H+L	2	10																																																																																																																																																																																																																																																																																																																																																																																																																																																																																																																																																																																																																																																																																																																																																																															
L*	2	10																																																																																																																																																																																																																																																																																																																																																																																																																																																																																																																																																																																																																																																																																																																																																																															
L+H	8	33																																																																																																																																																																																																																																																																																																																																																																																																																																																																																																																																																																																																																																																																																																																																																																															
L+H	15	60																																																																																																																																																																																																																																																																																																																																																																																																																																																																																																																																																																																																																																																																																																																																																																															
H+L*	10	38																																																																																																																																																																																																																																																																																																																																																																																																																																																																																																																																																																																																																																																																																																																																																																															
H+L	2	8																																																																																																																																																																																																																																																																																																																																																																																																																																																																																																																																																																																																																																																																																																																																																																															
L*	10	24																																																																																																																																																																																																																																																																																																																																																																																																																																																																																																																																																																																																																																																																																																																																																																															
L+H	4	10																																																																																																																																																																																																																																																																																																																																																																																																																																																																																																																																																																																																																																																																																																																																																																															
L+H	21	49																																																																																																																																																																																																																																																																																																																																																																																																																																																																																																																																																																																																																																																																																																																																																																															
L+H	13	31																																																																																																																																																																																																																																																																																																																																																																																																																																																																																																																																																																																																																																																																																																																																																																															
L+H	10	24																																																																																																																																																																																																																																																																																																																																																																																																																																																																																																																																																																																																																																																																																																																																																																															
L+H	10	24																																																																																																																																																																																																																																																																																																																																																																																																																																																																																																																																																																																																																																																																																																																																																																															
L+H	10	24																																																																																																																																																																																																																																																																																																																																																																																																																																																																																																																																																																																																																																																																																																																																																																															
L+H	17	40																																																																																																																																																																																																																																																																																																																																																																																																																																																																																																																																																																																																																																																																																																																																																																															
L+H	10	24																																																																																																																																																																																																																																																																																																																																																																																																																																																																																																																																																																																																																																																																																																																																																																															
L+H	10	24																																																																																																																																																																																																																																																																																																																																																																																																																																																																																																																																																																																																																																																																																																																																																																															
L*	2	1																																																																																																																																																																																																																																																																																																																																																																																																																																																																																																																																																																																																																																																																																																																																																																															
L+H	160	82																																																																																																																																																																																																																																																																																																																																																																																																																																																																																																																																																																																																																																																																																																																																																																															
H+L*																																																																																																																																																																																																																																																																																																																																																																																																																																																																																																																																																																																																																																																																																																																																																																																	
L*	1	4																																																																																																																																																																																																																																																																																																																																																																																																																																																																																																																																																																																																																																																																																																																																																																															
L+H	23	96																																																																																																																																																																																																																																																																																																																																																																																																																																																																																																																																																																																																																																																																																																																																																																															
H+L*																																																																																																																																																																																																																																																																																																																																																																																																																																																																																																																																																																																																																																																																																																																																																																																	
L*																																																																																																																																																																																																																																																																																																																																																																																																																																																																																																																																																																																																																																																																																																																																																																																	
L+H	24	100																																																																																																																																																																																																																																																																																																																																																																																																																																																																																																																																																																																																																																																																																																																																																																															
H+L*																																																																																																																																																																																																																																																																																																																																																																																																																																																																																																																																																																																																																																																																																																																																																																																	
L*																																																																																																																																																																																																																																																																																																																																																																																																																																																																																																																																																																																																																																																																																																																																																																																	
L+H	24	100																																																																																																																																																																																																																																																																																																																																																																																																																																																																																																																																																																																																																																																																																																																																																																															
H+L*																																																																																																																																																																																																																																																																																																																																																																																																																																																																																																																																																																																																																																																																																																																																																																																	
L*																																																																																																																																																																																																																																																																																																																																																																																																																																																																																																																																																																																																																																																																																																																																																																																	
L*	1	6																																																																																																																																																																																																																																																																																																																																																																																																																																																																																																																																																																																																																																																																																																																																																																															
L+H	17	94																																																																																																																																																																																																																																																																																																																																																																																																																																																																																																																																																																																																																																																																																																																																																																															
H+L*																																																																																																																																																																																																																																																																																																																																																																																																																																																																																																																																																																																																																																																																																																																																																																																	
H*	1	6																																																																																																																																																																																																																																																																																																																																																																																																																																																																																																																																																																																																																																																																																																																																																																															
L*	1	6																																																																																																																																																																																																																																																																																																																																																																																																																																																																																																																																																																																																																																																																																																																																																																															
L+H	17	94																																																																																																																																																																																																																																																																																																																																																																																																																																																																																																																																																																																																																																																																																																																																																																															
H+L*																																																																																																																																																																																																																																																																																																																																																																																																																																																																																																																																																																																																																																																																																																																																																																																	
H*	4	22																																																																																																																																																																																																																																																																																																																																																																																																																																																																																																																																																																																																																																																																																																																																																																															
L+H	7	39																																																																																																																																																																																																																																																																																																																																																																																																																																																																																																																																																																																																																																																																																																																																																																															
L+H	7	39																																																																																																																																																																																																																																																																																																																																																																																																																																																																																																																																																																																																																																																																																																																																																																															
H+L*	2	11																																																																																																																																																																																																																																																																																																																																																																																																																																																																																																																																																																																																																																																																																																																																																																															
H+L	2	11																																																																																																																																																																																																																																																																																																																																																																																																																																																																																																																																																																																																																																																																																																																																																																															
L*	3	15																																																																																																																																																																																																																																																																																																																																																																																																																																																																																																																																																																																																																																																																																																																																																																															
L+H	7	32																																																																																																																																																																																																																																																																																																																																																																																																																																																																																																																																																																																																																																																																																																																																																																															
L+H	10	42																																																																																																																																																																																																																																																																																																																																																																																																																																																																																																																																																																																																																																																																																																																																																																															
H+L*	10	42																																																																																																																																																																																																																																																																																																																																																																																																																																																																																																																																																																																																																																																																																																																																																																															
H+L	2	10																																																																																																																																																																																																																																																																																																																																																																																																																																																																																																																																																																																																																																																																																																																																																																															
L*	2	10																																																																																																																																																																																																																																																																																																																																																																																																																																																																																																																																																																																																																																																																																																																																																																															
L+H	8	33																																																																																																																																																																																																																																																																																																																																																																																																																																																																																																																																																																																																																																																																																																																																																																															
L+H	15	60																																																																																																																																																																																																																																																																																																																																																																																																																																																																																																																																																																																																																																																																																																																																																																															
H+L*	10	38																																																																																																																																																																																																																																																																																																																																																																																																																																																																																																																																																																																																																																																																																																																																																																															
H+L	2	8																																																																																																																																																																																																																																																																																																																																																																																																																																																																																																																																																																																																																																																																																																																																																																															
L*	10	24																																																																																																																																																																																																																																																																																																																																																																																																																																																																																																																																																																																																																																																																																																																																																																															
L+H	4	10																																																																																																																																																																																																																																																																																																																																																																																																																																																																																																																																																																																																																																																																																																																																																																															
L+H	21	49																																																																																																																																																																																																																																																																																																																																																																																																																																																																																																																																																																																																																																																																																																																																																																															
L+H	13	31																																																																																																																																																																																																																																																																																																																																																																																																																																																																																																																																																																																																																																																																																																																																																																															
L+H	10	24																																																																																																																																																																																																																																																																																																																																																																																																																																																																																																																																																																																																																																																																																																																																																																															
L+H	10	24																																																																																																																																																																																																																																																																																																																																																																																																																																																																																																																																																																																																																																																																																																																																																																															
L+H	10	24																																																																																																																																																																																																																																																																																																																																																																																																																																																																																																																																																																																																																																																																																																																																																																															
L+H	17	40																																																																																																																																																																																																																																																																																																																																																																																																																																																																																																																																																																																																																																																																																																																																																																															
L+H	10	24																																																																																																																																																																																																																																																																																																																																																																																																																																																																																																																																																																																																																																																																																																																																																																															
L+H	10	24																																																																																																																																																																																																																																																																																																																																																																																																																																																																																																																																																																																																																																																																																																																																																																															
L*	2	1																																																																																																																																																																																																																																																																																																																																																																																																																																																																																																																																																																																																																																																																																																																																																																															
L+H	160	82																																																																																																																																																																																																																																																																																																																																																																																																																																																																																																																																																																																																																																																																																																																																																																															
H+L*																																																																																																																																																																																																																																																																																																																																																																																																																																																																																																																																																																																																																																																																																																																																																																																	
L*	1	4																																																																																																																																																																																																																																																																																																																																																																																																																																																																																																																																																																																																																																																																																																																																																																															
L+H	23	96																																																																																																																																																																																																																																																																																																																																																																																																																																																																																																																																																																																																																																																																																																																																																																															
H+L*																																																																																																																																																																																																																																																																																																																																																																																																																																																																																																																																																																																																																																																																																																																																																																																	
L*																																																																																																																																																																																																																																																																																																																																																																																																																																																																																																																																																																																																																																																																																																																																																																																	
L+H	24	100																																																																																																																																																																																																																																																																																																																																																																																																																																																																																																																																																																																																																																																																																																																																																																															
H+L*																																																																																																																																																																																																																																																																																																																																																																																																																																																																																																																																																																																																																																																																																																																																																																																	
L*																																																																																																																																																																																																																																																																																																																																																																																																																																																																																																																																																																																																																																																																																																																																																																																	
L+H	24	100																																																																																																																																																																																																																																																																																																																																																																																																																																																																																																																																																																																																																																																																																																																																																																															
H+L*																																																																																																																																																																																																																																																																																																																																																																																																																																																																																																																																																																																																																																																																																																																																																																																	
L*																																																																																																																																																																																																																																																																																																																																																																																																																																																																																																																																																																																																																																																																																																																																																																																	

Taula 4.55- Sinopsi de la freqüència d'aparició (en termes absoluts i percentuals) de les estructures entonatives profundes a les frases declaratives a la varietat de Tesis per posició accentual i posició sintagmàtica.

Finalment, a partir de les estructures entonatives profundes es pot descriure la corba entonativa de les interrogatives de Tesis (Taula 4.48) com a la successió de: a) un to de frontera inicial baix (%L); b) una baixada tonal entre la síl·laba tònica i la posttònica (és a dir, H*+L) associada a l'S1 (i, en cas de presència d'EXP1, com a un to ascendent amb el pic a la tònica -és a dir, L+H*- associat a l'S1 i una baixada tonal entre la síl·laba tònica i la posttònica -és a dir, H*+L- associada a l'EXP1); c) un to de frontera baix (és a dir, L-) al final del subjecte; d) un accent ascendent amb el pic a la tònica (és a dir, L+H*) associat a l'S2; e) un accent baix (és a dir, L*) associat a l'S3 (i, en cas de presència d'EXP3, un accent baix (és a dir, L*) associat a l'S3 seguit d'un altre accent baix -és a dir, L*- a l'EXP3); i f) un to de frontera final alt (H%).

La posició de l'accent a l'interior del mot té un efecte fonètic a l'S3: si és esdrúixol, de fet, l'estructura superficial predominant tendeix a ser H+L*, mentre si és pla o és agut preval L*.

La representació gràfica d'aquesta línia melòdica a partir de les modes estadístiques queda establerta com es veu a la Figura 4.24, on cada rectangle representa una síl·laba.

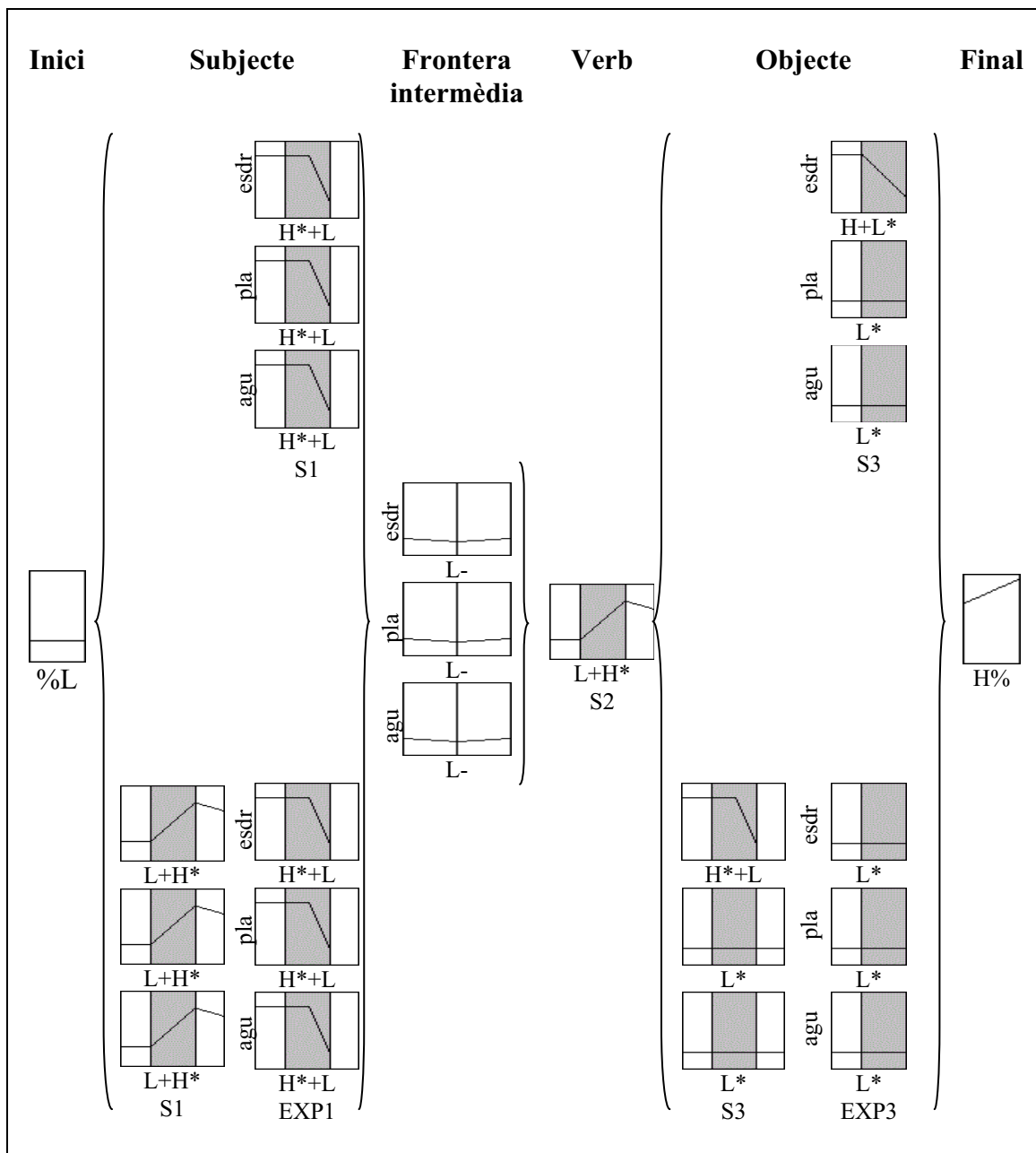


Figura 4.24 – Representació esquemàtica de les estructures profundes d’F0 a les frases interrogatives de Tesis.

Frontera inicial				S1				EXP1				Frontera intermèdia				S2				S3				EXP3				Frontera final																
Tipus de mot	Estr. enton.	N	%	Tipus de mot	Estr. enton.	N	%	Tipus de mot	Estr. enton.	N	%	Tipus de mot	Estr. enton.	N	%	Tipus de mot	Estr. enton.	N	%	Tipus de mot	Estr. enton.	N	%	Tipus de mot	Estr. enton.	N	%	Tipus de mot	Estr. enton.	N	%													
od.	L*	2	8	od.	L*	2	8	od.	L*	2	8	od.	L*	9	37	od.	L*	2	20	od.	L*	16	39	od.	L*	18	100	od.	L*	18	100	od.	L*	42	100	od.	L*	42	100					
	L*H	4	17			L*H	1		4		L*H		1	4			L*H	1	4			L*H	1		4		L*H		1	4			L*H	1	4			L*H	1	4		L*H	1	4
	H*H	1	4			H*H	1		4		H*H		1	4			H*H	1	4			H*H	1		4		H*H		1	4			H*H	1	4			H*H	1	4		H*H	1	4
	H*L*	18	75			H*L*	17		68		H*L*		17	68			H*L*	13	51			H*L*	17		68		H*L*		18	100			H*L*	18	100			H*L*	42	100		H*L*	42	100
	H*H	1	4			H*H	1		4		H*H		1	4			H*H	1	4			H*H	1		4		H*H		1	4			H*H	1	4			H*H	1	4		H*H	1	4
ph.	L*	2	8	ph.	L*	2	8	ph.	L*	2	8	ph.	L*	24	100	ph.	L*	24	100	ph.	L*	18	100	ph.	L*	18	100	ph.	L*	42	100	ph.	L*	42	100	ph.	L*	42	100					
	L*H	1	4			L*H	1		4		L*H		1	4			L*H	1	4			L*H	1		4		L*H		1	4			L*H	1	4			L*H	1	4		L*H	1	4
	H*H	1	4			H*H	1		4		H*H		1	4			H*H	1	4			H*H	1		4		H*H		1	4			H*H	1	4			H*H	1	4		H*H	1	4
	H*L*	17	68			H*L*	17		68		H*L*		17	68			H*L*	13	51			H*L*	17		68		H*L*		18	100			H*L*	18	100			H*L*	42	100		H*L*	42	100
	H*H	1	4			H*H	1		4		H*H		1	4			H*H	1	4			H*H	1		4		H*H		1	4			H*H	1	4			H*H	1	4		H*H	1	4
sp.	L*	2	8	sp.	L*	2	8	sp.	L*	2	8	sp.	L*	24	100	sp.	L*	24	100	sp.	L*	18	100	sp.	L*	18	100	sp.	L*	42	100	sp.	L*	42	100	sp.	L*	42	100					
	L*H	1	4			L*H	1		4		L*H		1	4			L*H	1	4			L*H	1		4		L*H		1	4			L*H	1	4			L*H	1	4		L*H	1	4
	H*H	1	4			H*H	1		4		H*H		1	4			H*H	1	4			H*H	1		4		H*H		1	4			H*H	1	4			H*H	1	4		H*H	1	4
	H*L*	17	68			H*L*	17		68		H*L*		17	68			H*L*	13	51			H*L*	17		68		H*L*		18	100			H*L*	18	100			H*L*	42	100		H*L*	42	100
	H*H	1	4			H*H	1		4		H*H		1	4			H*H	1	4			H*H	1		4		H*H		1	4			H*H	1	4			H*H	1	4		H*H	1	4
	L*	2	8		L*	2	8		L*	2	8		L*	24	100		L*	24	100		L*	18	100		L*	18	100		L*	42	100		L*	42	100									
	L*H	1	4		L*H	1	4		L*H	1	4		L*H	1	4		L*H	1	4		L*H	1	4		L*H	1	4		L*H	1	4		L*H	1	4									
	H*H	1	4		H*H	1	4		H*H	1	4		H*H	1	4		H*H	1	4		H*H	1	4		H*H	1	4		H*H	1	4		H*H	1	4									
	H*L*	17	68		H*L*	17	68		H*L*	17	68		H*L*	13	51		H*L*	17	68		H*L*	18	100		H*L*	18	100		H*L*	42	100		H*L*	42	100									
	H*H	1	4		H*H	1	4		H*H	1	4		H*H	1	4		H*H	1	4		H*H	1	4		H*H	1	4		H*H	1	4		H*H	1	4									

Taula 4.56- Sinopsi de la freqüència d'aparició (en termes absoluts i percentuals) de les estructures entonatives profundes a les frases interrogatives a la varietat de Tesis per posició accentual i posició sintagmàtica.

4.3.4. Efectes de l'estructura accentual del mot

Al llarg dels diferents epígrafs de la secció 4.3 s'ha esmentat l'existència d'un cert nombre de diferències entonatives que estan relacionades amb l'estructura accentual del mot, és a dir, que en una determinada posició a l'interior de l'oració els patrons entonatius són diferents -almenys al nivell superficial o fonètic- segons es tracti d'un mot agut, pla o esdrúixol. Una anàlisi més detallada dels etiquetatges proporcionats per l'aplicació AMPERETi permet de descobrir que aquestes diferències es deuen a tres possibles factors:

1) La presència de moviments tonals d'un rang molt reduït. Aquesta condició es verifica només en el cas del parlant masculí de Tesis, que utilitza un rang tonal molt comprimit a totes les oracions. Aquesta "escassa expressivitat" ha generat problemes en dos casos en concret (veg. Epígraf 4.3.3.4), en què les fórmules han indicat com a majoritària una estructura monotonal (H*) per a un tipus accentual, l'agut. En aquests dos casos, per tant, considerem que les diferències entre paraules agudes, planes i esdrúixoles no es deuen realment a un efecte de l'estructura accentual, sinó que són el resultat de les característiques no sempre òptimes de la parla de l'informant. La Figura 4.25 ofereix un exemple d'aquest tipus de problema d'etiquetatge. S'hi pot notar, de fet, com la pujada que hauria de correspondre a la síl·laba tònica del subjecte agut no passa del llinar d'1,5 st i que, més en general, tot l'enunciat es desenvolupa en un camp tonal molt reduït.

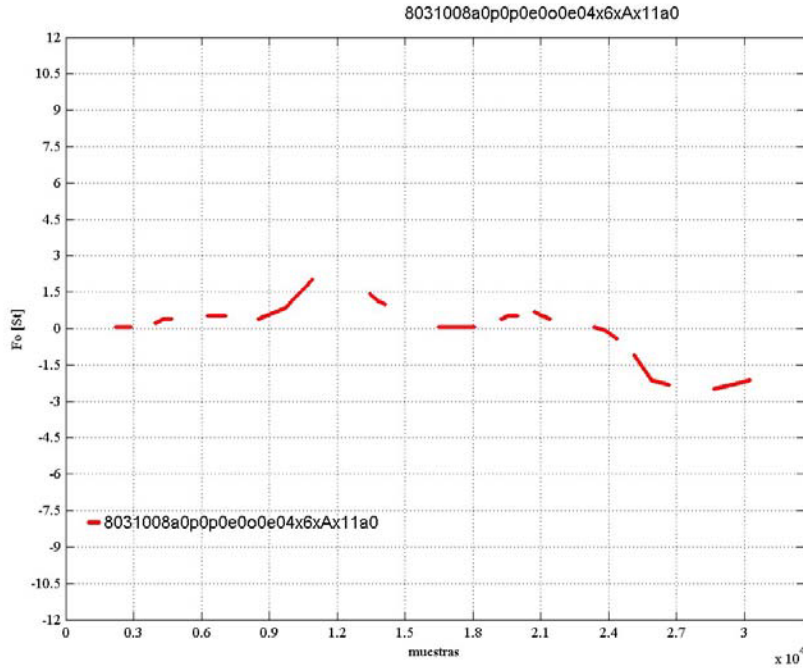


Figura 4.25 – Corba d’F0 en semitons de la mitjana de tres repeticions de la frase declarativa *La dependent si prova la bareta pronunciada per l’informant de Tesis*.

2) La presència, en una de les síl·labes immediatament anteriors a la tònica, d’un pic tonal que està relacionat amb un altre accent lèxic. El cas més freqüent d’aquest tipus es dona quan un accent ascendent en precedeix un de baix (és a dir, L+H* L* o L*+H L*). En aquestes situacions, si la paraula que porta l’accent baix és esdrúixola, molt sovint les fórmules d’etiquetatge automàtic proposen una etiqueta que indica un accent descendent, en concret H+L*. En realitat es tracta d’una limitació de les fórmules que calculen l’etiquetatge, ja que no poden distingir si el to alt a la pretònica forma part del moviment tonal associat a l’accent lèxic del qual forma part o bé si, com en aquest cas, es deu a la presència d’un accent tonal ascendent anterior el pic del qual es realitza a la pretònica de l’accent analitzat. La Figura 4.26 ofereix un exemple d’aquest tipus d’efecte de la posició accentual a l’etiquetatge profund. S’hi pot notar, de fet, com la baixada que precedeix la síl·laba tònica de l’última paraula (*betule*) es deu a la presència d’un pic anterior, que està associat a l’accent lèxic anterior (*sunie*). Degut al fet que hi ha només una síl·laba àtona entre la síl·laba on es realitza la diana tonal de l’accent ascendent (és a dir, la síl·laba *-nie*) i la síl·laba on s’associa el to baix de l’últim mot (és a dir, la síl·laba *be-*, aquesta baixada es prou marcada com per superar el llindar d’1,5 st.

Per contra, si entre aquestes dues dianes tonals hi ha un nombre suficient de síl·labes àtones, la baixada en qüestió no arriba a ser significativa (veg. Figura 4.27).

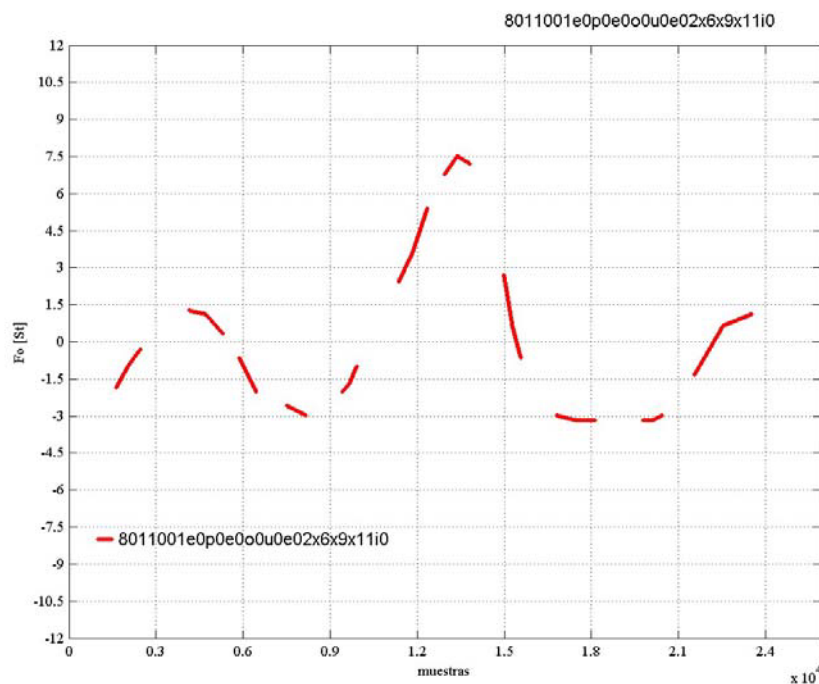


Figura 4.26 – Corba d'F0 en semitons de la mitjana de tres repeticions de la frase interrogativa L'armoniche si sunie te betule? pronunciada per l'informant de Beivars.

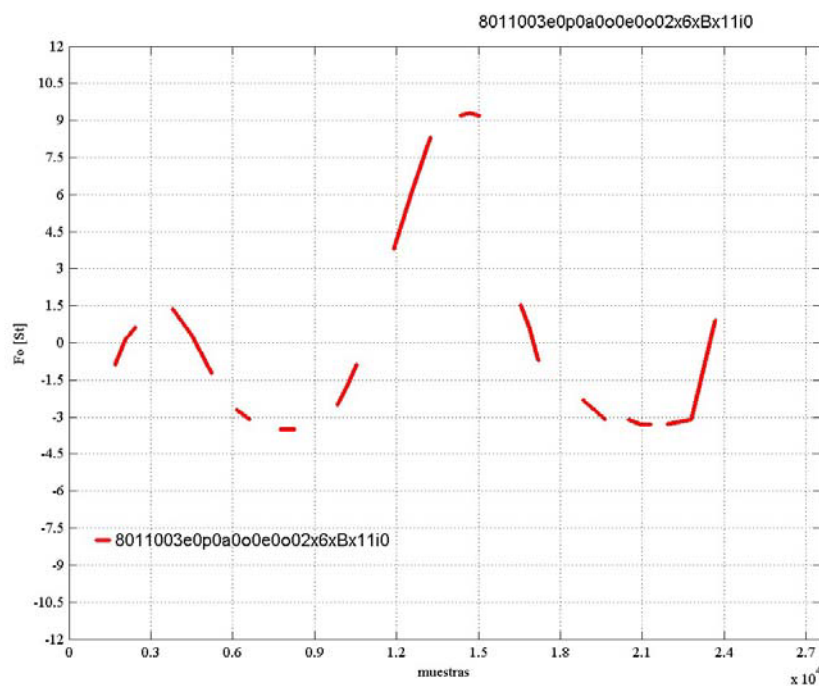


Figura 4.27 – Corba d'F0 en semitons de la mitjana de tres repeticions de la frase interrogativa La zovine si sentie sul savalon? pronunciada per l'informant de Beivars.

El fenomen que s'acaba de descriure explica les diferències d'estructures entonatives que es troben a l'S3 de les interrogatives de Beivars (epígraf 4.3.3.2), de Gradisca (apartat 4.3.3.3) i de Tesis (apartat 4.3.3.4). En tots aquests casos, per tant, les diferències d'etiquetatge automàtic reflecteixen una realitat fonètica que no està directament relacionada amb l'accent lèxic analitzat, sinó amb la proximitat d'un altre accent. Per això, a l'hora de generalitzar els resultats de l'anàlisi automàtica de l'entonació optem per de reconduir aquestes variacions a un únic patró (veg. Secció 4.4).

3) la presència, en proximitat de la síl·laba accentuada, d'una frontera (que pot ser inicial absoluta de frase, intermèdia o final absoluta de frase). Els efectes més evidents en aquest sentit, ja que afecten el tonema, són els de les fronteres finals absolutes de frase. En concret, s'ha esmentat el fet que, a les frases interrogatives de la varietat d'Agrons, si l'últim mot del sintagma amb funció de complement verbal és esdrúixol o pla, l'estructura tonal predominant és L*, mentre que si és agut preval L+H* (veg. la secció 4.3.3.1 per a la varietat d'Agrons). Aquesta diferència s'explica en termes de *compressió tonal*: mentre en el cas de les paraules esdrúixoles i planes les dianes tonals L* i H% que caracteritzen els tonemes de les oracions interrogatives s'associen amb síl·labes diferents (veg. Figura 4.28), en el cas de les paraules agudes s'associen amb la mateixa síl·laba. Aquesta concentració de dianes tonals en la mateixa síl·laba comporta que el moviment de pujada final comença i és perceptible ja a la síl·laba tònica, que per tant s'etiqueta com a L+H*. La Figura 4.29 ofereix un exemple d'aquest tipus de compressió tonal en proximitat de la frontera final absoluta. S'hi nota que, a diferència del que passa a la Figura 4.28, la pujada final (H%) es realitza a la tònica.

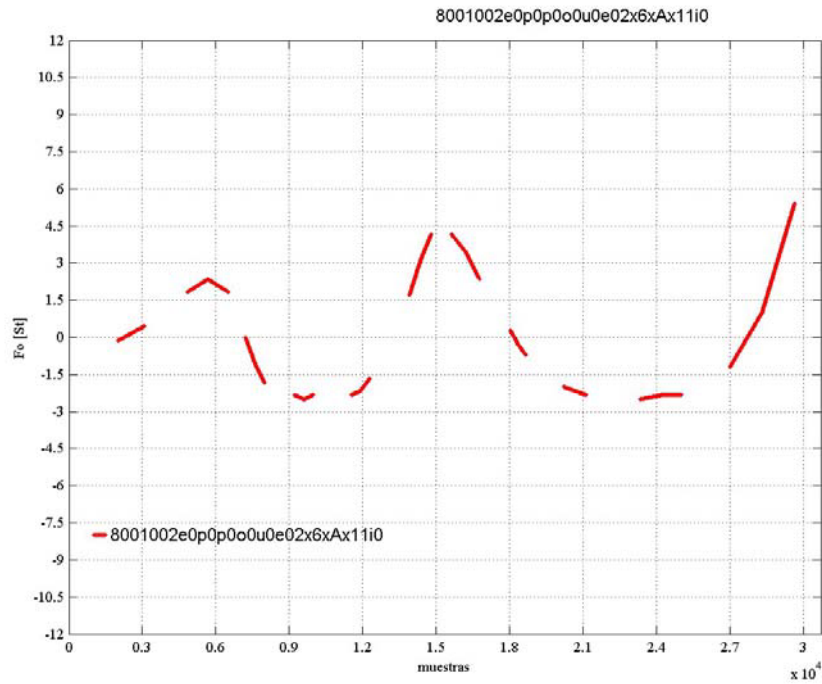


Figura 4.28 – Corba d’F₀ en semitons de la mitjana de tres repeticions de la frase interrogativa L’armonica si sunia cun dolceça? pronunciada per l’informant d’Agrons.

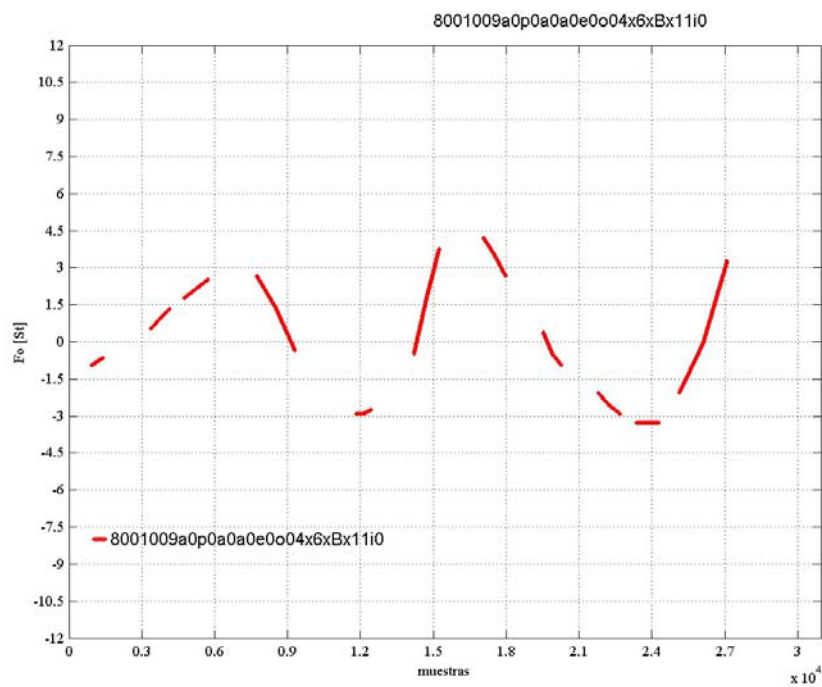


Figura 4.29 – Corba d’F₀ en semitons de la mitjana de tres repeticions de la frase interrogativa Il sorestant si sential sul savalon? pronunciada per l’informant d’Agrons.

En proximitat de la frontera intermèdia que separa el subjecte del verb també es realitzen processos semblants al que s'acaba de descriure en relació amb la frontera final. De fet, s'ha vist que a la modalitat declarativa si l'últim mot del subjecte és esdrúixol o pla, l'estructura superficial predominant és L*+H, mentre si és agut preval L+H* (veg. seccions 4.3.3.1 per a la varietat d'Agrons i 4.3.3.2 per a Beivars). Aquesta diferència està relacionada amb l'existència d'una frontera de sintagma que impedeix que el to alt de l'accent L*+H es realitzi a una síl·laba que no pertany al sintagma en qüestió. Per tant, en el cas de les paraules agudes el pic de l'accent L*+H no es pot realitzar a la posttònica ja que aquesta és heterosintagmàtica. Això provoca que el pic es realitzi al final de la síl·laba tònica que, per tant, conté una pujada de tipus L+H*. Les Figures 4.30, 4.31 i 4.32 exemplifiquen la realització del pic de l'accent ascendent (L*+H) del subjecte quan està associat a un mot esdrúixol (*armoniche*), pla (*ghitare*) i agut (*dipendent*).

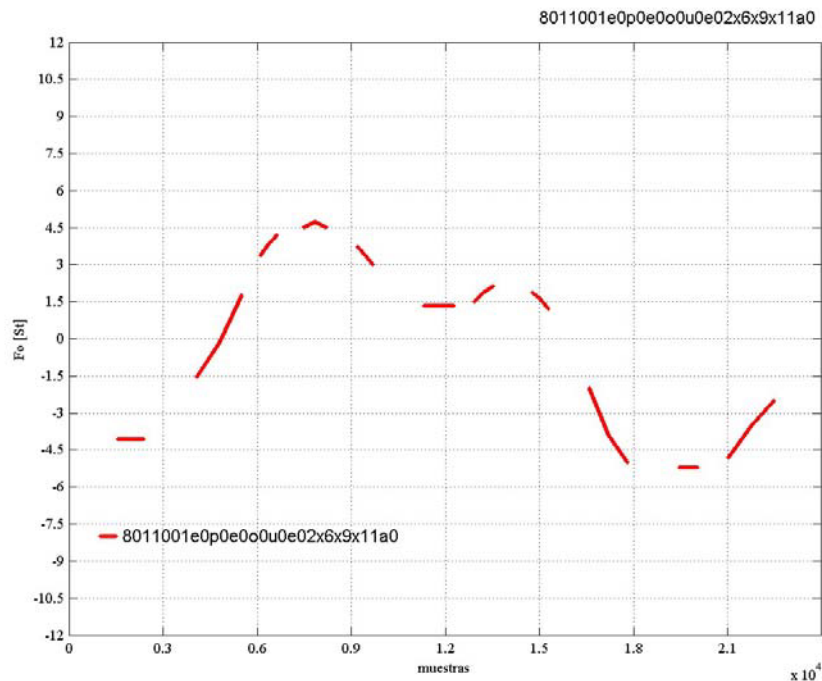


Figura 4.30 – Corba d'F0 en semitons de la mitjana de tres repeticions de la frase declarativa L'armoniche si sune te betule pronunciada per l'informant de Beivars.

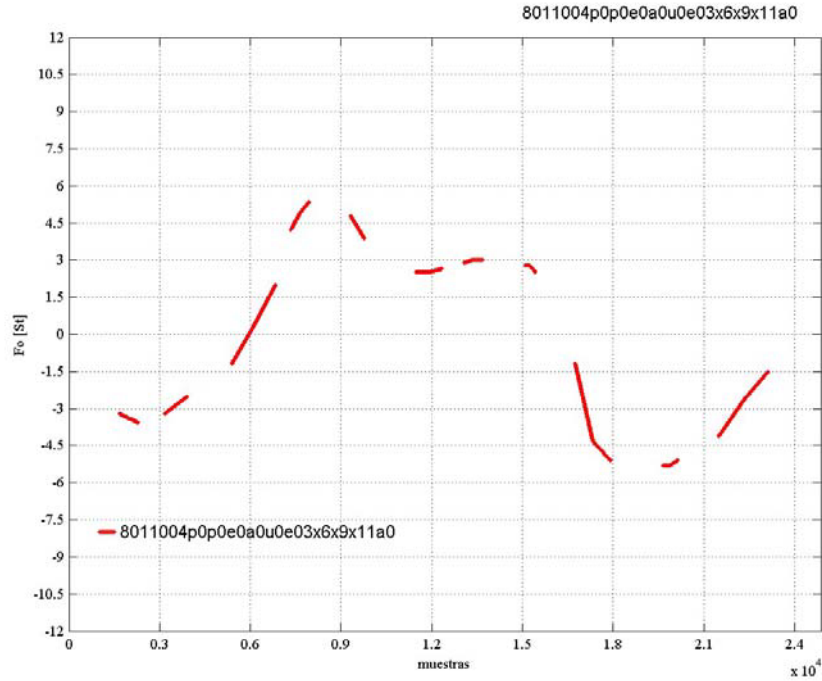


Figura 4.31 – Corba d’F0 en semitons de la mitjana de tres repeticions de la frase declarativa La ghitare si sune te betule pronunciada per l’informant de Beivars.

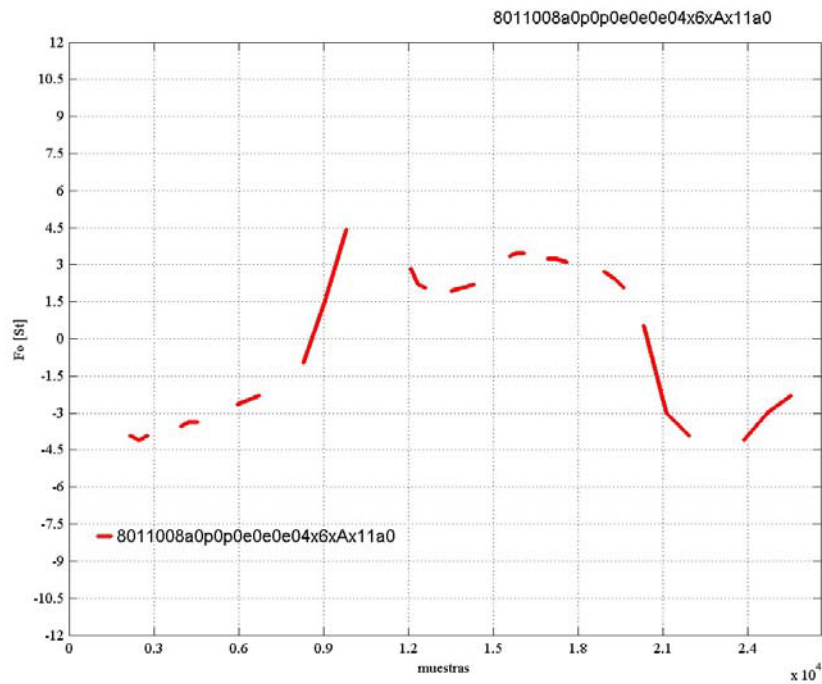


Figura 4.32 – Corba d’F0 en semitons de la mitjana de tres repeticions de la frase declarativa La dependent si nete la barete pronunciada per l’informant de Beivars.

Tal com s'ha vist a l'anterior punt b), en aquest cas també les diferències d'etiquetatge automàtic reflecteixen perfectament una realitat fonètica directament relacionada amb l'accent lèxic analitzat. Per aquest motiu, en el moment en què es proposen unes generalitzacions dels patrons entonatius (veg. Secció 4.4), aquestes variacions han de ser reconduïdes a un únic patró subjacent, que es manifesta en diferents variacions al·lotòniques determinades per unes regles d'implementació (sobre les quals es tornarà al Capítol 5).

4.3.5. Comparació interdialectal de patrons entonatius

4.3.5.1. Comparació de patrons entonatius a les oracions declaratives neutres

Les frases declaratives dels quatre dialectes que es descriuen en aquesta tesi presenten alguns elements en comú i altres que difereixen. El tonema està caracteritzat, a totes les varietats, per un accent descendent de tipus $H+L^*$, que va seguit d'un to de frontera baix (és a dir, $L\%$) a Agrons i Tesis i d'un to de frontera alt (és a dir, $H\%$) a Beivars i Gradisca. A totes les varietats el verb està caracteritzat per un accent ascendent amb el pic a la síl·laba posttònica (L^*+H). Pel que fa al subjecte, els elements comuns més clars són el to inicial que és sempre baix i l'absència de frontera intermèdia al final del sintagma. Però la descripció entonativa del subjecte a les quatre varietats requereix una anàlisi més detallada. De fet, cal remarcar que mentre a Agrons i Beivars només existeix un patró entonatiu que caracteritza el subjecte de les frases declaratives, a Gradisca i a Tesis se n'han enregistrat altres diferents. El patró que coincideix al subjecte d'Agrons i Beivars inclou un accent ascendent amb el pic a la síl·laba posttònica de l'últim mot que forma el subjecte (és a dir, L^*+H) i, si el sintagma està format per dues paraules, la primera presenta un to baix (L^*). A Tesis, per contra, si el subjecte està format per dos mots, el primer té un accent ascendent al primer mot (del tipus $L+H^*$) i un altre, del tipus L^*+H al segon, mentre si el subjecte inclou només un accent lèxic hi ha dos possible patrons: el majoritari és L^*+H (tal com passa a Agrons i a Beivars) i el minoritari, que és típic només d'aquesta varietat i és emprat sobretot per l'informant femenina, està caracteritzat per una baixada tonal del tipus H^*+L . Finalment, a Gradisca, es nota que l'estructura entonativa del subjecte a les declaratives sense expansions sempre és L^*+H (tal com a Agrons i Beivars), a les declaratives amb expansió d'objecte sempre és H^*+L i a les declaratives amb expansió de subjecte

coexisteixen dos patrons, que tenen en comú un accent amb el pic a la síl·laba posttònica associat al segon mot del sintagma i que difereixen per l'accent que està associat al primer mot. De fet, mentre en alguns casos és una pujada amb el pic al final de la síl·laba tònica (L+H*), en altres casos es tracta d'una baixada significativa entre la síl·laba tònica i la posttònica (H*+L).

Per tant, els patrons que s'han trobat es poden representar esquemàticament tal com es veu a les Figures 4.33 (patró d'Agrons), 4.34 (patró de Beivars), 4.35 (patró de declaratives sense expansions de Gradisca), 4.36 (patrons de declaratives amb expansió del subjecte de Gradisca), 4.37 (patró de declaratives amb expansió de l'objecte de Gradisca) i 4.38 (patrons de Tesis).

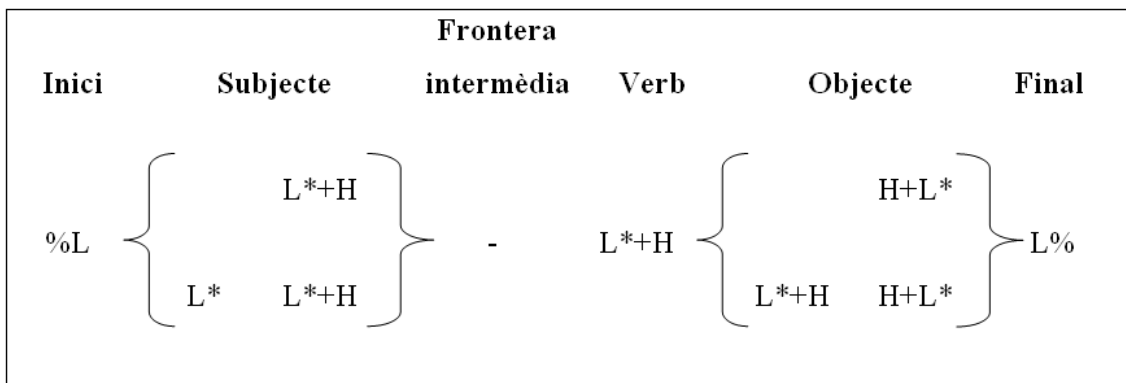


Figura 4.33 – Representació del patró entonatiu de les declaratives del dialecte d'Agrons.

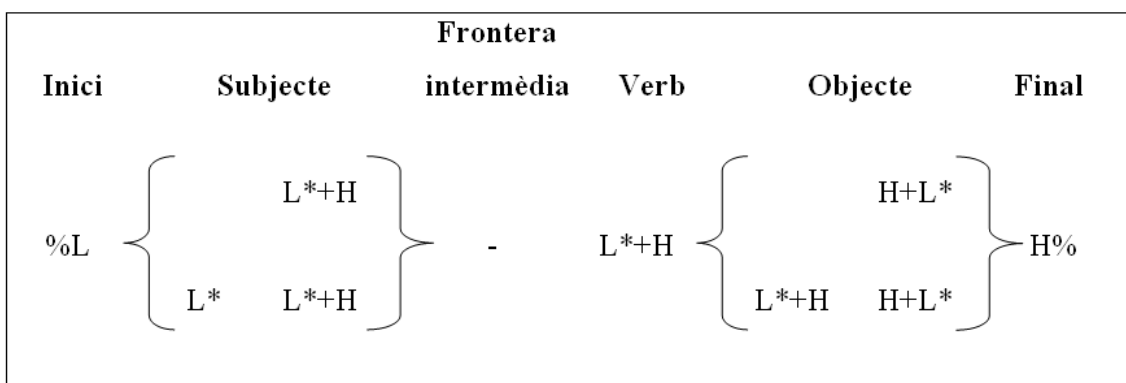


Figura 4.34 – Representació del patró entonatiu de les declaratives del dialecte de Beivars.

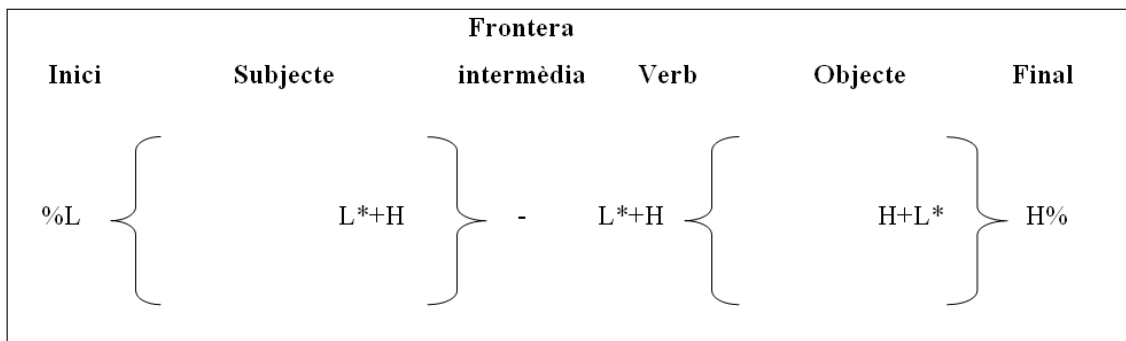


Figura 4.35 – Representació del patró entonatiu de les declaratives sense expansions del dialecte de Gradisca.

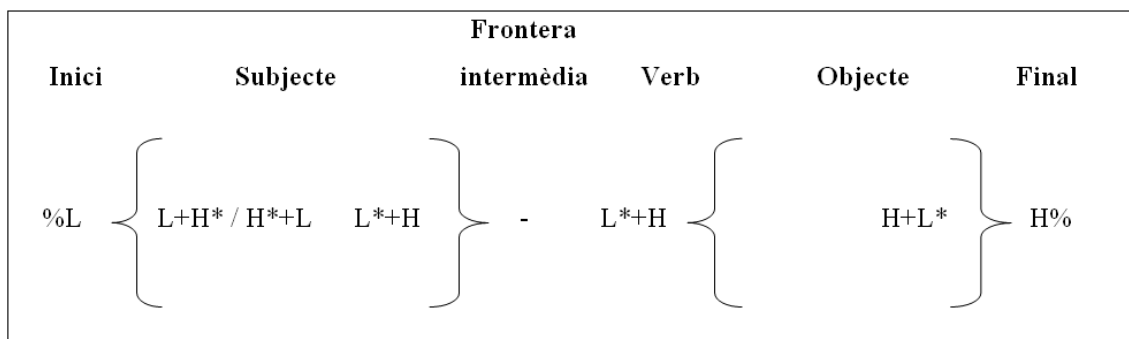


Figura 4.36 – Representació dels patrons entonatius de les declaratives amb expansió del subjecte del dialecte de Gradisca.

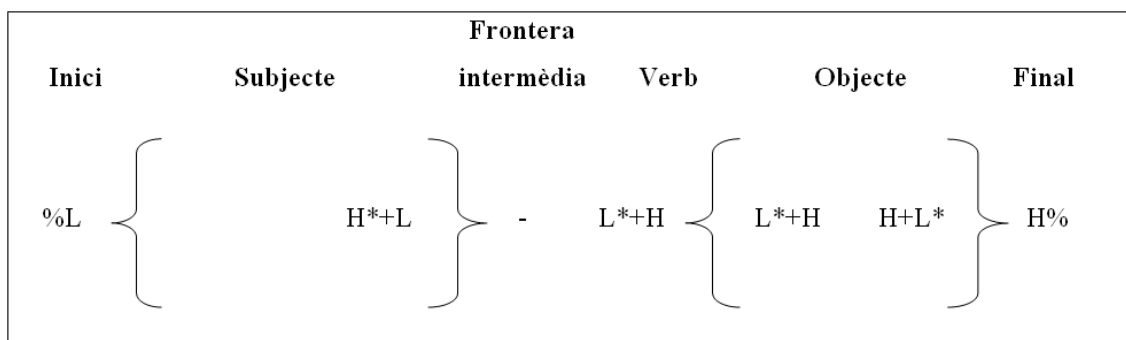


Figura 4.37 – Representació del patró entonatiu de les declaratives amb expansió de l'objecte del dialecte de Gradisca.

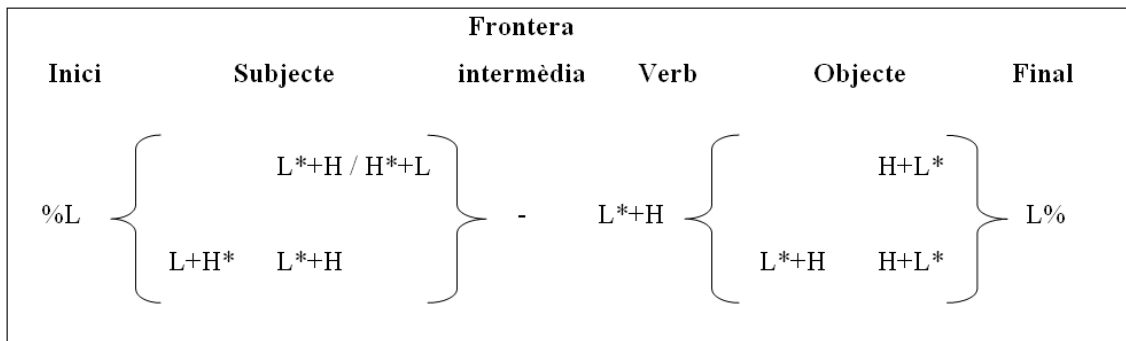


Figura 4.38 – Representació dels patrons entonatius de les declaratives del dialecte de Tesis.

Les Figures des de la 4.39 fins a 4.50 contenen exemples de les frases declaratives els patrons de les quals s’han descrit en aquest apartat. En concret, la Figura 4.39 representa una declarativa sense expansions de la varietat d’Agrons, la Figura 4.40 correspon a una declarativa amb expansió del subjecte del mateix dialecte i la Figura 4.41 ofereix un exemple de declarativa amb expansió d’objecte a la mateixa varietat. A continuació, la Figura 4.42 representa una declarativa sense expansions de la varietat de Beivars, la Figura 4.43 correspon a una declarativa amb expansió del subjecte del mateix dialecte i la Figura 4.44 ofereix un exemple de declarativa amb expansió d’objecte a la mateixa varietat. La Figura 4.45 representa una declarativa sense expansions de la varietat de Gradisca, els dos panells de la Figura 4.46 corresponen a dues declaratives amb expansió del subjecte del mateix dialecte i la Figura 4.47 ofereix un exemple de declarativa amb expansió d’objecte a la mateixa varietat. Finalment, els dos panells de la Figura 4.48 representen els dos models de declaratives sense expansions de la varietat de Tesis, la Figura 4.49 correspon a una frase declarativa amb expansió del subjecte del mateix dialecte i la Figura 4.50 ofereix un exemple de declarativa amb expansió d’objecte a la mateixa varietat.

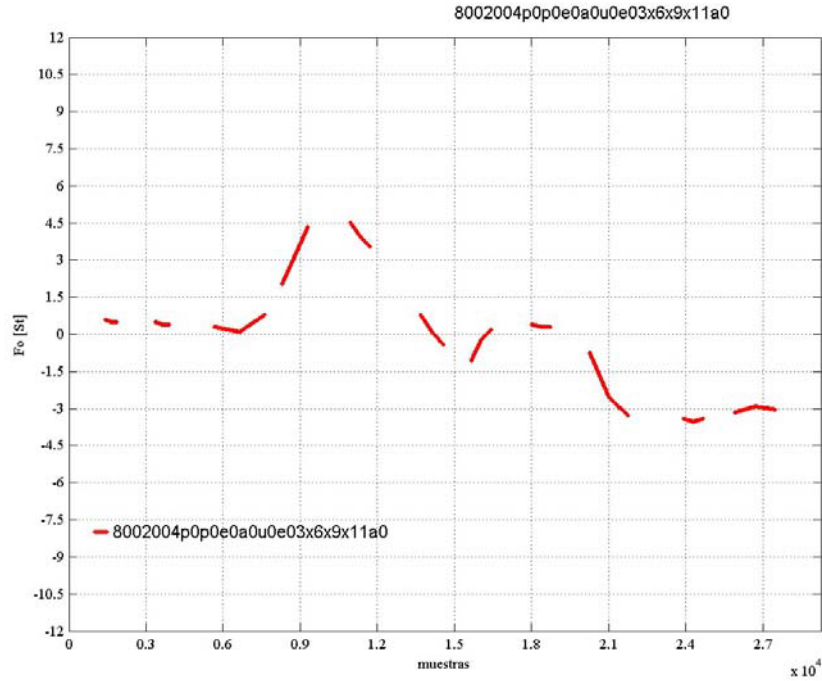


Figura 4.39 – Corba d’F0 en semitons de la mitjana de tres repeticions de la frase declarativa sense expansions La ghitara si suna ta betula pronunciada per la informant d’Agrons.

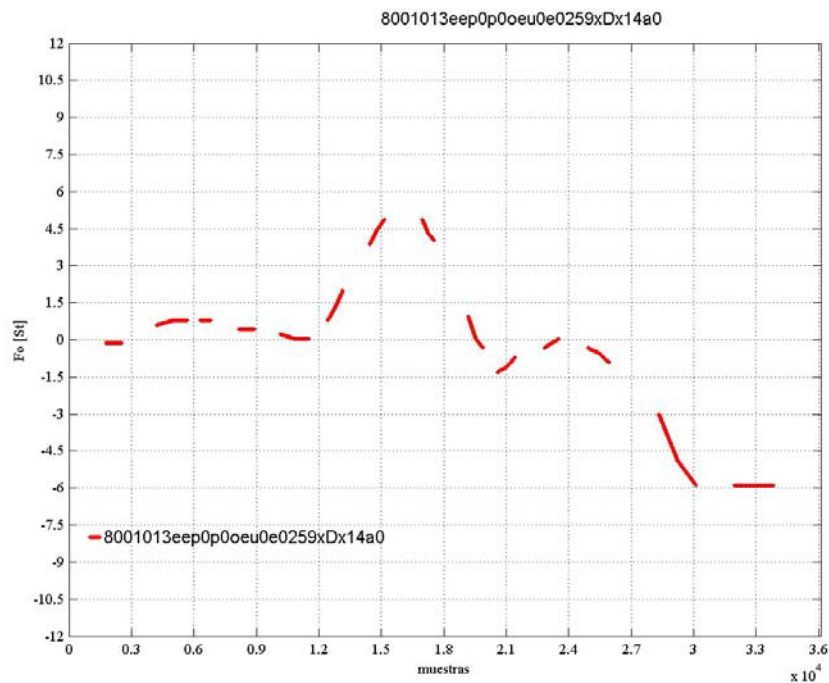


Figura 4.40 – Corba d’F0 en semitons de la mitjana de tres repeticions de la frase declarativa amb expansió de subjecte L’armonica venita si suna cun dolçeça pronunciada per l’informant d’Agrons.

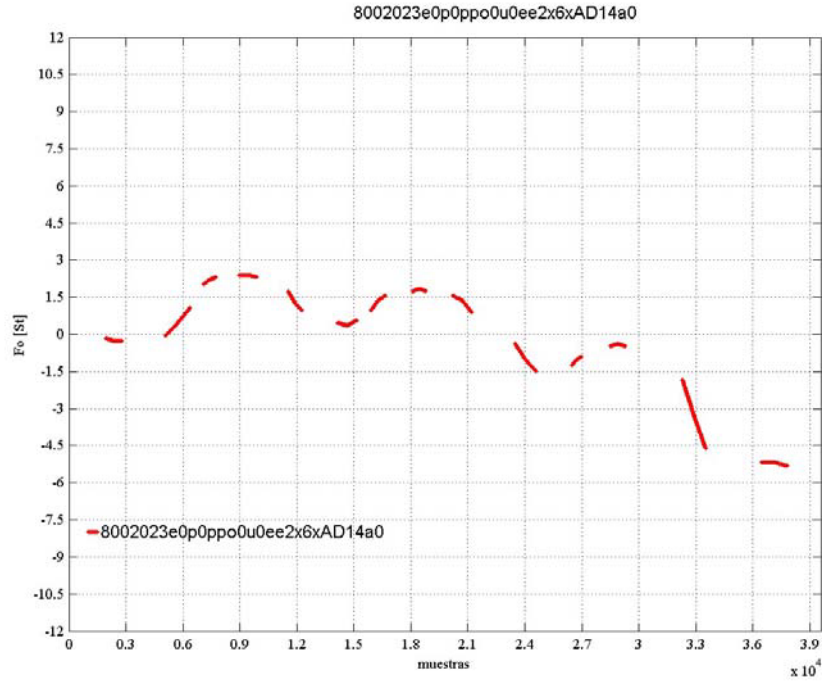


Figura 4.41 – Corba d’F0 en semitons de la mitjana de tres repeticions de la frase declarativa amb expansió d’objecte L’armonica si suna cun dolceça perfeta pronunciada per la informant d’Agrons.

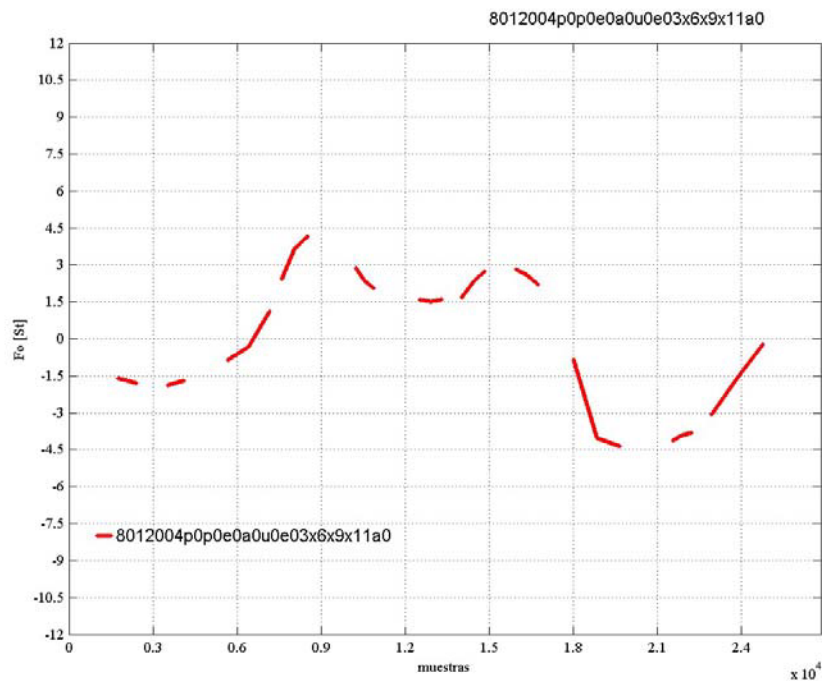


Figura 4.42 – Corba d’F0 en semitons de la mitjana de tres repeticions de la frase declarativa sense expansions La ghitare si sune te betule pronunciada per la informant de Beivars.

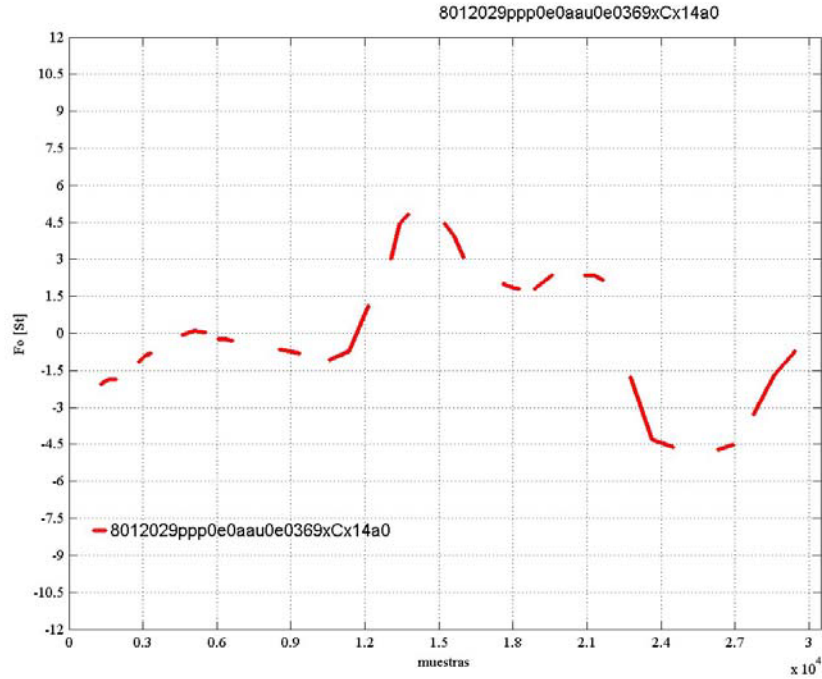


Figura 4.43 – Corba d’F₀ en semitons de la mitjana de tres repeticions de la frase declarativa amb expansió de subjecte La ghitare furlane si sune te betule pronunciada per la informant de Beivars.

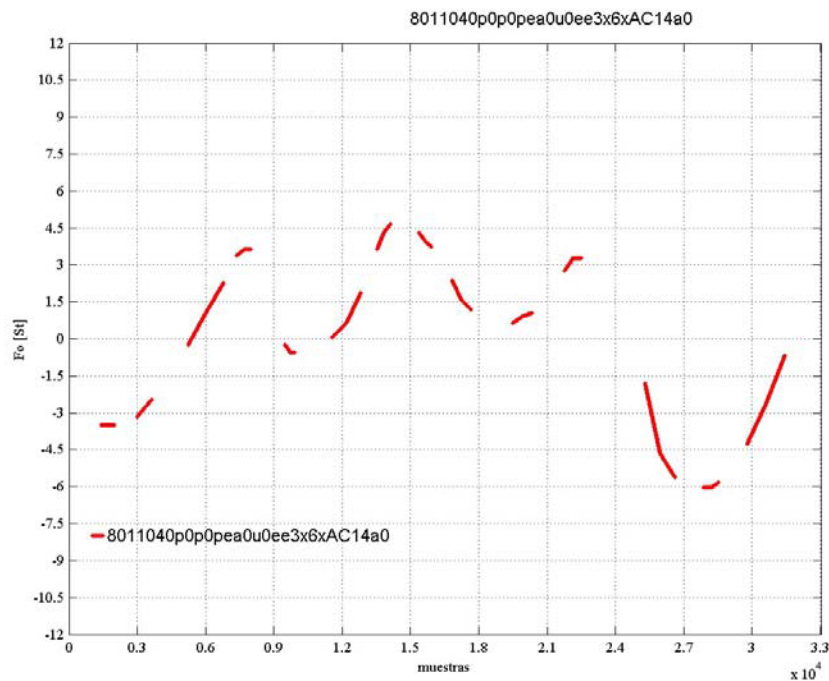


Figura 4.44 – Corba d’F₀ en semitons de la mitjana de tres repeticions de la frase declarativa amb expansió d’objecte La ghitare si sune cun dolcece splendide pronunciada per l’informant de Beivars.

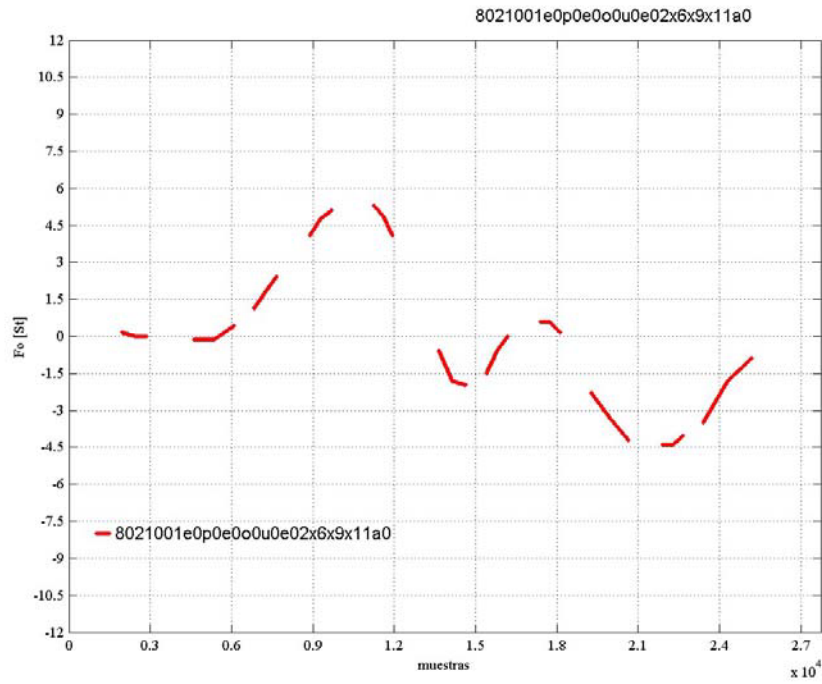


Figura 4.45 – Corba d’F0 en semitons de la mitjana de tres repeticions de la frase declarativa sense expansions L’armonica si suna ta betula pronunciada per l’informant de Gradisca.

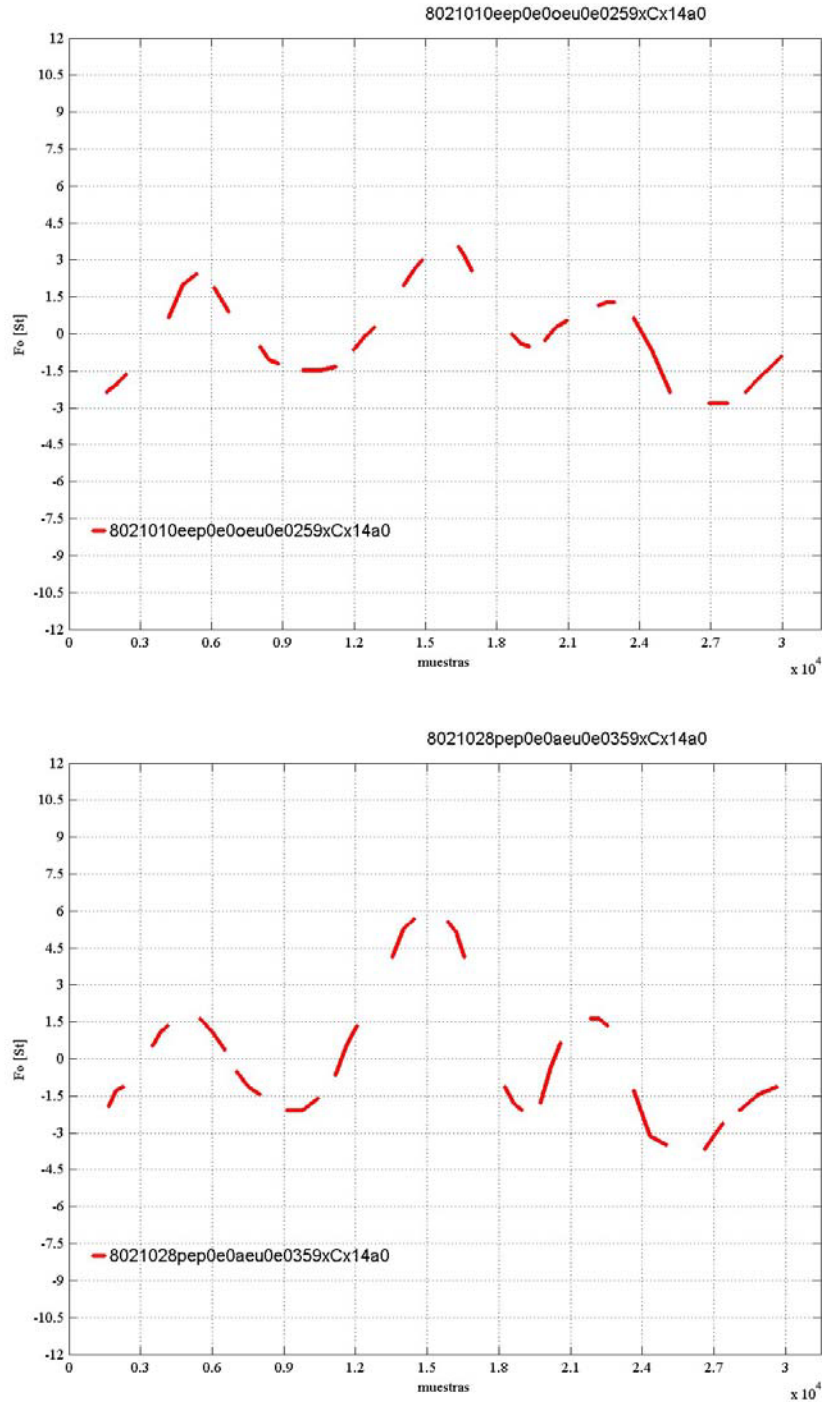


Figura 4.46 – Corbes d’F0 en semitons de les mitjanes de 3 repeticions de les frases declaratives amb expansió de subjecte L’armonica veneta si suna ta betula (panell superior) i La ghitarra veneta si suna ta betula (panell inferior) pronunciades per l’informant de Gradisca.

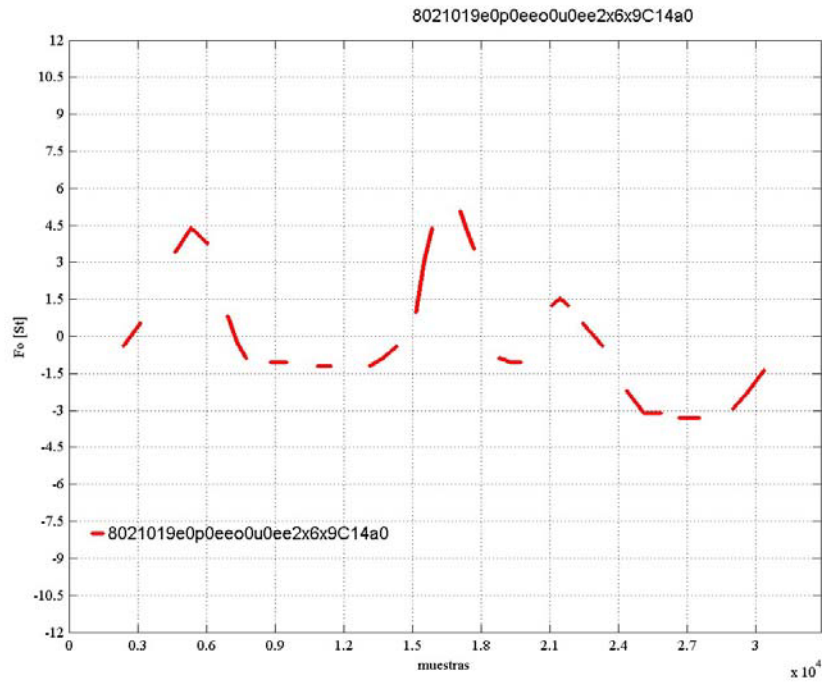


Figura 4.47 – Corba d’F0 en semitons de la mitjana de tres repeticions de la frase declarativa amb expansió d’objecte L’armonica si suna ta betula veneta pronunciada per l’informant de Gradisca.

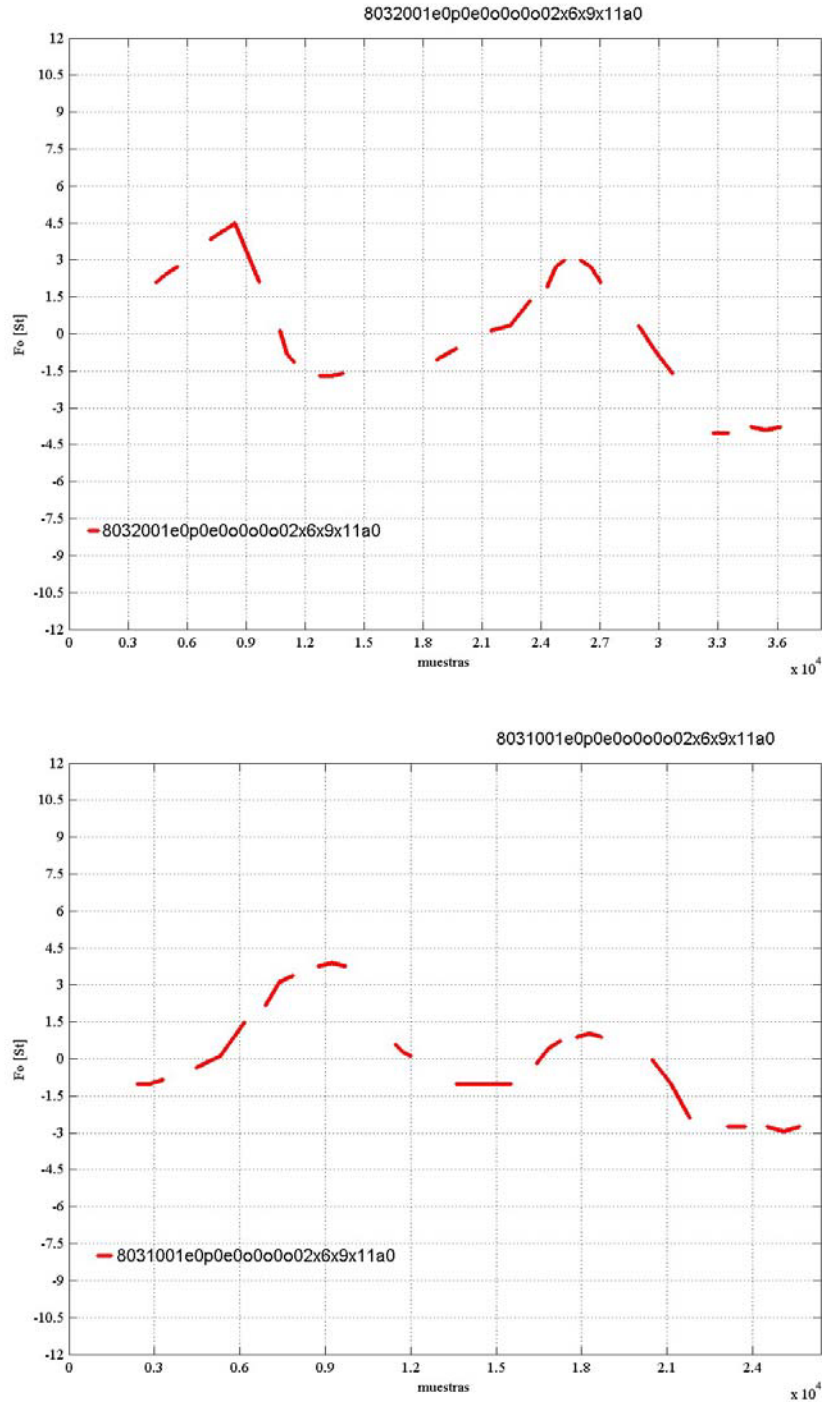


Figura 4.48 – Corbes d’F0 en semitons de les mitjanes de 3 repeticions de les frases declaratives sense expansions La ’sovina si prova la cotula pronunciades per la informant de Tesis (panell superior) pronunciades per l’informant de Tesis (panell inferior).

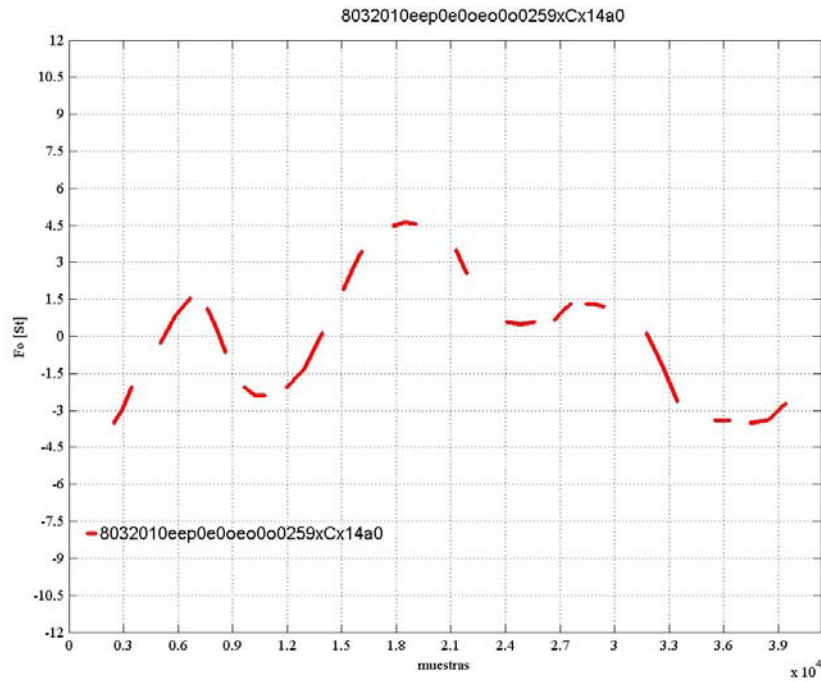


Figura 4.49 – Corba d’F0 en semitons de la mitjana de tres repeticions de la frase declarativa amb expansió de subjecte La 'sovina veneta si prova la cotula pronunciada per la informant de Tesis.

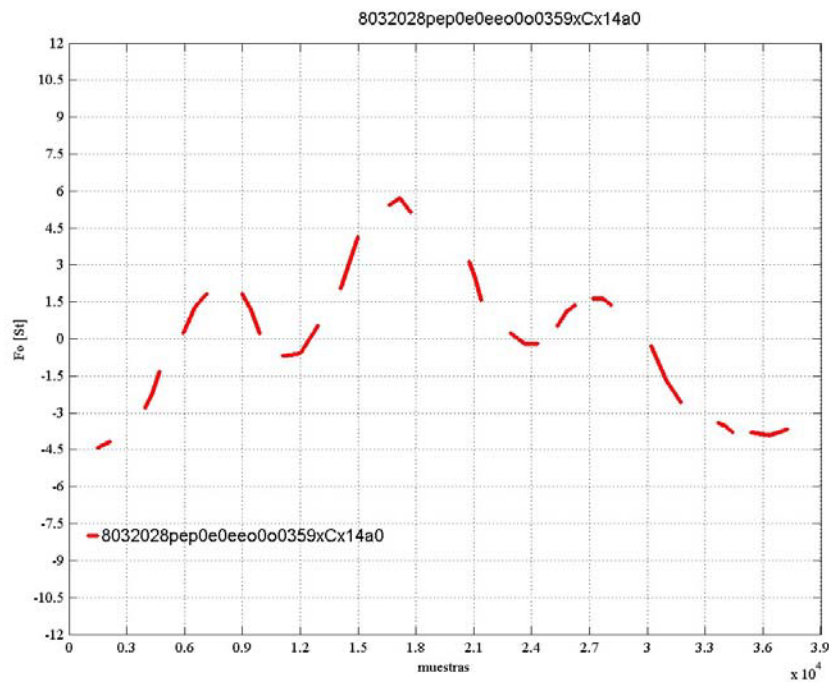


Figura 4.50 – Corba d’F0 en semitons de la mitjana de tres repeticions de la frase declarativa amb expansió d’objecte La comessa veneta si prova la cotula pronunciada per la informant de Tesis.

4.3.5.2. Comparació de patrons entonatius a les oracions interrogatives absolutes

Els quatre dialectes friülans estudiats es presenten força homogenis pel que fa a l'entonació de les preguntes absolutes. De fet, el tonema sempre és ascendent i està format per un to baix associat a l'última síl·laba tònica i un to de frontera final alt. Si el sintagma amb funció de complement verbal està format per dos mots, ambdós reben un accent tonal baix. Al pretonema, destaca la presència constant d'una baixada tonal important entre la síl·laba tònica i la posttònica de l'últim mot del sintagma amb funció de subjecte, seguida d'un to de frontera intermèdia baix. Si el sintagma amb funció de subjecte està format per dos mots, el primer rep un accent ascendent amb el pic a la síl·laba tònica. L'única diferència interdialectal es troba l'element verbal, ja que les varietats d'Agrons i Tesis hi presenten un accent ascendent amb el pic a la síl·laba tònica (és a dir, L+H*), mentre als dialectes de Beivars i Gradisca el pic és a la posttònica (L*+H). El to inicial de la frase sempre és baix. Per tant, els dos patrons que s'han trobat es poden representar esquemàticament com es veu a les Figures 4.51 (patró d'Agrons i Tesis) i 4.52 (patró de Beivars i Gradisca).

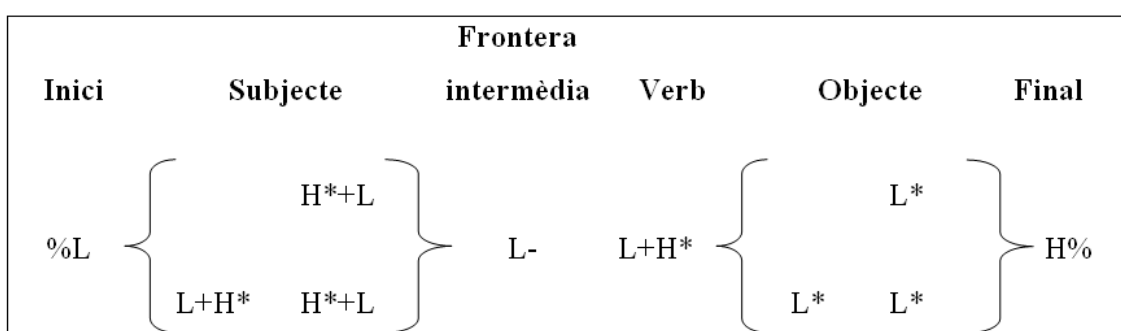


Figura 4.51 – Representació del patró entonatiu de les interrogatives absolutes dels dialectes d'Agrons i de Tesis.

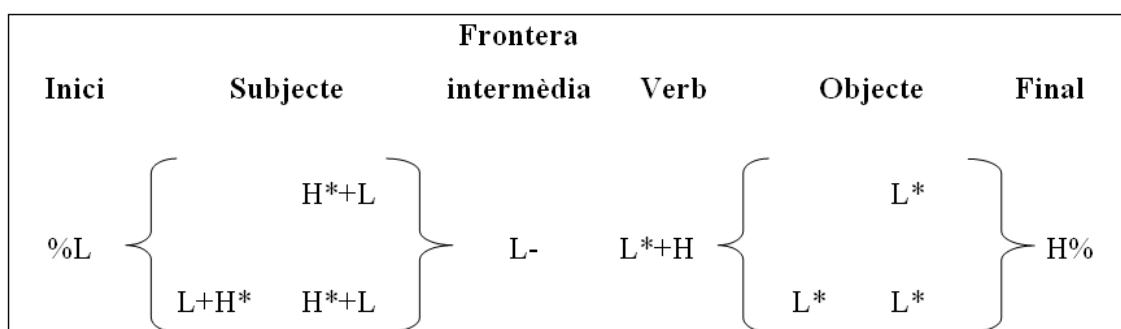


Figura 4.52 – Representació del patró entonatiu de les interrogatives absolutes dels dialectes de Beivars i de Gradisca.

Les Figures 4.53, 4.54 i 4.55 contenen un exemple del patró trobat a Agrons i Tesis (la Figura 4.53 es refereix a una frase interrogativa sense expansions, la Figura 4.54 a una interrogativa amb expansió del subjecte i la frase 4.55 a una amb expansió d'objecte). Les Figures 4.56, 4.57 i 4.58 contenen un exemple del patró trobat a Beivars i Gradisca (la Figura 4.56 es refereix a una frase interrogativa sense expansions, la Figura 4.57 a una interrogativa amb expansió del subjecte i la Figura 4.58 a una amb expansió d'objecte).

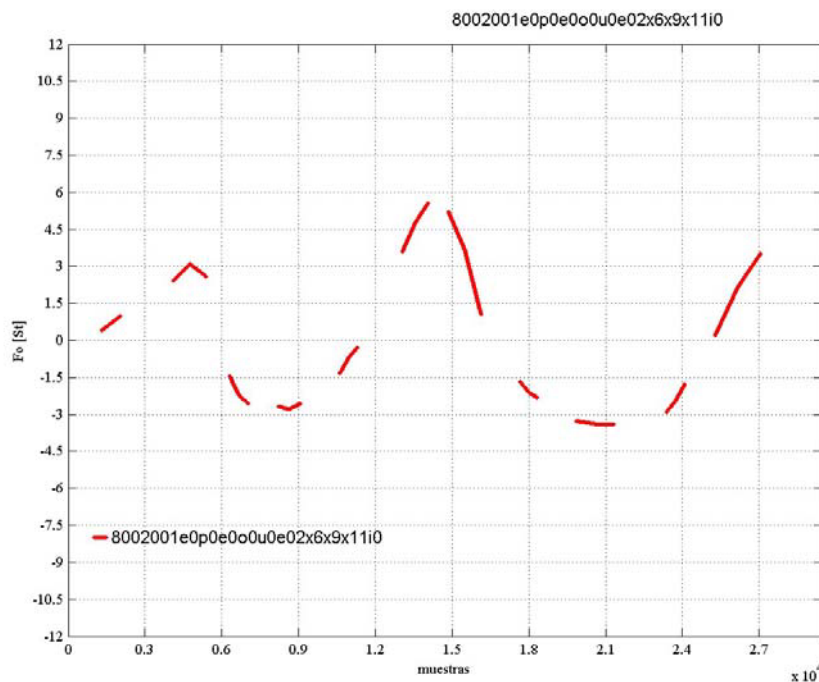


Figura 4.53 – Corba d'F0 en semitons de la mitjana de tres repeticions de la frase interrogativa sense expansions L'armonica si sunia ta betula? pronunciada per la informant d'Agrons.

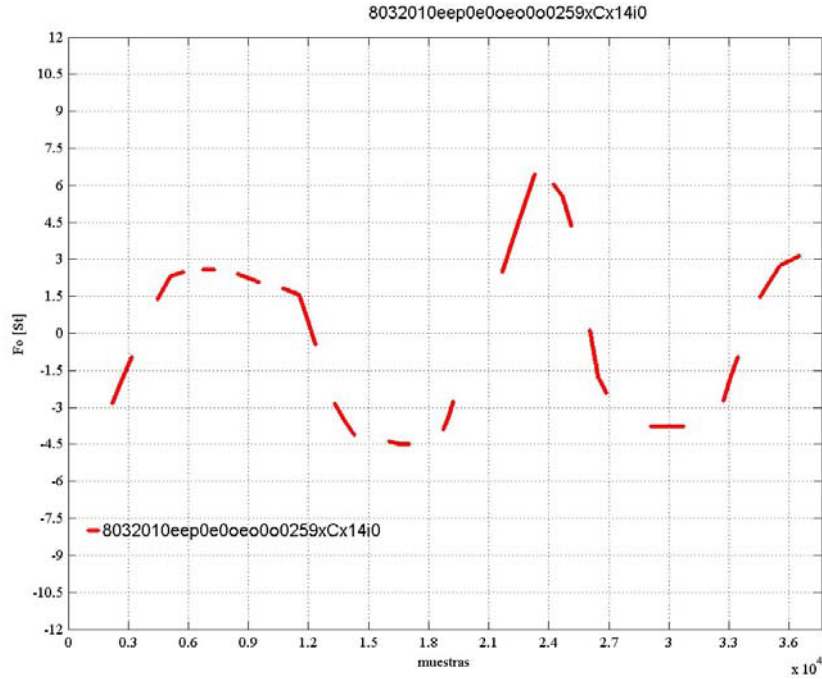


Figura 4.54 – Corba d’F₀ en semitons de la mitjana de tres repeticions de la frase interrogativa amb expansió de subjecte La ‘sovina veneta si prove la cotula? pronunciada per la informant de Tesis.

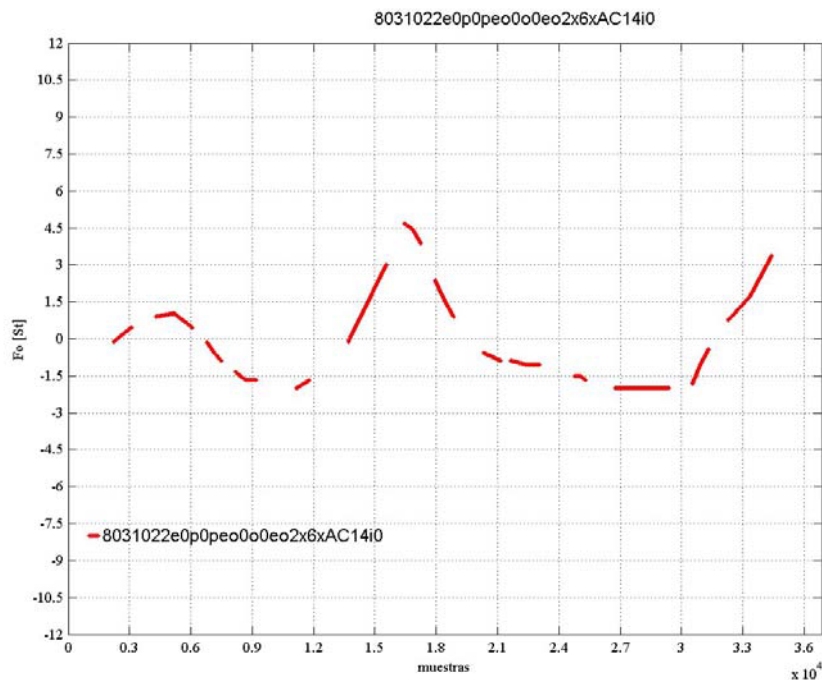


Figura 4.55 – Corba d’F₀ en semitons de la mitjana de tres repeticions de la frase interrogativa amb expansió d’objecte La ‘sovina si prove la bareta morbida? pronunciada per l’informant de Tesis.

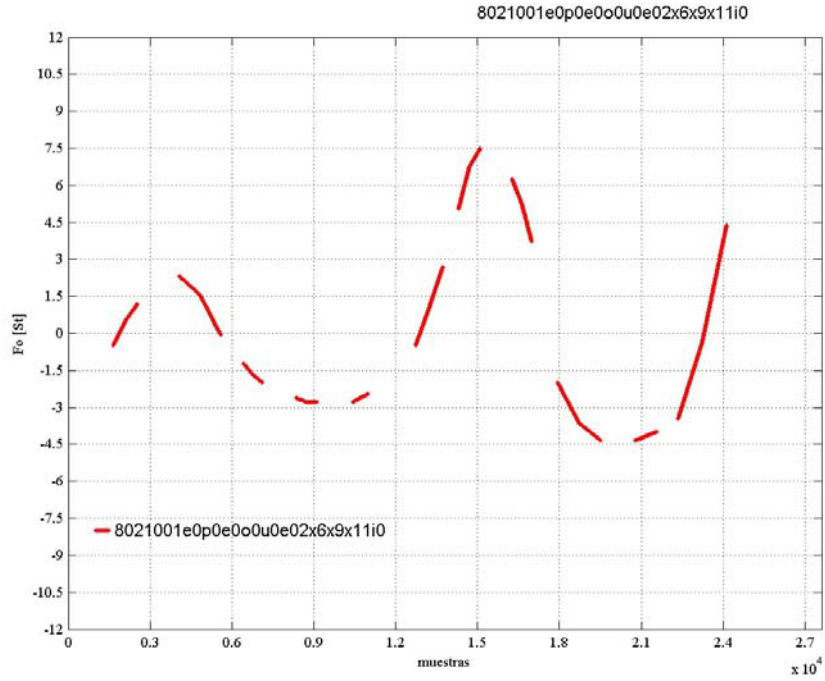


Figura 4.56 – Corba d’F0 en semitons de la mitjana de tres repeticions de la frase interrogativa sense expansions L’armonica si suna ta betula? pronunciada per l’informant de Gradisca.

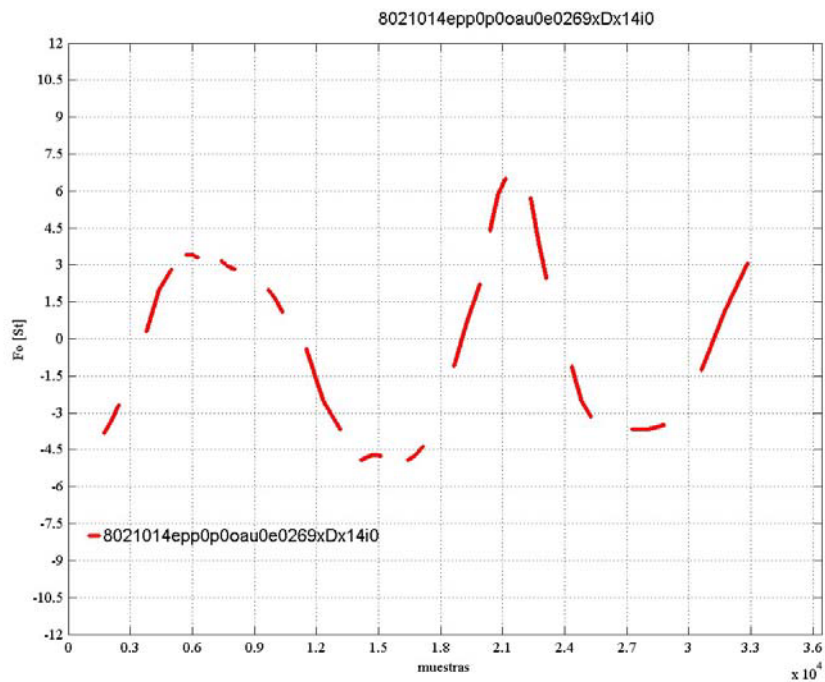


Figura 4.57 – Corba d’F0 en semitons de la mitjana de tres repeticions de la frase interrogativa amb expansió de subjecte L’armonica furlana si suna cun dolçessa? pronunciada per l’informant de Gradisca.

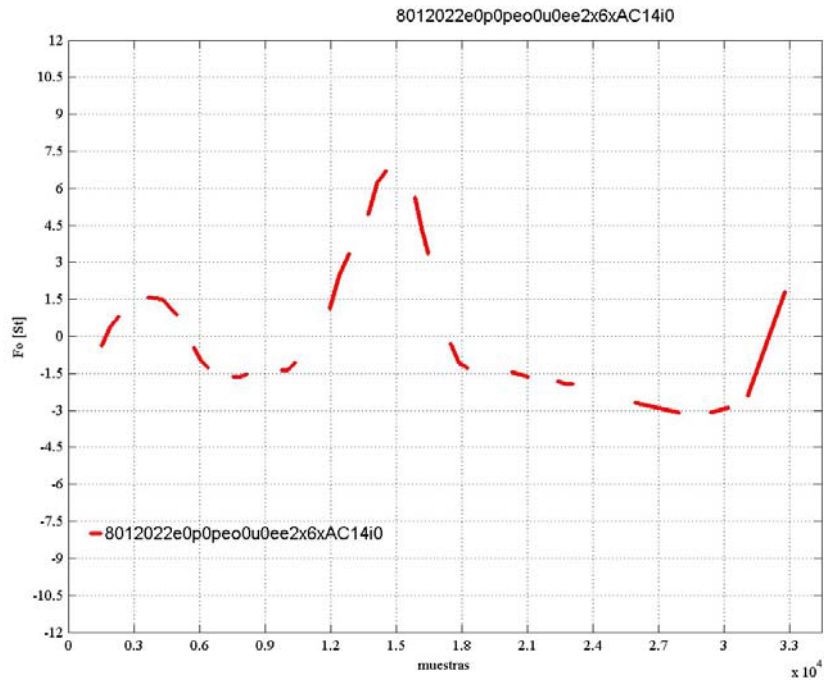


Figura 4.58 – Corba d’F0 en semitons de la mitjana de tres repeticions de la frase interrogativa amb expansió d’objecte L’armoniche si sunie cun dolcece splendide? pronunciada per l’informant de Beivars.

Com a conclusió d’aquesta secció dedicada a la comparació entre patrons dialectals, hom pot remarcar que, en general, en friülà es presenta com una llengua força compacta des del punt de vista entonatiu. Les diferències afecten al tonema només en un aspecte, és a dir, pel que fa al to de frontera final de les declaratives, que és baix a Agrons i Tesis i és alt a Beivars i Gradisca (tot i això, tal com es veurà a la secció 5.1.4.3.2, opinem que aquesta diferència és fonètica i no pas fonològica). Pel que fa al pretonema, les interrogatives presenten només un punt de discordança interdialectal al verb. Les declaratives, per contra, són més variades ja que l’entonació del subjecte –amb o sense expansions- és diferent a tots els punts d’enquesta i, en els casos de Gradisca i Tesis, es pot fins i tot destacar la coexistència de patrons diferents.

4.4. Altres patrons entonatius

Tal com s'ha dit a l'apartat 3.1.2, de cada frase es van enregistrar diferents repeticions, tres de les quals es van analitzar. La majoria de les repeticions que no van ser analitzades coincideixen amb els patrons que s'han descrit als apartats anteriors. Tot i això, els informants en algun cas van produir patrons diferents que l'autor d'aquesta tesi va decidir descartar quan, com a parlant nadiu de friülà, les percebia com a no neutres. Aquest patrons no neutres, tot i no ser l'objectiu del corpus fix del projecte AMPER, representen un material interessant que permetran proposar algunes integracions a la descripció del sistema entonatiu del friülà (veg. Secció 5.1.3).

El primer patró no neutre que es pot identificar a les frases declaratives és el que s'exemplifica a la Figura 4.59⁷. La frase que hi apareix té una morfosintaxi verbal interrogativa (és a dir, que el pronom àton de subjecte apareix en posició enclítica) i està caracteritzada per una successió d'accents tonals ascendents amb el pic a la síl·laba tònica (L+H*), que finalitzen amb un to de frontera baix (L%). Aquesta frase va ser pronunciada per un parlant de la varietat d'Agrons amb la intenció d'autocorregir-se després d'haver-se equivocat al llegir un enunciat. La funció pragmàtica d'aquesta frase, per tant, és de contradir un enunciat anterior. Des del punt de vista entonatiu aquesta declarativa es diferencia de manera radical de les declaratives neutres (que estan caracteritzades per una seqüència d'accents L*+H al pretonema i un tonema descendent del tipus H+L* L%).

⁷ Aquesta figura i les següents fins al final del capítol es van realitzar amb Praat i no pas amb Amper-2006 perquè es tracta de repeticions que no formen part del corpus fix seleccionat.

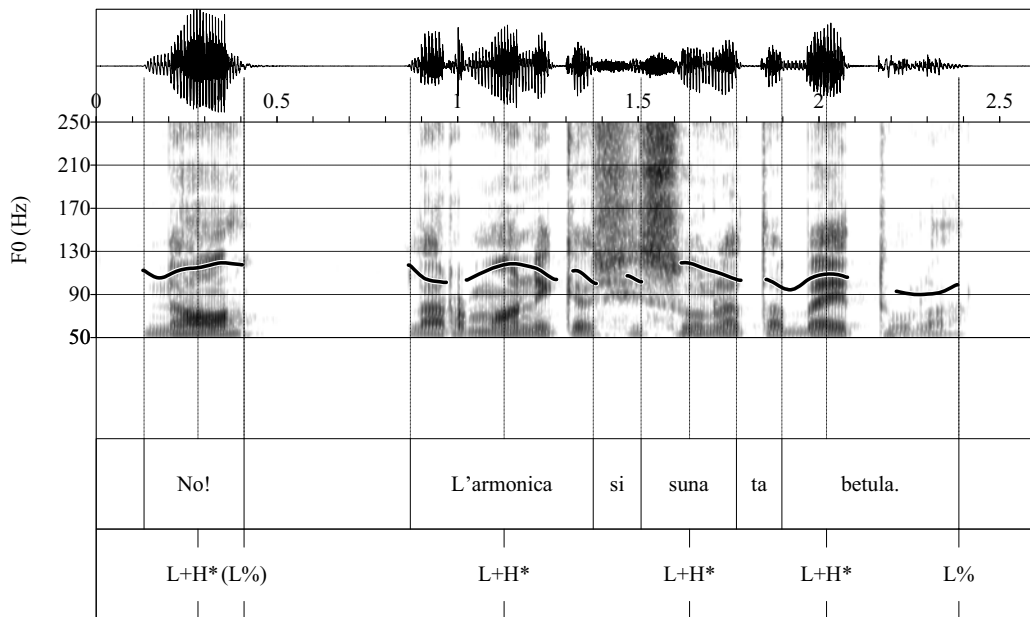


Figura 4.59 – Oscil·lograma, espectrograma i corba d'F0 en Hz de la frase declarativa no neutra amb funció de contradicció No! L'armonica si suna ta betula! pronunciada per l'informant d'Agrons.

El segon patró no neutre que es pot identificar és el que s'exemplifica a la Figura 4.60 i que correspon amb una frase interrogativa. La peculiaritat d'aquesta pregunta absoluta és que presenta una sintaxi declarativa; és a dir, que el pronom àton de subjecte es troba en posició proclítica. Aquestes preguntes en friülà, tal com passa a altres llengües que tenen un marcatge morfosintàctic de la interrogativitat (Noh, 1995; Poletto, 1991) no són neutres, sinó que tenen una funció reiterativa. De fet, l'informant que va produir la frase il·lustrada a la Figura 4.60 la va fer servir amb funció de pregunta eco. A més de la caracterització morfosintàctica que s'acaba d'esmentar, les preguntes eco en friülà semblen ser caracteritzades per una estructura tonal que es retroba també a d'altres llengües romàniques com el català i el castellà, i que consisteix en una pujada d'F0 que culmina al final de la síl·laba tònica i que arriba a un nivell força més alt que en d'altres casos. De fet, si es comparen els pics de la Figura 4.60 amb els pics de la Figura 4.59 es pot notar com els de la pregunta eco són molt més alts dels de la declarativa de contradicció. Aquesta diferència, juntament amb la comparació amb altres varietats romàniques, ens suggereix que en friülà també segurament existeix un contrast fonètic i

fonològic entre una pujada d'un rang normal (L+H*) i una pujada fins a un nivell extraalt (que es pot representar com a L+_iH*).

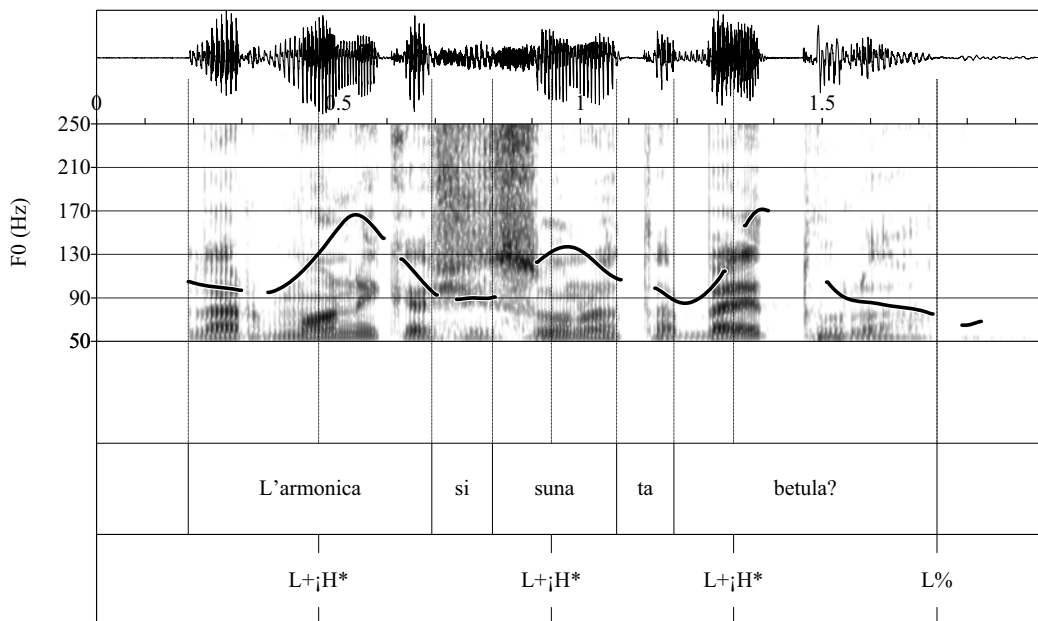


Figura 4.60 – Oscil·lograma, espectrograma i corba d'F0 en Hz de la frase interrogativa *eco* L'armonica si suna ta betula? pronunciada per l'informant d'Agrons.

Un altre patró no neutre de les frases interrogatives absolutes consisteix en una seqüència d'accents ascendent del tipus L+H* seguits d'una to de frontera baix (L%). El tonema d'aquest tipus d'interrogatives, que semblen tenir un matís confirmatori, coincideix entonativament amb el tonema de les declaratives de contradicció que s'han vist a la Figura 4.59. Tot i això, aquests dos tipus d'oracions es diferencien entre si ja sigui per la configuració entonativa del subjecte, ja sigui per l'estructura morfosintàctica. De fet, mentre a una declarativa el pronom àton de subjecte és proclític, en una interrogativa confirmatòria és enclític (com es nota a l'exemple de la Figura 4.61).

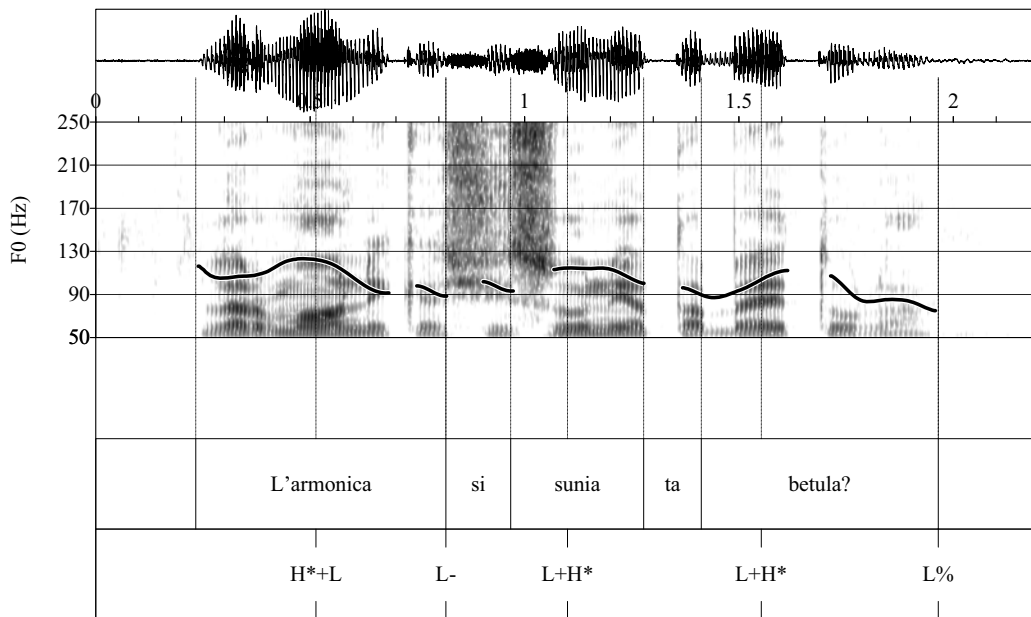


Figura 4.61 – Oscil·lograma, espectrograma i corba d’F0 en Hz de la frase interrogativa confirmatòria L’armonica si sunia ta betula? pronunciada per l’informant d’Agrons.

Finalment, en alguna ocasió els parlants han produït interrogatives amb un patró estilitzat (que en anglès se sol anomenar *chant*) que està caracteritzat per una pujada tonal associada a l’última síl·laba tònica de l’enunciat i que s’acaba al final de la mateixa (L+H*) seguit per una baixada a fins a un to mitjà (que indiquem convencionalment com a !H%). Un cop arribat a la tessitura mitjana del parlant, F0 es manté al mateix nivell fins al final de l’enunciat. Aquesta configuració entonativa, que s’exemplifica a la Figura 4.62, es retroba també en alemany on té una funció fàtica, és a dir, que obre o manté obert un canal comunicatiu (Gibbon, 1998). Suposem que la funció en friülà podria ser la mateixa, tot i que es necessitarien més estudis de producció (i de percepció) per poder validar aquesta hipòtesi.

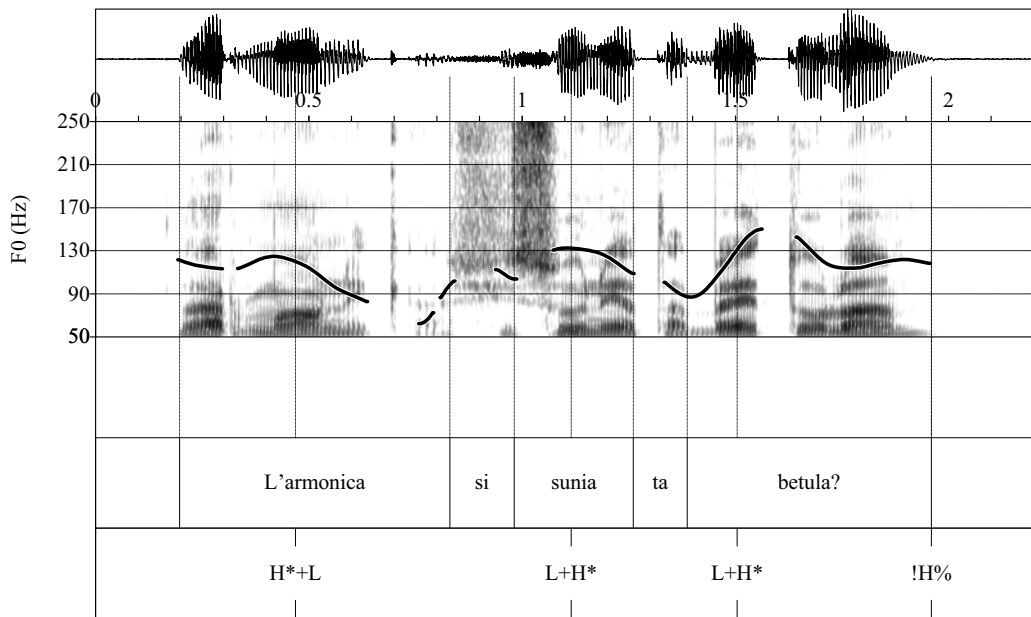


Figura 4.62 – Oscil·lograma, espectrograma i corba d’F0 en Hz de la frase interrogativa amb patró estilitzat L’armonica si sunia ta betula? pronunciada per l’informant d’Agrons.